



بینایی کامپیوتری

درس ۹

بخش‌بندی تصویر

Image Segmentation

کاظم فولادی

دانشکده مهندسی، پردیس فارابی

دانشگاه تهران

<http://courses.fouladi.ir/vision>

بخش‌بندی تصویر

IMAGE SEGMENTATION

فرآیندی که در آن تصویر به تعدادی ناحیه بخش‌بندی می‌شود.

بخش‌بندی تصویر
Image Segmentation

بخش‌بندی تصویر، یک تصویر را به تعدادی ناحیه تقسیم می‌کند
که هم‌بند هستند

و شبهات‌هایی داخل هر ناحیه وجود دارد
و تفاوت‌هایی بین ناحیه‌های مجاور وجود دارد.

هدف: معمولاً **یافتن اشیای منفرد** در یک تصویر است.

بخش بندی تصویر

۱

مبانی

بخش‌بندی تصویر

IMAGE SEGMENTATION

فرآیندی که در آن تصویر به تعدادی ناحیه بخش‌بندی می‌شود.

بخش‌بندی تصویر
Image Segmentation

فرض کنید R کل ناحیه‌ی مکانی اشغال شده توسط یک تصویر را نشان دهد.
بخش‌بندی تصویر، فرآیندی است که R را به n زیرناحیه‌ی

$$R_1, R_2, \dots, R_n,$$

افراز می‌کند، به طوری که:

- (a) $\bigcup_{i=1}^n R_i = R$.
- (b) R_i is a connected set, $i = 1, 2, \dots, n$.
- (c) $R_i \cap R_j = \emptyset$ for all i and j , $i \neq j$.
- (d) $Q(R_i) = \text{TRUE}$ for $i = 1, 2, \dots, n$.
- (e) $Q(R_i \cup R_j) = \text{FALSE}$ for any adjacent regions R_i and R_j .

$Q(R_k)$ is a logical predicate defined over the points in set R_k

بخش‌بندی تصویر

روی‌کردها

IMAGE SEGMENTATION

بخش‌بندی تصویر

Image Segmentation

بخش‌بندی مبتنی بر ناحیه

Region-Based Segmentation

افراز یک تصویر بر اساس
تعیین ناحیه‌های مشابه

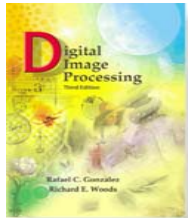
بر مبنای شباهت (*Similarity*)

بخش‌بندی مبتنی بر لبه

Edge-Based Segmentation

افراز یک تصویر بر اساس
تغییرات ناگهانی در شدت روشنایی (مانند لبه)

بر مبنای ناپیوستگی (*Discontinuity*)



Digital Image Processing, 3rd ed.

Gonzalez & Woods

www.ImageProcessingPlace.com

Chapter 10

Image Segmentation

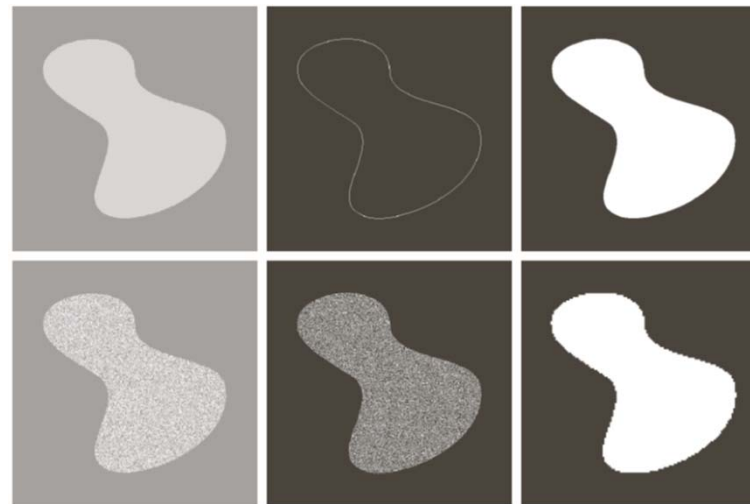


FIGURE 10.1 (a) Image containing a region of constant intensity. (b) Image showing the boundary of the inner region, obtained from intensity discontinuities. (c) Result of segmenting the image into two regions. (d) Image containing a textured region. (e) Result of edge computations. Note the large number of small edges that are connected to the original boundary, making it difficult to find a unique boundary using only edge information. (f) Result of segmentation based on region properties.

بخش‌بندی تصویر

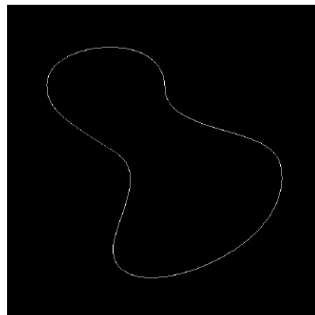
روی کردها: مثال

IMAGE SEGMENTATION

(۲)

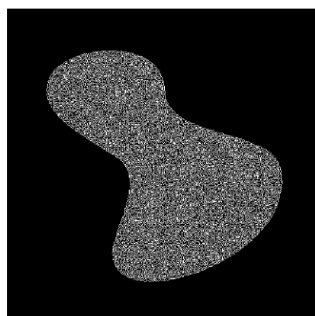
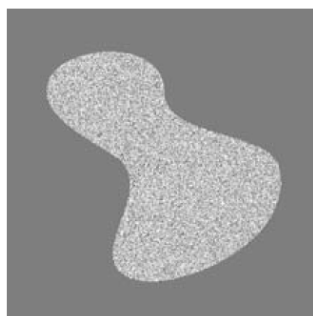
تصویر نشان‌دهنده مرز ناحیه‌ی داخلی:
حاصل از ناپیوستگی‌ها در شدت روشناختی

(۱)
تصویر یک ناحیه
با شدت ثابت



(۳)
نتیجه‌ی
بخش‌بندی
تصویر به دو
ناحیه

(۴)
تصویر حاوی
یک ناحیه‌ی
بافت‌دار



(۵)
نتیجه‌ی
محاسبات لبه: تعداد زیادی لبه وجود دارد که به مرز اصلی متصل
هستند و یافتن یک مرز یکتا تنها با استفاده از اطلاعات لبه را دشوار می‌سازد.

بخش بندی تصویر

۲

آشکارسازی نقطه، خط و لبه

استفاده از مشتق برای آشکارسازی ناپیوستگی ها

تغیيرات محلی ناگهانی در شدت روشنایی را می توان با استفاده از مشتق آشکار کرد.

مشتق مرتبه دوم

Second-Order Derivative

تقریب قابل قبول:

- ۱) در نواحی با شدت روشنایی ثابت، صفر باشد.
- ۲) در شروع و پایان یک تغییر ناگهانی یا شیب شدت روشنایی غیر صفر باشد.
- ۳) در طول شیب شدت روشنایی صفر باشد.

مشتق مرتبه اول

First-Order Derivative

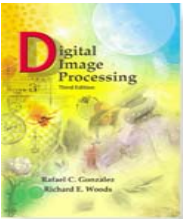
تقریب قابل قبول:

- ۱) در نواحی با شدت روشنایی ثابت، صفر باشد.
- ۲) در شروع یک تغییر ناگهانی یا شیب شدت روشنایی غیر صفر باشد.
- ۳) در طول تغییر شیب شدت روشنایی غیر صفر باشد.

$$\begin{aligned}
 \frac{\partial^2 f}{\partial x^2} &= \frac{\partial f'(x)}{\partial x} = f'(x+1) - f'(x) \\
 &= f(x+2) - f(x+1) - f(x+1) + f(x) \\
 &= f(x+2) - 2f(x+1) + f(x)
 \end{aligned}$$

$$\frac{\partial^2 f}{\partial x^2} = f''(x) = f(x+1) + f(x-1) - 2f(x)$$

$$\frac{\partial f}{\partial x} = f'(x) = f(x+1) - f(x)$$



Digital Image Processing, 3rd ed.

Gonzalez & Woods

www.ImageProcessingPlace.com

Chapter 10

Image Segmentation

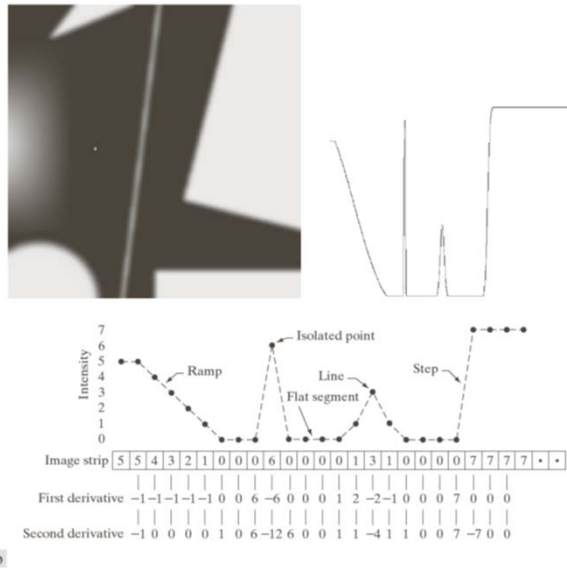
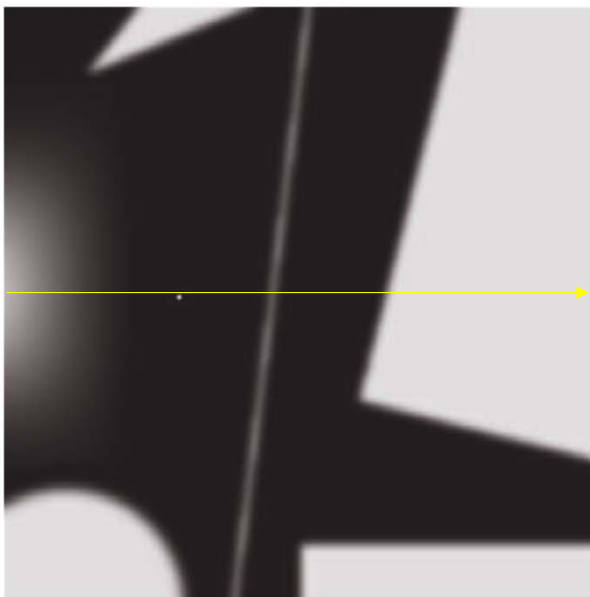


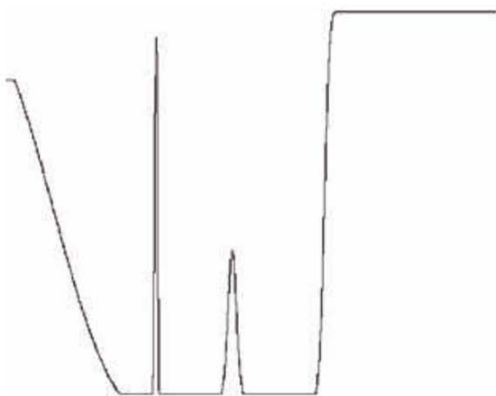
FIGURE 10.2 (a) Image, (b) Horizontal intensity profile through the center of the image, including the isolated noise point. (c) Simplified profile (the points are joined by dashes for clarity). The image strip corresponds to the intensity profile, and the numbers in the boxes are the intensity values of the dots shown in the profile. The derivatives were obtained using Eqs. (10.2-1) and (10.2-2).

استفاده از مشتق برای آشکارسازی ناپیوستگی‌ها

مثال



(۱)
یک تصویر



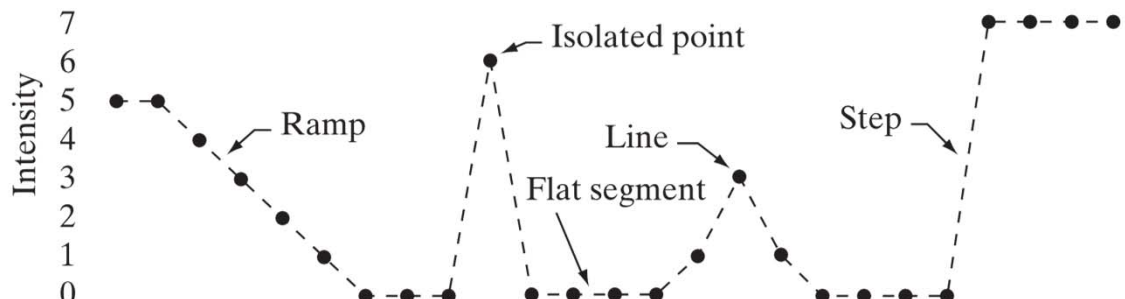
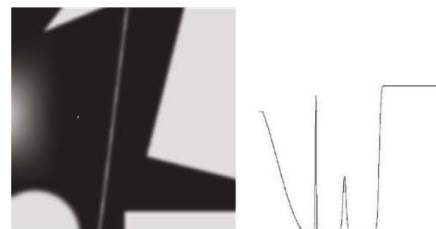
(۲)
پروفایل شدت روشنایی افقی در مرکز تصویر
شامل نقطه‌ی نویز تنها (اسکن در طول خط زرد)

استفاده از مشتق برای آشکارسازی ناپیوستگی‌ها

مثال

$$\frac{\partial f}{\partial x} = f'(x) = f(x+1) - f(x)$$

$$\frac{\partial^2 f}{\partial x^2} = f''(x) = f(x+1) + f(x-1) - 2f(x)$$



First derivative	-1	-1	-1	-1	-1	-1	0	0	6	-6	0	0	0	1	2	-2	-1	0	0	0	7	0	0	0
Second derivative	-1	0	0	0	0	0	1	0	6	-12	6	0	0	1	1	-4	1	1	0	0	7	-7	0	0

استفاده از مشتق برای آشکارسازی ناپیوستگی ها

نتایج

مشتق مرتبه دوم

Second-Order Derivative

$$\frac{\partial^2 f}{\partial x^2} = f''(x) = f(x + 1) + f(x - 1) - 2f(x)$$

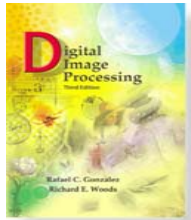
مشتق مرتبه اول

First-Order Derivative

$$\frac{\partial f}{\partial x} = f'(x) = f(x + 1) - f(x)$$

- مشتقات مرتبه دوم پاسخ بهتری برای جزئیات دقیق‌تر مانند **خطوط نازک**، نقاط تنها و نویز دارند.
- مشتقات مرتبه دوم یک **پاسخ دو لبه** برای گذرهای شب و پله‌ی شدت روشنایی ایجاد می‌کنند.
- **علامت مشتق مرتبه دوم** برای تعیین گذر از روشن به تاریک یا از تاریک به روشن می‌تواند استفاده شود.

- مشتقات مرتبه اول **لبه‌های ضخیم‌تر** در تصویر ایجاد می‌کنند.



Digital Image Processing, 3rd ed.

Gonzalez & Woods

www.ImageProcessingPlace.com

Chapter 10

Image Segmentation

w_1	w_2	w_3
w_4	w_5	w_6
w_7	w_8	w_9

FIGURE 10.3
A general 3×3 spatial filter mask.

آشکارسازی ناپیوستگی‌ها

DETECTION OF DISCONTINUITIES

سه نوع ناپیوستگی <i>Three Kinds of Discontinuity</i>		
نقطه <i>Point</i>	خط <i>Line</i>	لبه <i>Edge</i>

متدائل‌ترین روش برای یافتن ناپیوستگی‌ها، اسکن کردن تصویر با یک ماسک کوچک است:
 ماسک تعیین می‌کند که به دنبال چه نوع ناپیوستگی هستیم.

w_1	w_2	w_3
w_4	w_5	w_6
w_7	w_8	w_9

A general 3×3 spatial filter mask.

$$\begin{aligned}
 R &= w_1 z_1 + w_2 z_2 + \cdots + w_9 z_9 \\
 &= \sum_{k=1}^9 w_k z_k
 \end{aligned}$$

آشکارسازی ناپیوستگی‌ها

آشکارسازی نقاط تنها

DETECTION OF ISOLATED POINTS

با استفاده از لاپلاسین تصویر:

$$\nabla^2 f(x, y) = \frac{\partial^2 f}{\partial x^2} + \frac{\partial^2 f}{\partial y^2}$$

$$\frac{\partial^2 f(x, y)}{\partial x^2} = f(x+1, y) + f(x-1, y) - 2f(x, y)$$

$$\frac{\partial^2 f(x, y)}{\partial y^2} = f(x, y+1) + f(x, y-1) - 2f(x, y)$$

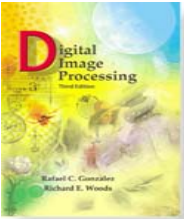
$$\nabla^2 f(x, y) = f(x+1, y) + f(x-1, y) + f(x, y+1) + f(x, y-1) - 4f(x, y)$$

عملای می‌توان از هر ماسک قابل قبول برای لاپلاسین استفاده کرد.

اگر $R(x, y)$ تصویر خروجی پس از اعمال لاپلاسین و T یک مقدار آستانه نامنفی باشد:

$$g(x, y) = \begin{cases} 1 & \text{if } |R(x, y)| \geq T \\ 0 & \text{otherwise} \end{cases}$$

خروجی ۱ محل وجود نقطه‌ی تنها را نشان می‌دهد



Digital Image Processing, 3rd ed.

Gonzalez & Woods

www.ImageProcessingPlace.com

Chapter 10

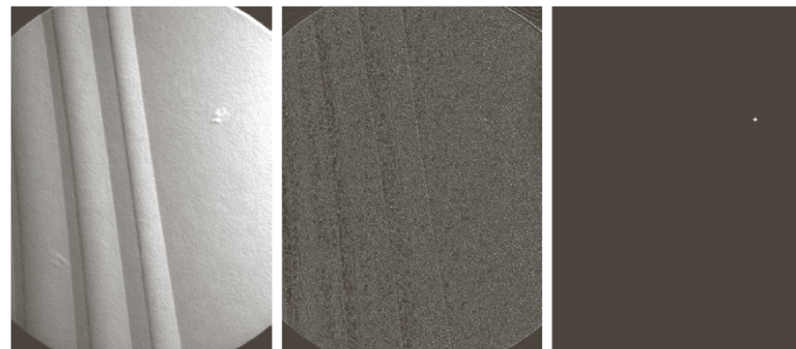
Image Segmentation

1	1	1
1	-8	1
1	1	1

a
b c d

FIGURE 10.4

- (a) Point detection (Laplacian) mask.
- (b) X-ray image of turbine blade with a porosity. The porosity contains a single black pixel.
- (c) Result of convolving the mask with the image.
- (d) Result of using Eq. (10.2-8) showing a single point (the point was enlarged to make it easier to see). (Original image courtesy of X-TEK Systems, Ltd.)



آشکارسازی ناپیوستگی‌ها

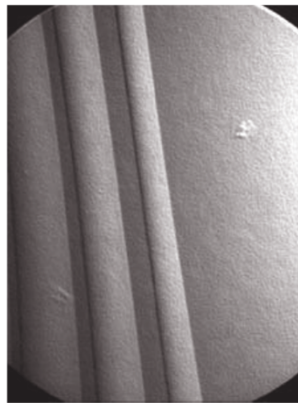
آشکارسازی نقاط تنها: مثال

DETECTION OF ISOLATED POINTS

1	1	1
1	-8	1
1	1	1

(۱) ماسک لاپلاسین برای آشکارسازی نقطه

(۲) تصویر اشعه‌ی ایکس از تیغه‌ی توربین (دارای یک روزنه)



(۳) حاصل کانولوشن ماسک (۱) با تصویر (۲)



(۴) حاصل آستانه‌گیری (نقطه‌ی تنها آشکار شده است).

$$g(x, y) = \begin{cases} 1 & \text{if } |R(x, y)| \geq T \\ 0 & \text{otherwise} \end{cases}$$

آشکارسازی ناپیوستگی‌ها

آشکارسازی خط

LINE DETECTION

(با استفاده از لاپلاسین تصویر)

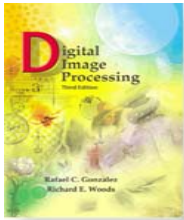
مشکل: اثر دو خطی (به خاطر وجود مقادیر مثبت و منفی در لاپلاسین)

راه حل:

- (۱) قدر مطلق لاپلاسین \leftarrow ضخامت خطوط دو برابر می‌شود.
- (۲) استفاده از مقادیر مثبت لاپلاسین \leftarrow خطوط باریکتر ✓

خطوط به اندازه‌ی ماسک لاپلاسین عریض‌تر هستند.

خطوط با بک «دره» صفر از هم جدا می‌شوند.



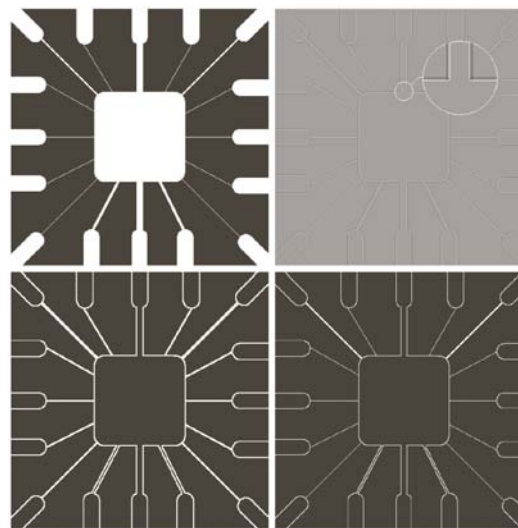
Digital Image Processing, 3rd ed.

Gonzalez & Woods

www.ImageProcessingPlace.com

Chapter 10

Image Segmentation



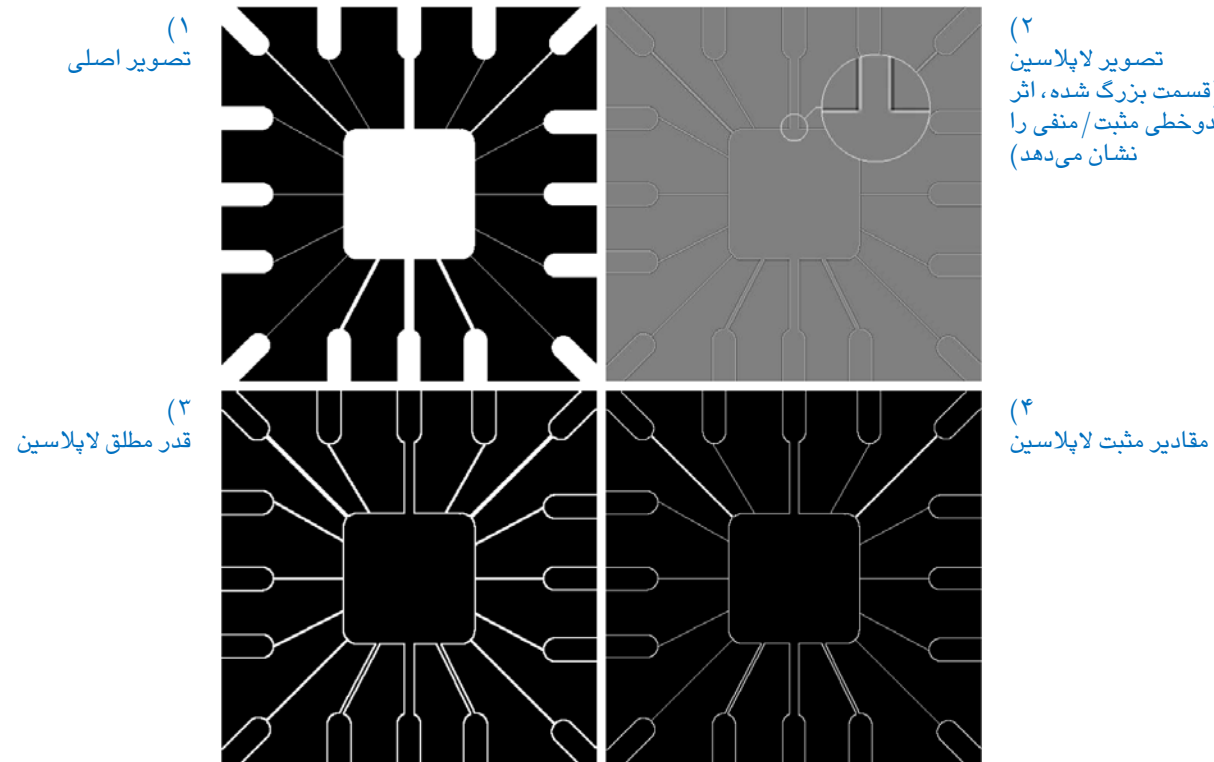
a b
c d

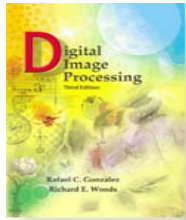
FIGURE 10.5
(a) Original image.
(b) Laplacian
image; the
magnified section
shows the
positive/negative
double-line effect
characteristic of the
Laplacian.
(c) Absolute value
of the Laplacian.
(d) Positive values
of the Laplacian.

آشکارسازی ناپیوستگی‌ها

آشکارسازی خط: مثال

LINE DETECTION





Digital Image Processing, 3rd ed.

Gonzalez & Woods

www.ImageProcessingPlace.com

Chapter 10

Image Segmentation

$\begin{matrix} -1 & -1 & -1 \\ 2 & -1 & -1 \\ -1 & 2 & 2 \end{matrix}$	$\begin{matrix} 2 & -1 & -1 \\ -1 & 2 & -1 \\ -1 & -1 & 2 \end{matrix}$	$\begin{matrix} -1 & 2 & -1 \\ -1 & 2 & -1 \\ -1 & 2 & -1 \end{matrix}$	$\begin{matrix} -1 & -1 & 2 \\ -1 & 2 & -1 \\ 2 & -1 & -1 \end{matrix}$
Horizontal	$+45^\circ$	Vertical	-45°

FIGURE 10.6 Line detection masks. Angles are with respect to the axis system in Fig. 2.18(b).

آشکارسازی ناپیوستگی‌ها

آشکارسازی خط

LINE DETECTION

آشکارسازی خطوط با عرض یک پیکسل در یک تصویر

پاسخ تصویر را نسبت به هر یک از ماسک‌های زیر می‌یابیم:
برای هر نقطه، هر پاسخی که بزرگ‌تر بود، نقطه متعلق به خط مربوط به آن ماسک است.

(چون لاپلاسین ایزوتروپیک است، جهت خط را نمی‌توان با آن تشخیص داد!)

-1	-1	-1	2	-1	-1	-1	2	-1	-1	-1	2
2	2	2	-1	2	-1	-1	2	-1	-1	2	-1
-1	-1	-1	-1	-1	2	-1	2	-1	2	-1	-1

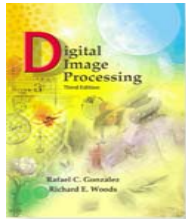
Horizontal

 R_1 $+45^\circ$  R_2

Vertical

 R_3 -45°  R_4

e.g. $|R_1(x, y)| > |R_2(x, y)|, |R_3(x, y)|, |R_4(x, y)| \Rightarrow (x, y) \in$ A horizontal line



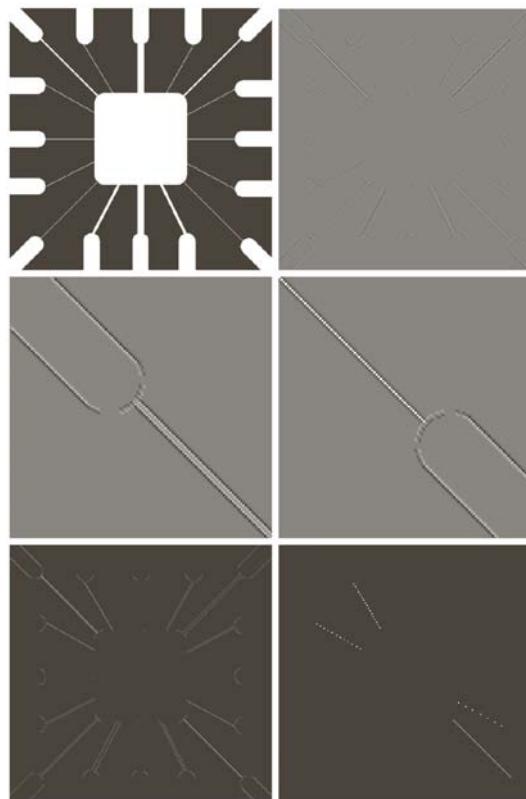
Digital Image Processing, 3rd ed.

Gonzalez & Woods

www.ImageProcessingPlace.com

Chapter 10

Image Segmentation



a b
c d
e f

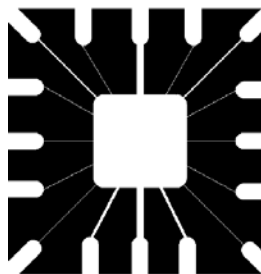
FIGURE 10.7
(a) Image of a wire-bond template.
(b) Result of processing with the +45° line detector mask in Fig. 10.6.
(c) Zoomed view of the top left region of (b).
(d) Zoomed view of the bottom right region of (b).
(e) The image in (b) with all negative values set to zero.
(f) All points (in white) whose values satisfied the condition $g \geq T$, where g is the image in (e). (The points in (f) were enlarged to make them easier to see.)

آشکارسازی ناپیوستگی ها

آشکارسازی خط: مثال

LINE DETECTION

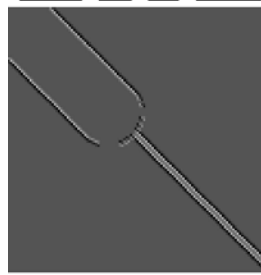
(۱)
تصویر اصلی



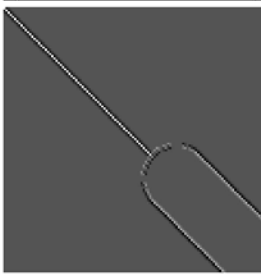
(۲)
نتیجهٔ پردازش
با ماسک آشکارساز ۴۵ درجه



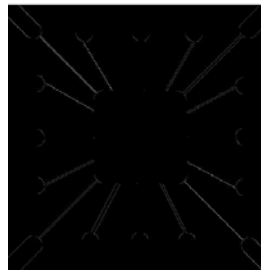
(۳)
بزرگنمایی ناحیهٔ چپ بالای (۲)



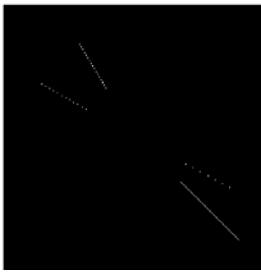
(۴)
بزرگنمایی ناحیهٔ راست پایین (۲)



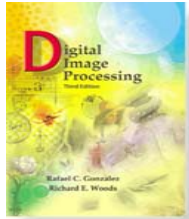
(۵)
همان تصویر (۲) که همهٔ نقاط منفی
آن صفر شده‌اند.



(۶)
نقاط (سفید) که شرط
 $g \geq T$ را ارضامی کنند.



(۷) تصویر (۵) است



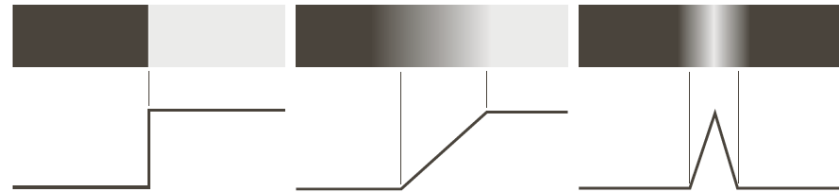
Digital Image Processing, 3rd ed.

Gonzalez & Woods

www.ImageProcessingPlace.com

Chapter 10

Image Segmentation



a b c

FIGURE 10.8

From left to right, models (ideal representations) of a step, a ramp, and a roof edge, and their corresponding intensity profiles.

مدل‌های لبه

EDGE MODELS

آشکارسازی لبه، پر کاربردترین روش برای بخش‌بندی تصویر بر مبنای تغییرات سریع است.

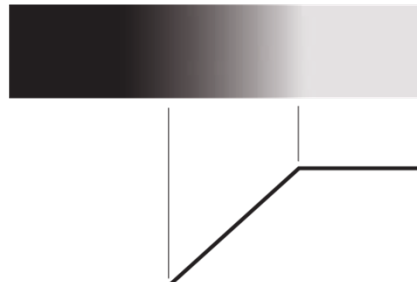
مدل‌های لبه بر اساس پروفایل شدت روشنایی

مدل پله (بازنمایی ایده‌آل)
Step (Ideal Representation)



کاربرد در مدل‌سازی جامدات و انیمیشن
(لبه یک پیکسل ضخامت دارد.)

مدل شیب
Ramp

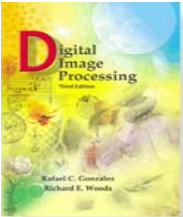


کاربرد در تصاویر مات و نویزی
شیب آن وابسته به میزان بلار لبه است.
(لبه یک پیکسل ضخامت ندارد.)

مدل پشت‌بامی
Roof



کاربرد در استخراج خطوط باریک



Digital Image Processing, 3rd ed.

Gonzalez & Woods

www.ImageProcessingPlace.com

Chapter 10

Image Segmentation



FIGURE 10.9 A 1508×1970 image showing (zoomed) actual ramp (bottom, left), step (top, right), and roof edge profiles. The profiles are from dark to light, in the areas indicated by the short line segments shown in the small circles. The ramp and “step” profiles span 9 pixels and 2 pixels, respectively. The base of the roof edge is 3 pixels. (Original image courtesy of Dr. David R. Pickens, Vanderbilt University.)

مدل‌های لبه

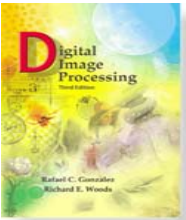
مثال

EDGE MODELS

مدل پله (بازنمایی ایده‌آل)
Step (Ideal Representation)

مدل شیب
Ramp

مدل پشت‌بامی
Roof



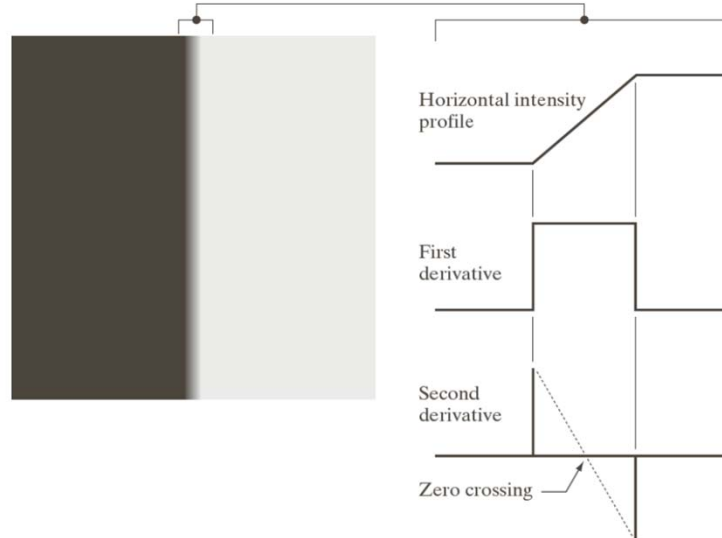
Digital Image Processing, 3rd ed.

Gonzalez & Woods

www.ImageProcessingPlace.com

Chapter 10

Image Segmentation



a b

FIGURE 10.10

(a) Two regions of constant intensity separated by an ideal vertical ramp edge.
(b) Detail near the edge, showing a horizontal intensity profile, together with its first and second derivatives.

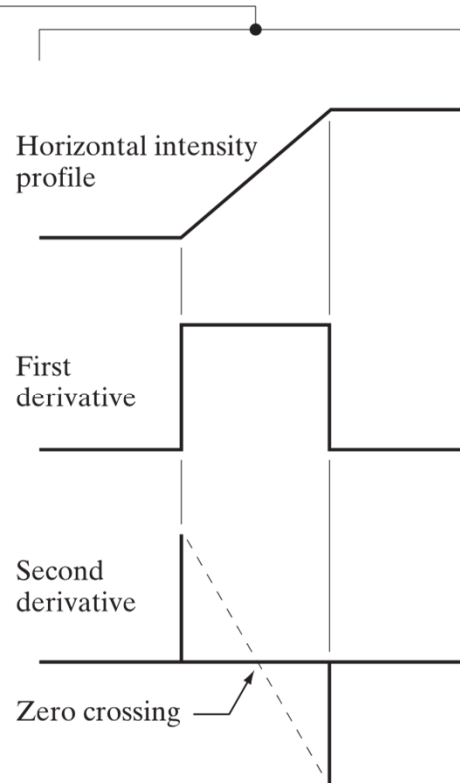
مدل‌های لبه

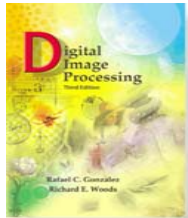
پروفایل شدت روشنایی و مشتقات اول و دوم آن

EDGE MODELS



دو ناحیه با شدت روشنایی ثابت که توسط یک لبهٔ شیب عمودی جدا شده‌اند.





Digital Image Processing, 3rd ed.

Gonzalez & Woods

www.ImageProcessingPlace.com

Chapter 10

Image Segmentation

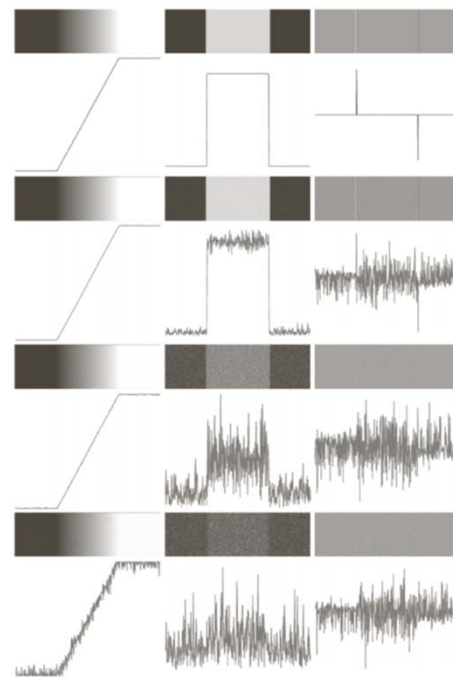


FIGURE 10.11 First column: Images and intensity profiles of a ramp edge corrupted by random Gaussian noise of zero mean and standard deviations of 0.0, 0.1, 1.0, and 10.0 intensity levels, respectively. Second column: First-derivative images and intensity profiles. Third column: Second-derivative images and intensity profiles.

مدل‌های لبه

رفتار مشتقات اول و دوم بر روی یک لبه‌ی نویزی (۱ از ۲)

EDGE MODELS

تصویر و پروفایل
لبه‌ی شب



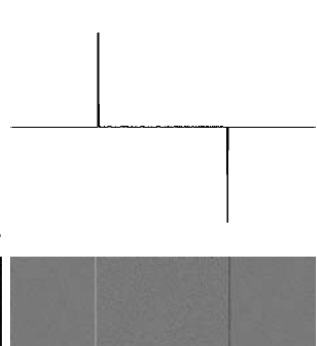
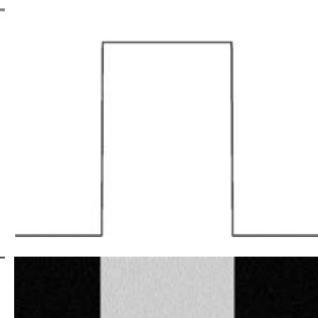
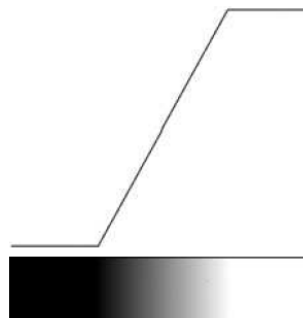
تصویر و پروفایل
مشتق اول لبه‌ی شب



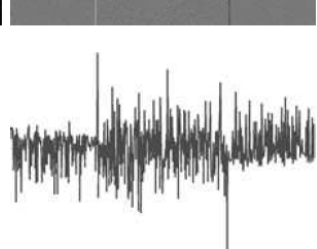
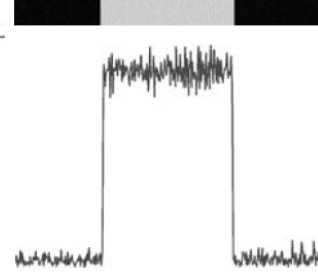
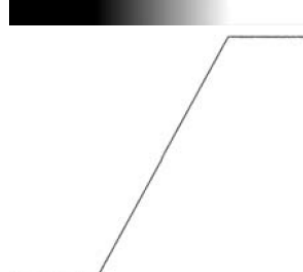
تصویر و پروفایل
مشتق دوم لبه‌ی شب



اعمال نویز گاووسی با
میانگین صفر و
انحراف استاندارد صفر



اعمال نویز گاووسی با
میانگین صفر و
انحراف استاندارد ۰.۱



مدل‌های لبه

رفتار مشتقات اول و دوم بر روی یک لبهٔ نویزی (۲ از ۲)

EDGE MODELS

تصویر و پروفایل
لبهٔ شب



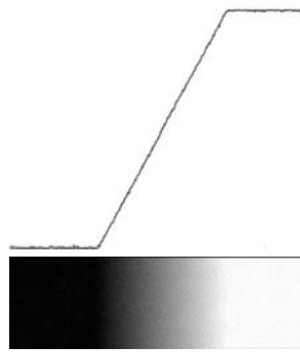
تصویر و پروفایل
مشتق اول لبهٔ شب



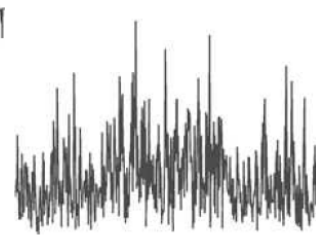
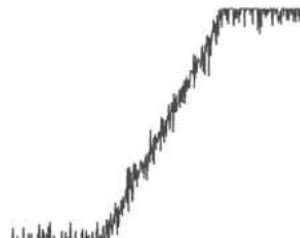
تصویر و پروفایل
مشتق دوم لبهٔ شب



اعمال نویز گاووسی با
میانگین صفر و
انحراف استاندارد ۱.۰



اعمال نویز گاووسی با
میانگین صفر و
انحراف استاندارد ۱۰.۰



آشکارسازی لبه

EDGE DETECTION

سه گام اساسی برای آشکارسازی لبه

هموارسازی تصویر

برای کاهش نویز

۱

آشکارسازی نقاط لبه

نقاطی که پتانسیل نامزدی برای نقاط لبه را دارند، از تصویر استخراج می‌شوند.

۲

محل یابی لبه‌ها

نقاطی که واقعاً لبه هستند، از تصویر استخراج می‌شوند.

۳

آشکارسازی لبه

عملگرهای گرادیان

EDGE DETECTION

عملگر گرادیان یک تصویر:

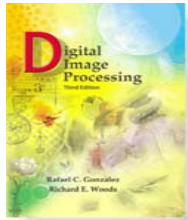
$$\nabla \mathbf{f} = \begin{bmatrix} g_x \\ g_y \end{bmatrix} = \begin{bmatrix} \frac{\partial f}{\partial x} \\ \frac{\partial f}{\partial y} \end{bmatrix}$$

اندازه
Magnitude

$$\nabla f = \text{mag}(\nabla \mathbf{f}) = [g_x^2 + g_y^2]^{1/2}$$

جهت
Direction

$$\alpha(x, y) = \tan^{-1} \left(\frac{g_x}{g_y} \right)$$



Digital Image Processing, 3rd ed.

Gonzalez & Woods

www.ImageProcessingPlace.com

Chapter 10

Image Segmentation

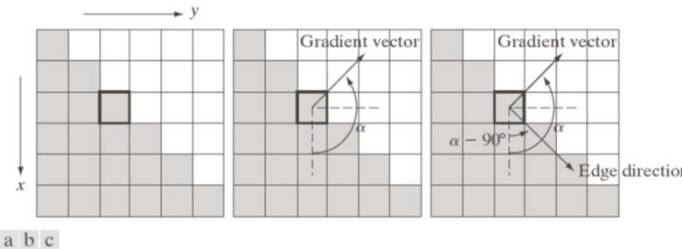
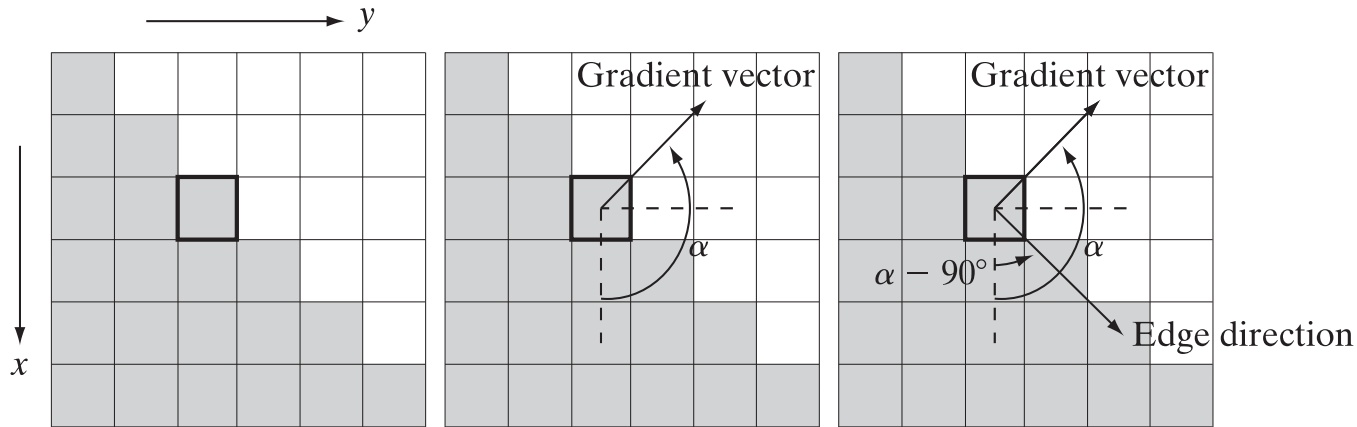


FIGURE 10.12 Using the gradient to determine edge strength and direction at a point. Note that the edge is perpendicular to the direction of the gradient vector at the point where the gradient is computed. Each square in the figure represents one pixel.

آشکارسازی لبه

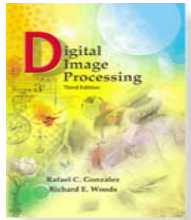
عملگرهاي گراديان: مثال

EDGE DETECTION

$$\nabla f = \begin{bmatrix} g_x \\ g_y \end{bmatrix} = \begin{bmatrix} \frac{\partial f}{\partial x} \\ \frac{\partial f}{\partial y} \end{bmatrix} = \begin{bmatrix} -2 \\ 2 \end{bmatrix}$$

$$M(x, y) = 2\sqrt{2}$$

$$\alpha(x, y) = \tan^{-1}(g_y/g_x) = -45^\circ,$$



Digital Image Processing, 3rd ed.

Gonzalez & Woods

www.ImageProcessingPlace.com

Chapter 10

Image Segmentation

$$\begin{matrix} -1 \\ \hline 1 \end{matrix}$$

$$\begin{matrix} -1 & 1 \end{matrix}$$

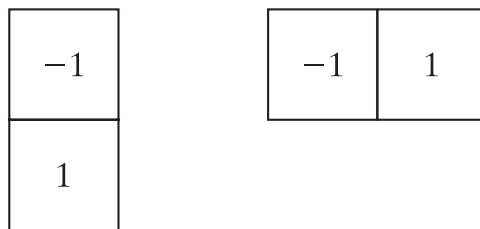
a b

FIGURE 10.13
One-dimensional
masks used to
implement Eqs.
(10.2-12) and
(10.2-13).

آشکارسازی لبه

عملگرهای گرادیان: ماسکهای یکبعدی

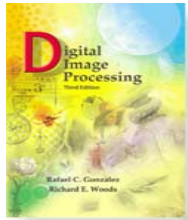
EDGE DETECTION



$$g_x = \frac{\partial f(x, y)}{\partial x} = f(x + 1, y) - f(x, y)$$

$$g_y = \frac{\partial f(x, y)}{\partial y} = f(x, y + 1) - f(x, y)$$

$$M(x, y) \approx |g_x| + |g_y|$$



Digital Image Processing, 3rd ed.

Gonzalez & Woods

www.ImageProcessingPlace.com

Chapter 10

Image Segmentation

z_1	z_2	z_3
z_4	z_5	z_6
z_7	z_8	z_9

a
b c
d e
f g

-1	0	
0	1	
		0 -1

Roberts

-1	-1	-1		-1	0	1
0	0	0		-1	0	1
1	1	1		-1	0	1

Prewitt

-1	-2	-1		-1	0	1
0	0	0		-2	0	2
1	2	1		-1	0	1

Sobel

FIGURE 10.14
A 3×3 region of an image (the z 's are intensity values) and various masks used to compute the gradient at the point labeled z_5 .

آشکارسازی لبه

عملگرهای گرادیان: عملگرهای گرادیان متقاطع روبرتز

THE ROBERTS CROSS-GRADIENT OPERATORS

$$g_x = \frac{\partial f}{\partial x} = (z_9 - z_5)$$

$$g_y = \frac{\partial f}{\partial y} = (z_8 - z_6)$$

z_1	z_2	z_3
z_4	z_5	z_6
z_7	z_8	z_9

-1	0	0	-1
0	1	1	0

Roberts

various masks
used to compute
the gradient at
the point labeled
 z_5 .

آشکارسازی لبه

عملگرهای گرادیان: عملگرهای گرادیان پریویت

THE PREWITT GRADIENT OPERATORS

various masks
used to compute
the gradient at
the point labeled
 z_5 .

z_1	z_2	z_3
z_4	z_5	z_6
z_7	z_8	z_9

$$g_x = \frac{\partial f}{\partial x} = (z_7 + z_8 + z_9) - (z_1 + z_2 + z_3)$$

$$g_y = \frac{\partial f}{\partial y} = (z_3 + z_6 + z_9) - (z_1 + z_4 + z_7)$$

-1	-1	-1
0	0	0
1	1	1

-1	0	1
-1	0	1
-1	0	1

Prewitt

آشکارسازی لبه

عملگرهای گرادیان: عملگرهای گرادیان سobel

THE SOBEL GRADIENT OPERATORS

various masks
used to compute
the gradient at
the point labeled
 z_5 .

z_1	z_2	z_3
z_4	z_5	z_6
z_7	z_8	z_9

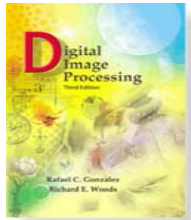
$$g_x = \frac{\partial f}{\partial x} = (z_7 + 2z_8 + z_9) - (z_1 + 2z_2 + z_3)$$

$$g_y = \frac{\partial f}{\partial y} = (z_3 + 2z_6 + z_9) - (z_1 + 2z_4 + z_7)$$

-1	-2	-1
0	0	0
1	2	1

-1	0	1
-2	0	2
-1	0	1

Sobel



Digital Image Processing, 3rd ed.

Gonzalez & Woods

www.ImageProcessingPlace.com

Chapter 10

Image Segmentation

0	1	1
-1	0	1
-1	-1	0

-1	-1	0
-1	0	1
0	1	1

a b
c d

FIGURE 10.15
Prewitt and Sobel
masks for
detecting diagonal
edges.

Prewitt

0	1	2
-1	0	1
-2	-1	0

-2	-1	0
-1	0	1
0	1	2

Sobel

آشکارسازی لبه

عملگرهای گرادیان: عملگرهای گرادیان پریویت و سوبل برای آشکارسازی لبه‌ی قطری

THE PREWITT AND SOBEL GRADIENT OPERATORS FOR DETECTING DIAGONAL EDGES

0	1	1
-1	0	1
-1	-1	0

Prewitt

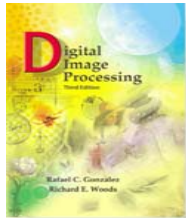
-1	-1	0
-1	0	1
0	1	1

صلاح ماسک‌ها
به‌گونه‌ای که
قوی‌ترین پاسخ
در جهت قطری
باشد.

0	1	2
-1	0	1
-2	-1	0

Sobel

-2	-1	0
-1	0	1
0	1	2



Digital Image Processing, 3rd ed.

Gonzalez & Woods

www.ImageProcessingPlace.com

Chapter 10

Image Segmentation



a b
c d

FIGURE 10.16
(a) Original image of size 834×1114 pixels, with intensity values scaled to the range $[0, 1]$.
(b) $|g_x|$, the component of the gradient in the x -direction, obtained using the Sobel mask in Fig. 10.14(f) to filter the image.
(c) $|g_y|$, obtained using the mask in Fig. 10.14(g).
(d) The gradient image, $|g_x| + |g_y|$.

آشکارسازی لبه

عملگرهای گرادیان: مثال

GRADIENT OPERATORS

(۱) تصویر اصلی
با مقادیر شدت رنگ در
بازه‌ی $[0,1]$



(۲) مؤلفه‌ی گرادیان در
راستای X حاصل از
عملگر سوبل
 g_x

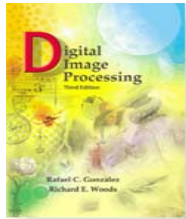


(۳) مؤلفه‌ی گرادیان در
راستای y حاصل از
عملگر سوبل
 g_y



(۴) تصویر گرادیان
 $\nabla f \approx |g_x| + |g_y|$





Digital Image Processing, 3rd ed.

Gonzalez & Woods

www.ImageProcessingPlace.com

Chapter 10

Image Segmentation

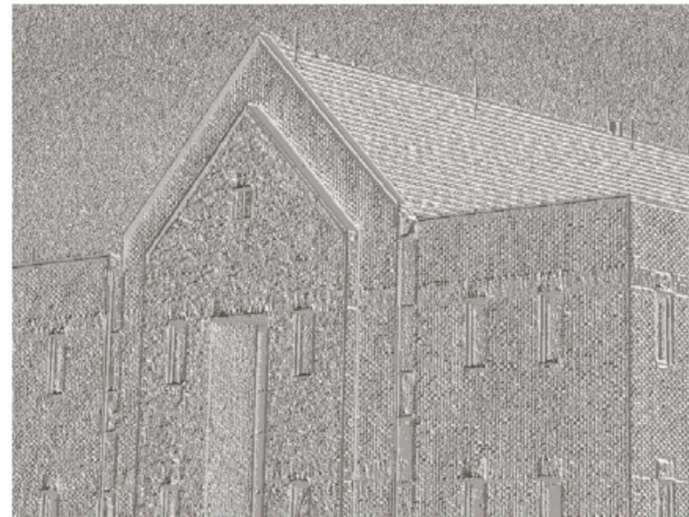
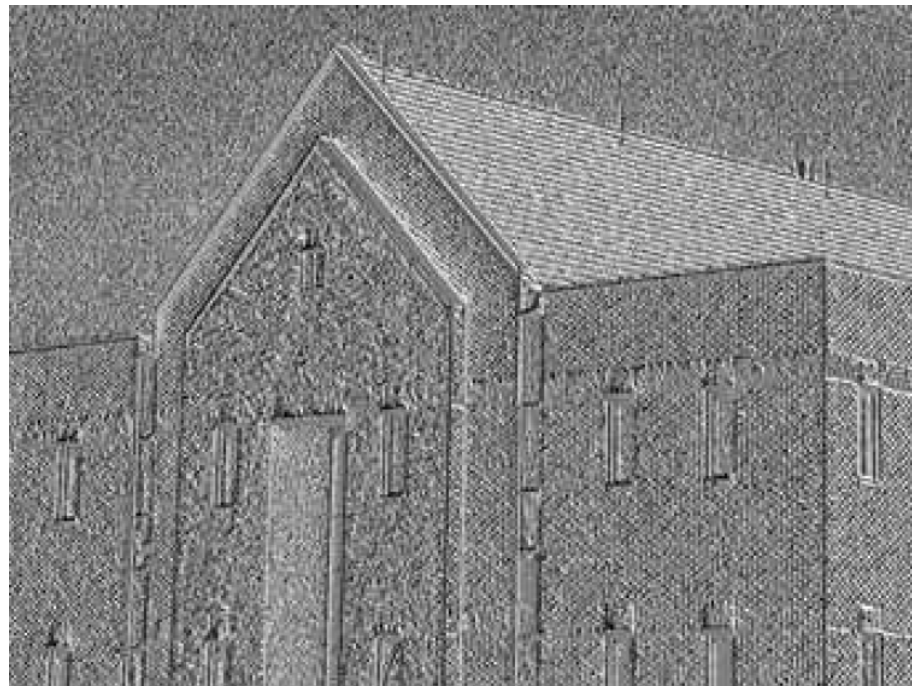


FIGURE 10.17
Gradient angle
image computed
using
Eq. (10.2-11).
Areas of constant
intensity in this
image indicate
that the direction
of the gradient
vector is the same
at all the pixel
locations in those
regions.

آشکارسازی لبه

عملگرهای گرادیان: مثال

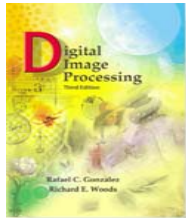
GRADIENT OPERATORS



تصویر زاویه‌ی گرادیان:

ناحیه‌ی دارای شدت
روشنایی ثابت در این تصویر
بیانگر ثابت بودن جهت بردار
گرادیان در همه‌ی پیکسل‌های
آن نواحی است.

$$\alpha(x, y) = \tan^{-1} \left(\frac{g_x}{g_y} \right)$$



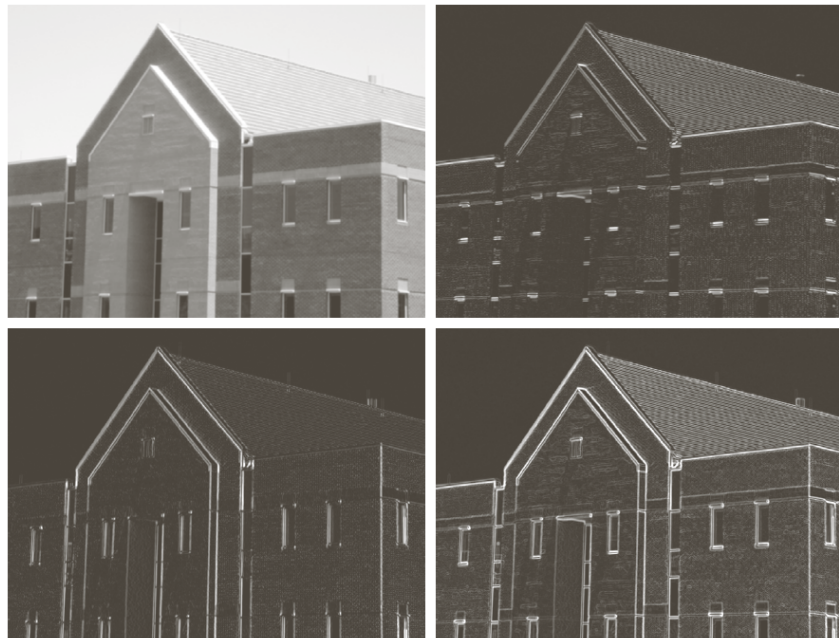
Digital Image Processing, 3rd ed.

Gonzalez & Woods

www.ImageProcessingPlace.com

Chapter 10

Image Segmentation



a b
c d

FIGURE 10.18

Same sequence as in Fig. 10.16, but with the original image smoothed using a 5×5 averaging filter prior to edge detection.

آشکارسازی لبه

عملگرهای گرادیان: مثال

GRADIENT OPERATORS

(۱) تصویر اصلی
با مقادیر شدت رنگ در
بازه‌ی $[0,1]$

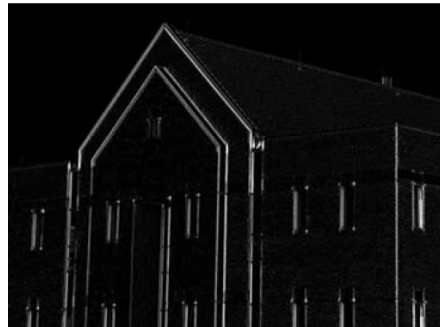


(۲) مؤلفه‌ی گرادیان در
راستای X حاصل از
عملگر سوبل



(تصویر قبل از
آشکارسازی لبه با یک
فیلتر متوسط‌گیری
 5×5 هموار شده است)

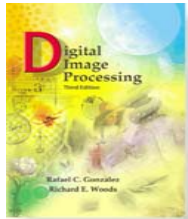
(۳) مؤلفه‌ی گرادیان در
راستای y حاصل از
عملگر سوبل



(تصویر قبل از
آشکارسازی لبه با یک
فیلتر متوسط‌گیری
 5×5 هموار شده است)

(۴) تصویر گرادیان





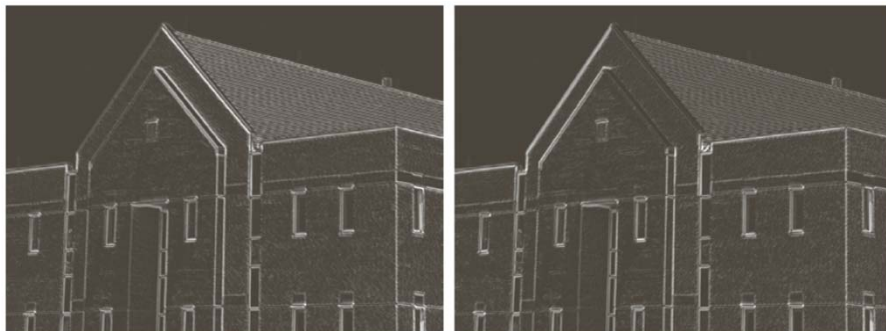
Digital Image Processing, 3rd ed.

Gonzalez & Woods

www.ImageProcessingPlace.com

Chapter 10

Image Segmentation



a b

FIGURE 10.19
Diagonal edge detection.
(a) Result of using the mask in Fig. 10.15(c).
(b) Result of using the mask in Fig. 10.15(d). The input image in both cases was Fig. 10.18(a).

آشکارسازی لبه

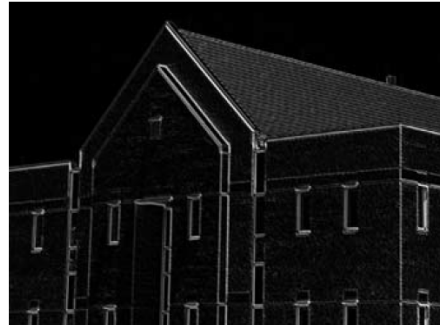
عملگرهاي گراديان: مثال (لبه هاي قطری)

GRADIENT OPERATORS

(۱) تصویر اصلی
بامقابله شدن رنگ در
[۰,۱]



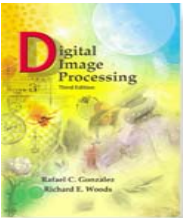
(۲) حاصل اعمال
ماسک چپ



(۳) حاصل اعمال
ماسک راست

0	1	2	-2	-1	0
-1	0	1	-1	0	1
-2	-1	0	0	1	2

Sobel



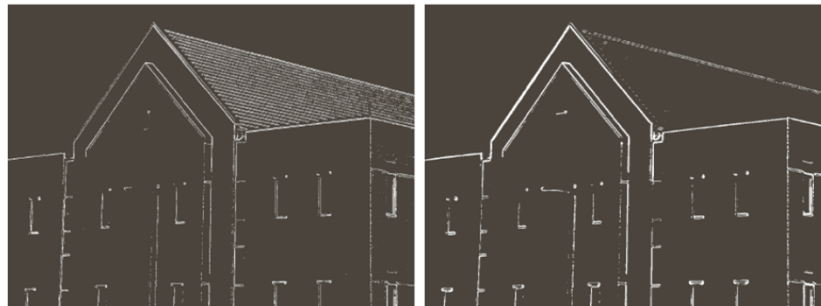
Digital Image Processing, 3rd ed.

Gonzalez & Woods

www.ImageProcessingPlace.com

Chapter 10

Image Segmentation



a b

FIGURE 10.20 (a) Thresholded version of the image in Fig. 10.16(d), with the threshold selected as 33% of the highest value in the image; this threshold was just high enough to eliminate most of the brick edges in the gradient image. (b) Thresholded version of the image in Fig. 10.18(d), obtained using a threshold equal to 33% of the highest value in that image.

آشکارسازی لبه

عملگرهای گرادیان: مثال (آستانه‌گیری از تصویر لبه)

GRADIENT OPERATORS

(۱) تصویر گرادیان سوبل



(۱) تصویر گرادیان سوبل
(محاسبه گرادیان پس از هموارسازی)



(۲) حاصل آستانه‌گیری با مقدار ۳۳٪ بالاترین مقدار در تصویر



(۳) حاصل آستانه‌گیری با مقدار ۳۳٪ بالاترین مقدار در تصویر:
لبه‌های اصلی به دست آمده اند و اتصالات تا حد ممکن حفظ شده است.



آشکارسازی لبه

عملگرهای لاپلاسین

LAPLACIAN OPERATORS

عملگر لاپلاسین یک تصویر:

$$\nabla^2 f = \frac{\partial^2 f}{\partial x^2} + \frac{\partial^2 f}{\partial y^2}$$

0	-1	0
-1	4	-1
0	-1	0

-1	-1	-1
-1	8	-1
-1	-1	-1

ماسکهای نمونه برای بیادهسازی لاپلاسین

آشکارسازی لبه

عملگر لاپلاسین گاوی

LAPLACIAN OF A GAUSSIAN OPERATOR (LoG)

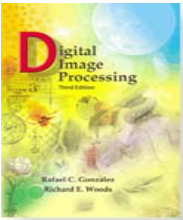
$$G(x, y) = e^{-\frac{x^2+y^2}{2\sigma^2}} \quad \text{تابع گاوی دو بعدی:}$$

$$\begin{aligned} \nabla^2 G(x, y) &= \frac{\partial^2 G(x, y)}{\partial x^2} + \frac{\partial^2 G(x, y)}{\partial y^2} \\ &= \frac{\partial}{\partial x} \left[\frac{-x}{\sigma^2} e^{-\frac{x^2+y^2}{2\sigma^2}} \right] + \frac{\partial}{\partial y} \left[\frac{-y}{\sigma^2} e^{-\frac{x^2+y^2}{2\sigma^2}} \right] \\ &= \left[\frac{x^2}{\sigma^4} - \frac{1}{\sigma^2} \right] e^{-\frac{x^2+y^2}{2\sigma^2}} + \left[\frac{y^2}{\sigma^4} - \frac{1}{\sigma^2} \right] e^{-\frac{x^2+y^2}{2\sigma^2}} \end{aligned}$$

$$\nabla^2 G(x, y) = \left[\frac{x^2 + y^2 - 2\sigma^2}{\sigma^4} \right] e^{-\frac{x^2+y^2}{2\sigma^2}}$$

لاپلاسین گاوی
Laplacian of a Gaussian (LoG)

تابع کلاه مکزیکی: هموارسازی تصویر با فیلتر گاوی + اعمال ماسک لاپلاسین



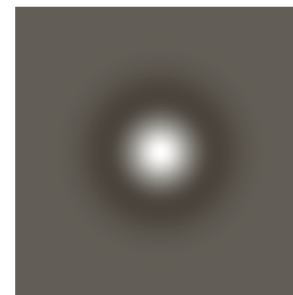
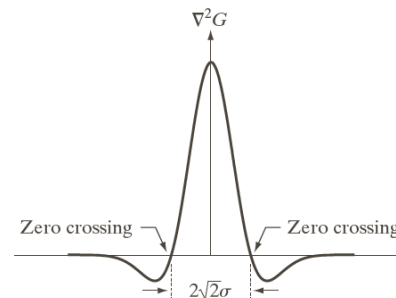
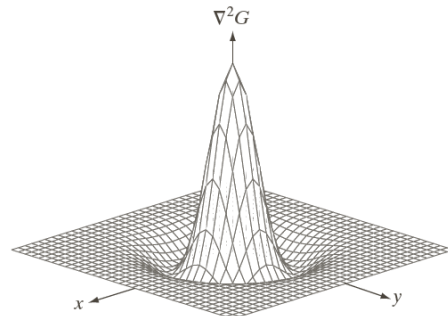
Digital Image Processing, 3rd ed.

Gonzalez & Woods

www.ImageProcessingPlace.com

Chapter 10

Image Segmentation



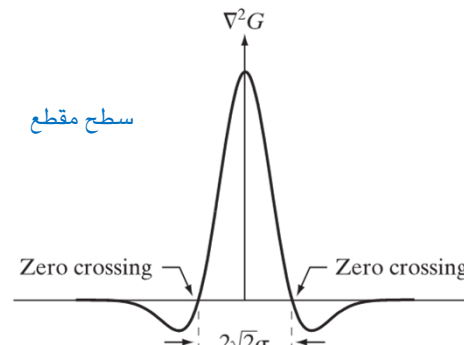
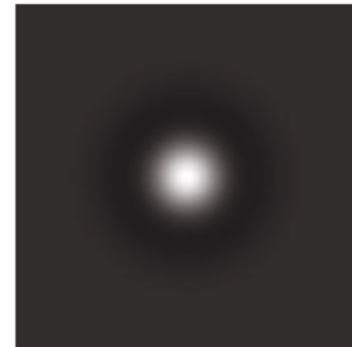
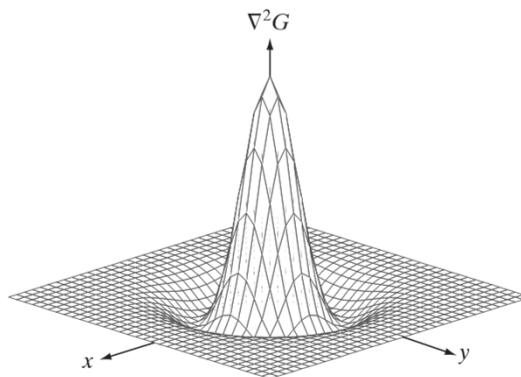
a
b
c
d

FIGURE 10.21
(a) Three-dimensional plot of the *negative* of the LoG. (b) Negative of the LoG displayed as an image. (c) Cross section of (a) showing zero crossings.
(d) 5×5 mask approximation to the shape in (a). The negative of this mask would be used in practice.

0	0	-1	0	0
0	-1	-2	-1	0
-1	-2	16	-2	-1
0	-1	-2	-1	0
0	0	-1	0	0

آشکارسازی لبه

عملگر لاپلاسین گاوی

LAPLACIAN OF A GAUSSIAN OPERATOR (LOG)

0	0	-1	0	0
0	-1	-2	-1	0
-1	-2	16	-2	-1
0	-1	-2	-1	0
0	0	-1	0	0

تقریب ماسک 5×5

(در عمل از منفی این
ماسک استفاده
می‌شود.)

مجموع ضرایب صفر
است تا پاسخ ماسک به
نواحی باشد روشنایی
ثبت، صفر باشد.

آشکارسازی لبه

الگوریتم Marr-Hildreth با استفاده از LoG

EDGE DETECTION

الگوریتم آشکارسازی لبهی Marr-Hildreth با استفاده از LoG

هموارسازی تصویر با فیلتر پایین‌گذر گاووسی (ماسک $n \times n$)

۱

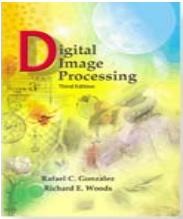
محاسبه‌ی لاپلاسین تصویر حاصل

۲

یافتن محل‌های عبور از صفر تصویر لاپلاسین

۳

$$g(x, y) = [\nabla^2 G(x, y)] \star f(x, y) \quad \Leftrightarrow \quad g(x, y) = \nabla^2 [G(x, y) \star f(x, y)]$$



Digital Image Processing, 3rd ed.

Gonzalez & Woods

www.ImageProcessingPlace.com

Chapter 10

Image Segmentation



a
b
c
d

FIGURE 10.22
(a) Original image of size 834×1114 pixels, with intensity values scaled to the range $[0, 1]$. (b) Results of Steps 1 and 2 of the Marr-Hildreth algorithm using $\sigma = 4$ and $n = 25$. (c) Zero crossings of (b) using a threshold of 0 (note the closed-loop edges). (d) Zero crossings found using a threshold equal to 4% of the maximum value of the image in (b). Note the thin edges.

آشکارسازی لبه

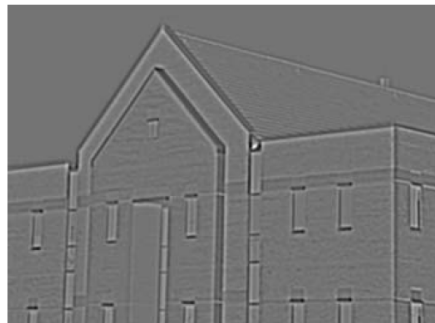
الگوریتم Marr-Hildreth با استفاده از LoG: مثال

EDGE DETECTION

(۱)
تصویر اصلی
با مقادیر شدت رنگ در
بازه‌ی $[0,1]$



(۲)
حاصل گام اول و دوم
الگوریتم
 $n = 5$
 $\sigma = 4$



(۳)
محاسبه‌ی عبور از
صفراها
(به لبه‌های حلقه بسته
دقت کنید)



(۴)
عبور از صفرهای
یافت شده با استفاده
از یک مقدار آستانه
برابر با 4% ماکریم
مقدار تصویر در (۲)

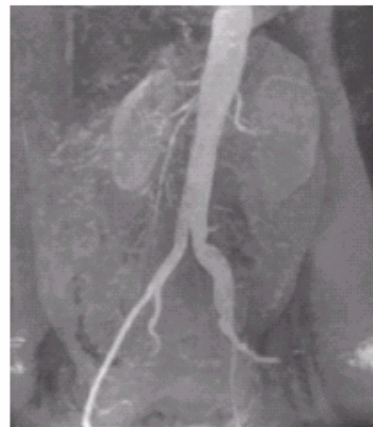


آشکارسازی لبه

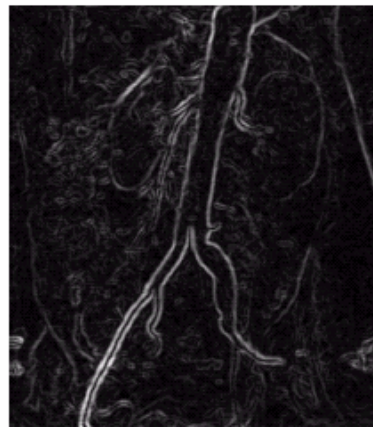
عملگرها لایپلاسین: مثال (۱ از ۲)

LAPLACIAN OPERATORS

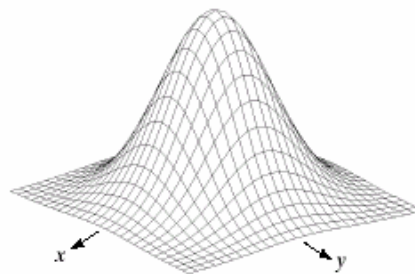
(۱)
تصویر اصلی
بمقادیر شدت رنگ در
بازه‌ی $[0,1]$



(۲)
گرادیان سوبل



(۳)
تابع گاوسی هموار

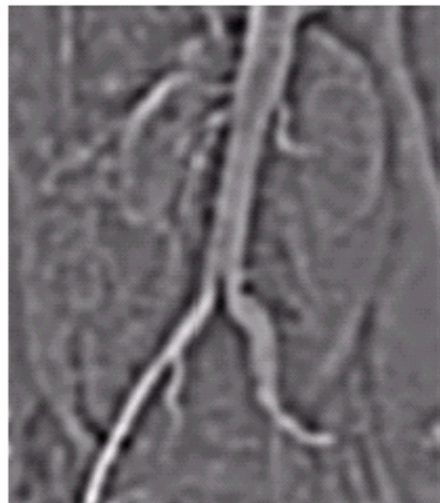


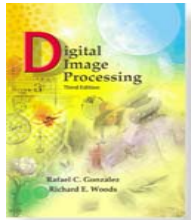
-1	-1	-1
-1	8	-1
-1	-1	-1

(۴)
ماسک لایپلاسین

آشکارسازی لبه

عملگرهای لاپلاسین: مثال (۲ از ۲)

LAPLACIAN OPERATORS(۵)
لاپلاسین گاوی (LoG)(۶)
آستانه‌گیری از LoG(۷)
عبور از صفرهای LoG



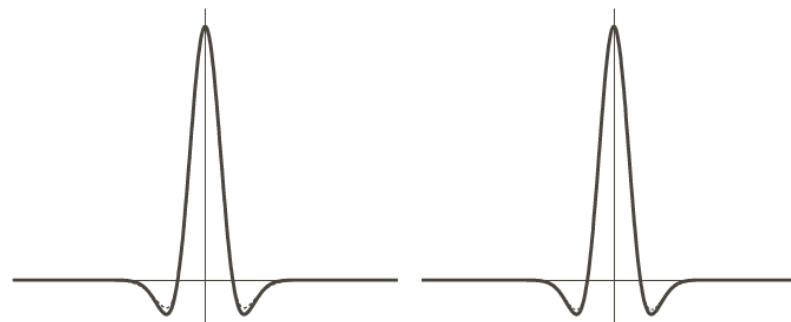
Digital Image Processing, 3rd ed.

Gonzalez & Woods

www.ImageProcessingPlace.com

Chapter 10

Image Segmentation



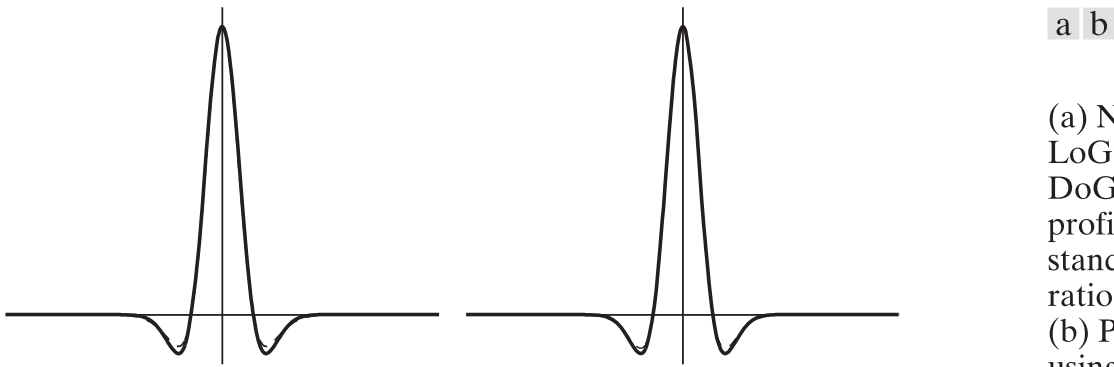
a b

FIGURE 10.23

(a) Negatives of the LoG (solid) and DoG (dotted) profiles using a standard deviation ratio of 1.75:1.
(b) Profiles obtained using a ratio of 1.6:1.

آشکارسازی لبه

عملگرهای لاپلاسین: تفاضل گاوسی‌ها

LAPLACIAN OPERATORS: DIFFERENCE OF GAUSSIANS (DoG)

- (a) Negatives of the LoG (solid) and DoG (dotted) profiles using a standard deviation ratio of 1.75:1.
 (b) Profiles obtained using a ratio of 1.6:1.

$$\text{DoG}(x, y) = \frac{1}{2\pi\sigma_1^2} e^{-\frac{x^2+y^2}{2\sigma_1^2}} - \frac{1}{2\pi\sigma_2^2} e^{-\frac{x^2+y^2}{2\sigma_2^2}}$$

To make meaningful comparisons between the LoG and DoG, the value of σ for the LoG must be selected as in the following equation so that the LoG and DoG have the same zero crossings:

$$\sigma^2 = \frac{\sigma_1^2 \sigma_2^2}{\sigma_1^2 - \sigma_2^2} \ln \left[\frac{\sigma_1^2}{\sigma_2^2} \right]$$

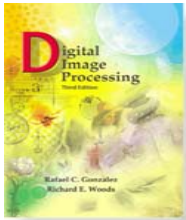
آشکارسازی لبه

آشکارساز لبه کنی

CANNY EDGE DETECTOR

The **Canny edge detection algorithm** consists of the following basic steps:

1. Smooth the input image with a Gaussian filter.
2. Compute the gradient magnitude and angle images.
3. Apply non-maxima suppression to the gradient magnitude image.
4. Use double thresholding and connectivity analysis to detect and link edges.



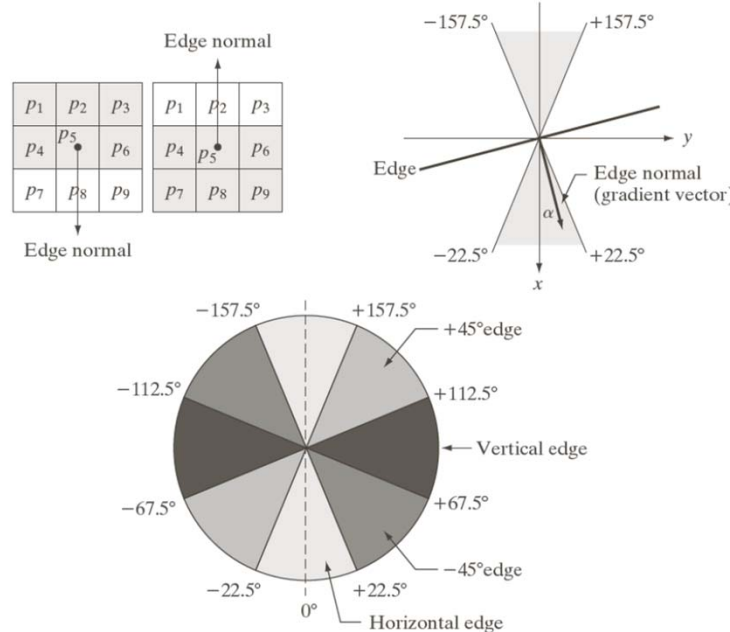
Digital Image Processing, 3rd ed.

Gonzalez & Woods

www.ImageProcessingPlace.com

Chapter 10

Image Segmentation



a b
c

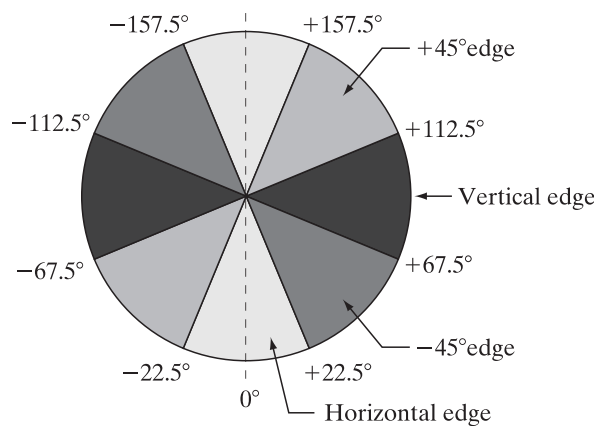
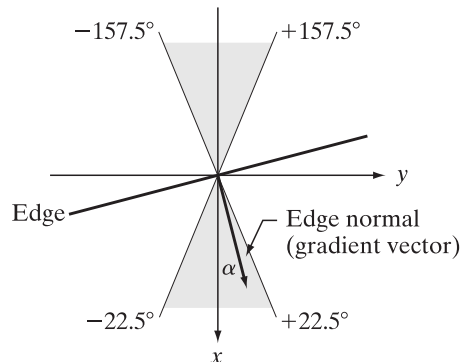
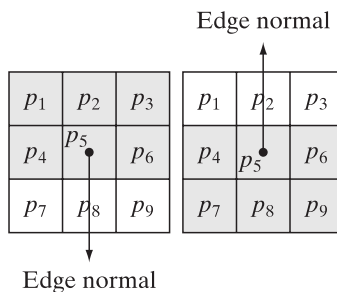
FIGURE 10.24

- (a) Two possible orientations of a horizontal edge (in gray) in a 3×3 neighborhood.
(b) Range of values (in gray) of α , the direction angle of the *edge normal*, for a horizontal edge. (c) The angle ranges of the edge normals for the four types of edge directions in a 3×3 neighborhood. Each edge direction has two ranges, shown in corresponding shades of gray.

آشکارسازی لبه

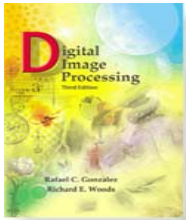
آشکارساز لبه‌ی کنی: تعیین جهت گذر از لبه

CANNY EDGE DETECTOR



a
b
c

- (a) Two possible orientations of a horizontal edge (in gray) in a 3×3 neighborhood.
- (b) Range of values (in gray) of α , the direction angle of the *edge normal*, for a horizontal edge.
- (c) The angle ranges of the edge normals for the four types of edge directions in a 3×3 neighborhood. Each edge direction has two ranges, shown in corresponding shades of gray.



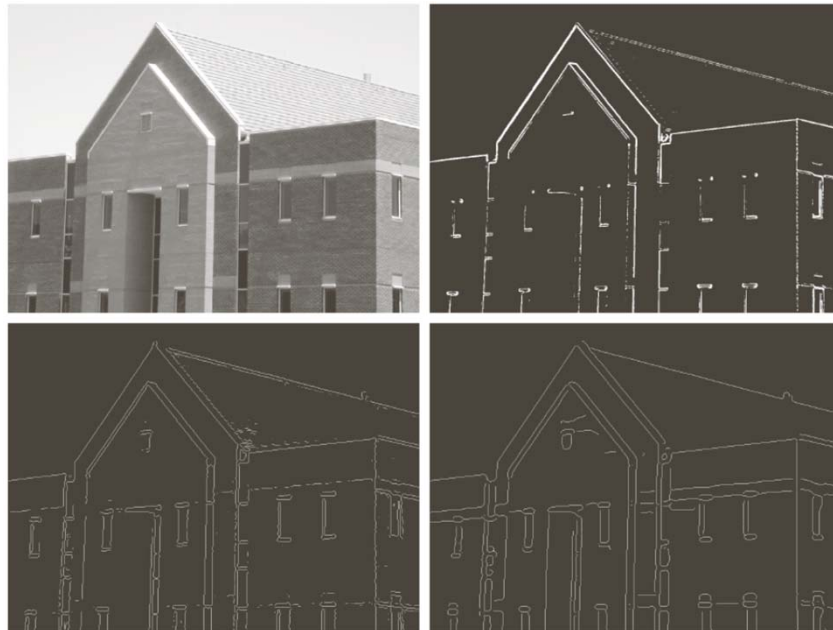
Digital Image Processing, 3rd ed.

Gonzalez & Woods

www.ImageProcessingPlace.com

Chapter 10

Image Segmentation



a
b
c
d

FIGURE 10.25

- (a) Original image of size 834×1114 pixels, with intensity values scaled to the range $[0, 1]$.
(b) Thresholded gradient of smoothed image.
(c) Image obtained using the Marr-Hildreth algorithm.
(d) Image obtained using the Canny algorithm. Note the significant improvement of the Canny image compared to the other two.

آشکارسازی لبه

آشکارساز لبه‌ی کنی: مثال

CANNY EDGE DETECTOR

(۱) تصویر اصلی
با مقادیر شدت رنگ در
بازه‌ی $[0,1]$



(۲) تصویر حاصل از
آستانه‌گیری از گرادیان
تصویر هموار شده



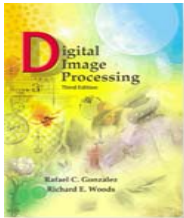
(۳) لبه‌یابی با استفاده از
LoG



(۴) لبه‌یابی با استفاده از
Canny



(بهبود چشمگیر
نسبت به دو روش
دیگر)



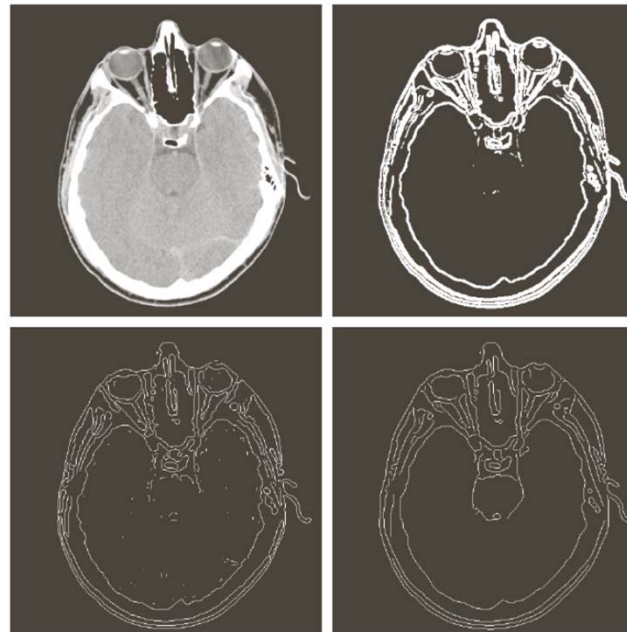
Digital Image Processing, 3rd ed.

Gonzalez & Woods

www.ImageProcessingPlace.com

Chapter 10

Image Segmentation



a
b
c
d

FIGURE 10.26

- (a) Original head CT image of size 512×512 pixels, with intensity values scaled to the range $[0, 1]$.
(b) Thresholded gradient of smoothed image.
(c) Image obtained using the Marr-Hildreth algorithm.
(d) Image obtained using the Canny algorithm.
(Original image courtesy of Dr. David R. Pickens, Vanderbilt University.)

آشکارسازی لبه

آشکارساز لبه‌ی کنی: مثال

CANNY EDGE DETECTOR

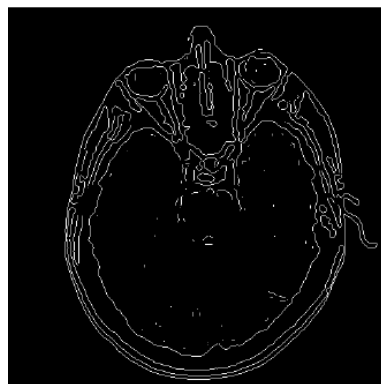
(۱)
تصویر اصلی
بامقدار شدت رنگ در
بازه‌ی $[0,1]$



(۲)
تصویر حاصل از
آستانه‌گیری از گرادیان
تصویر هموارشده

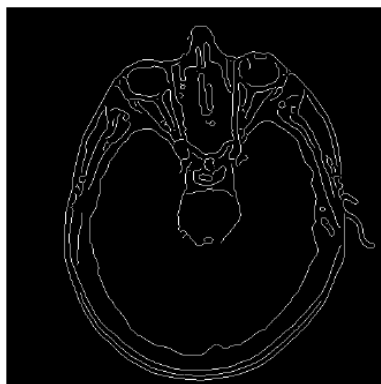


(۳)
لبه‌یابی با استفاده از LoG



(۴)
لبه‌یابی با استفاده از
Canny

(بهبود چشمگیر نسبت به
دو روش دیگر)



پیونددهی لبه و آشکارسازی مرز

EDGE LINKING AND BOUNDARY DETECTION

هدف از آشکارسازی لبه، یافتن پیکسل‌های است که روی لبه قرار دارند.
در عمل به دلیل وجود نویز، به ندرت این پیکسل‌ها به طور کامل مشخص می‌شوند.



پس از آشکارسازی لبه، از **الگوریتم‌های پیوند لبه** استفاده می‌کنیم.
به منظور اس梅بل کردن پیکسل‌های لبه به لبه‌های معنادار و یا مرزهای ناحیه.

پیونددهی لبه و آشکارسازی مرز

پردازش محلی

EDGE LINKING AND BOUNDARY DETECTION: LOCAL PROCESSING

از تحلیل خصوصیات پیکسل‌ها در یک همسایگی کوچک حول نقطه‌ی نامزد لبه استفاده می‌کنیم.

همه‌ی پیکسل‌های مشابه (بر مبنای یک ضابطه‌ی شباهت از پیش تعریف شده) به هم پیوند داده می‌شوند.

دو خاصیت از نقاط لبه که برای پیوند دهی لبه استفاده می‌شوند:

۱ اندازه (قوت) نقاط آشکارشده به عنوان لبه

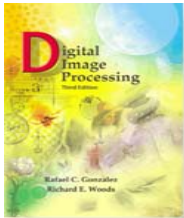
۲ زاویه (جهت) نقاط آشکارشده به عنوان لبه [از روی جهت‌های گرادیان محاسبه می‌شود.]

نقاط مجاور لبه که **اندازه** و **جهت** مشابه دارند، به هم پیوند داده می‌شوند:

اگر S_{xy} مجموعه‌ی مختصات یک همسایگی با مرکز (x,y) باشد، شباهت یک پیکسل لبه با مختصات (s,t) در S_{xy} با پیکسل (x,y) به صورت زیر تعیین می‌شود:

$$|M(s,t) - M(x,y)| \leq E, \quad E : \text{a nonnegative threshold}$$

$$|\alpha(s,t) - \alpha(x,y)| \leq A, \quad A : \text{a nonnegative angle threshold}$$



Digital Image Processing, 3rd ed.

Gonzalez & Woods

www.ImageProcessingPlace.com

Chapter 10

Image Segmentation

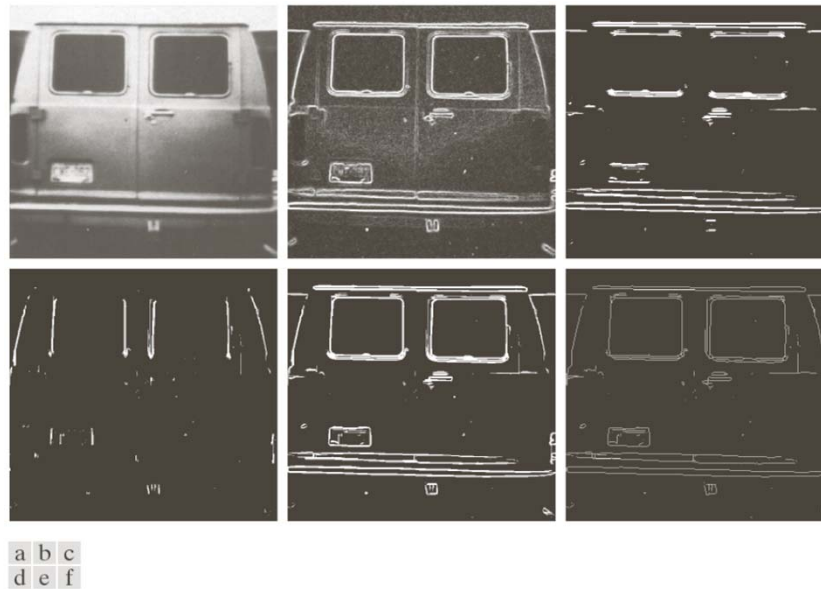


FIGURE 10.27 (a) A 534×566 image of the rear of a vehicle. (b) Gradient magnitude image. (c) Horizontally connected edge pixels. (d) Vertically connected edge pixels. (e) The logical OR of the two preceding images. (f) Final result obtained using morphological thinning. (Original image courtesy of Perceptics Corporation.)

پیونددهی لبه و آشکارسازی مرز

پردازش محلی: مثال

(۲)

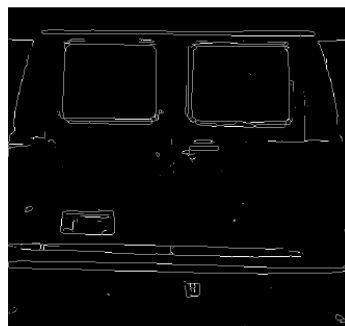
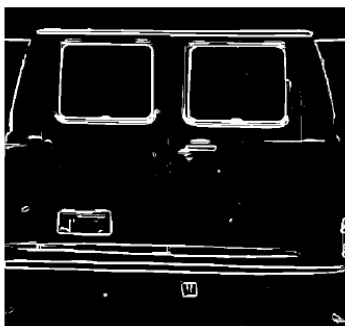
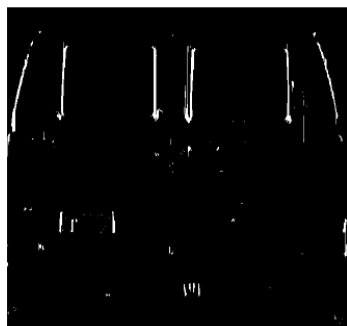
تصویر اندازه‌ی گرادیان

(۱)
تصویر اصلی
از پشت
یک خودرو



(۳)
پیکسل‌های
لبه متصل
به طور افقی

(۴)
پیکسل‌های
لبه متصل
به طور
عمودی



(۵)
نتیجه‌ی نهایی
پس از
نازکسازی
مورفولوژیکی

اجتماع دو تصویر (۲) و (۴) با OR منطقی

پس از این پردازش‌ها می‌توان کاندیداهای پلاک خودرو را بررسی کرد تا آن را پیدا کنیم.

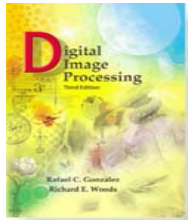
پیونددهی لبه و آشکارسازی مرز

پردازش ناحیه‌ای

EDGE LINKING AND BOUNDARY DETECTION: REGIONAL PROCESSING

از اطلاعات موجود در مورد محل ناحیه‌ی مورد نظر برای پیونددهی لبه استفاده می‌کنیم.

یک روش برای انجام این کار، تقریب تابعی است:
یک منحنی دوبعدی را بر روی نقاط آشکار شده برازش می‌دهیم.



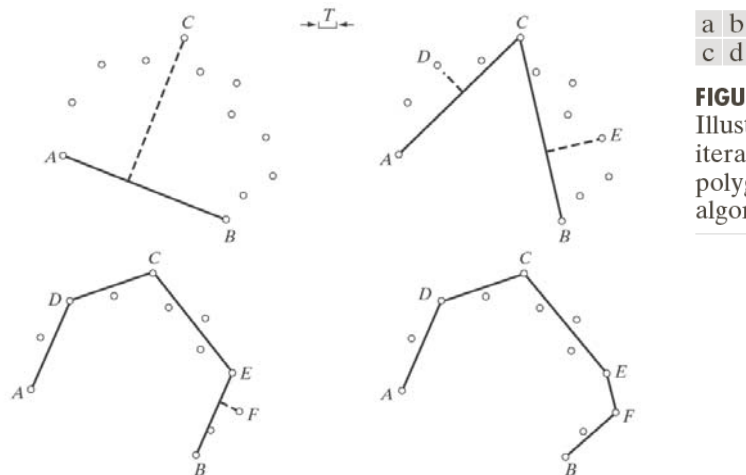
Digital Image Processing, 3rd ed.

Gonzalez & Woods

www.ImageProcessingPlace.com

Chapter 10

Image Segmentation



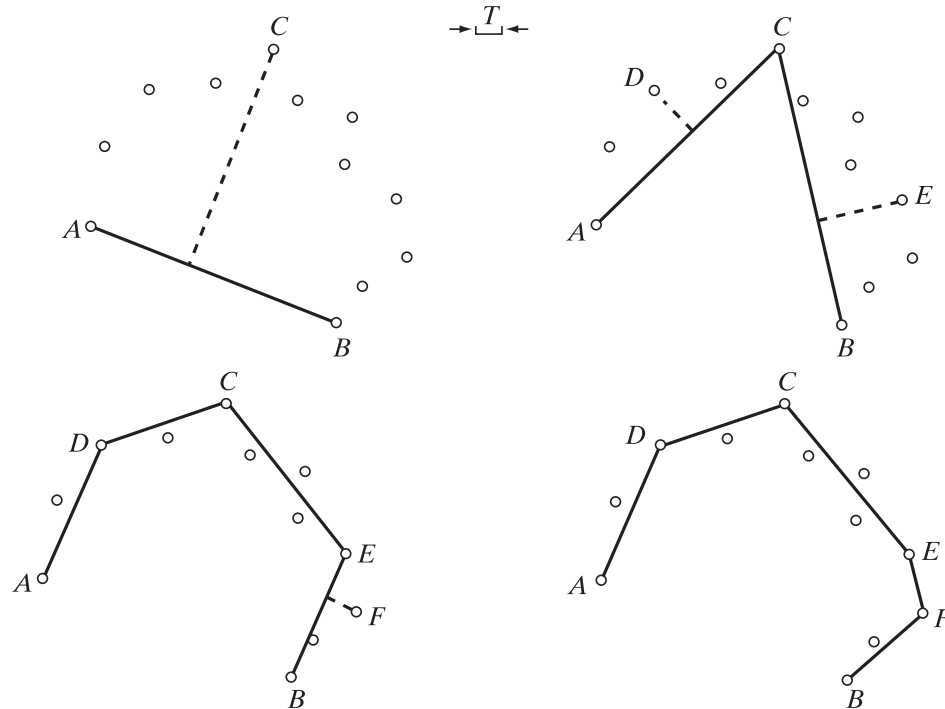
a	b
c	d

FIGURE 10.28
Illustration of the
iterative
polygonal fit
algorithm.

پیونددهی لبه و آشکارسازی مرز

پردازش ناحیه‌ای: الگوریتم برآش چندضلعی تکراری

EDGE LINKING AND BOUNDARY DETECTION: REGIONAL PROCESSING



مجموعه نقاطی که یک منحنی باز با نقاط انتهایی A و B را نشان می‌دهد:

ابتدا پارامترهای خط گذرنده از این دو نقطه را مشخص می‌کنیم.

سپس فاصله‌ی عمودی همه نقاط را از این خط محاسبه می‌کنیم؛

نقطه‌ای که بیشترین فاصله را دارد انتخاب می‌شود. اگر این فاصله از آستانه‌ی T بیشتر بود، به عنوان یک گوشه با برچسب C اضافه می‌شود.

همین الگوریتم به صورت بازگشتی برای AC و BC اجرا می‌شود.

پیونددهی لبه و آشکارسازی مرز

پردازش ناحیه‌ای: الگوریتم پیونددهی لبه با استفاده از یک تقریب چندضلعی

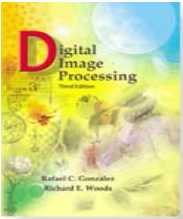
EDGE LINKING USING A POLYGONAL APPROXIMATION

1. Let P be a sequence of ordered, distinct, 1-valued points of a binary image. Specify two starting points, A and B . These are the two starting vertices of the polygon.
2. Specify a threshold, T , and two empty stacks, OPEN and CLOSED.
3. If the points in P correspond to a closed curve, put A into OPEN and put B into OPEN *and* into CLOSED. If the points correspond to an open curve, put A into OPEN and B into CLOSED.
4. Compute the parameters of the line passing from the last vertex in CLOSED to the last vertex in OPEN.
5. Compute the distances from the line in Step 4 to all the points in P whose sequence places them between the vertices from Step 4. Select the point, V_{\max} , with the maximum distance, D_{\max} (ties are resolved arbitrarily).
6. If $D_{\max} > T$, place V_{\max} at the end of the OPEN stack as a new vertex. Go to Step 4.
7. Else, remove the last vertex from OPEN and insert it as the last vertex of CLOSED.
8. If OPEN is not empty, go to Step 4.
9. Else, exit. The vertices in CLOSED are the vertices of the polygonal fit to the points in P .

See Section 11.1.1 for an algorithm that creates ordered point sequences.

The use of OPEN and CLOSED for the stack names is *not* related to open and closed curves. The stack names indicate simply a stack to store final (CLOSED) vertices or vertices that are in transition (OPEN).





Digital Image Processing, 3rd ed.

Gonzalez & Woods

www.ImageProcessingPlace.com

Chapter 10

Image Segmentation

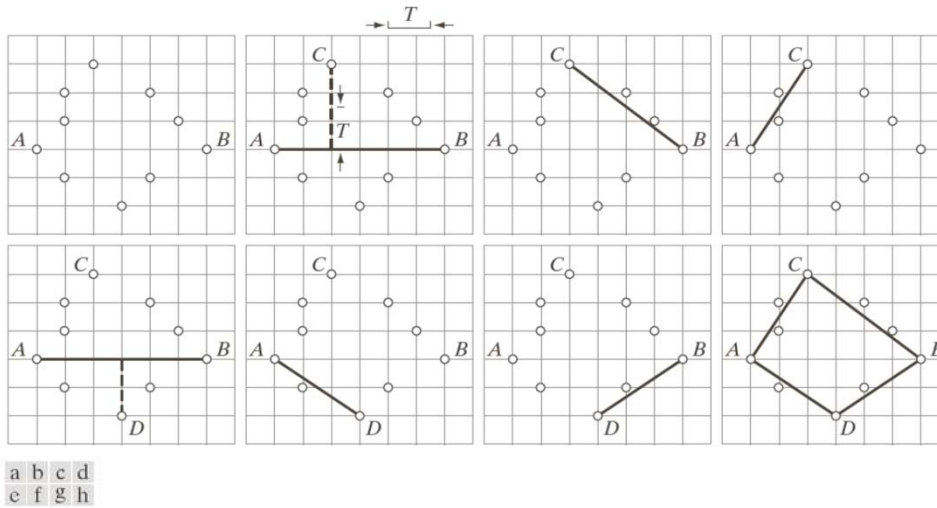
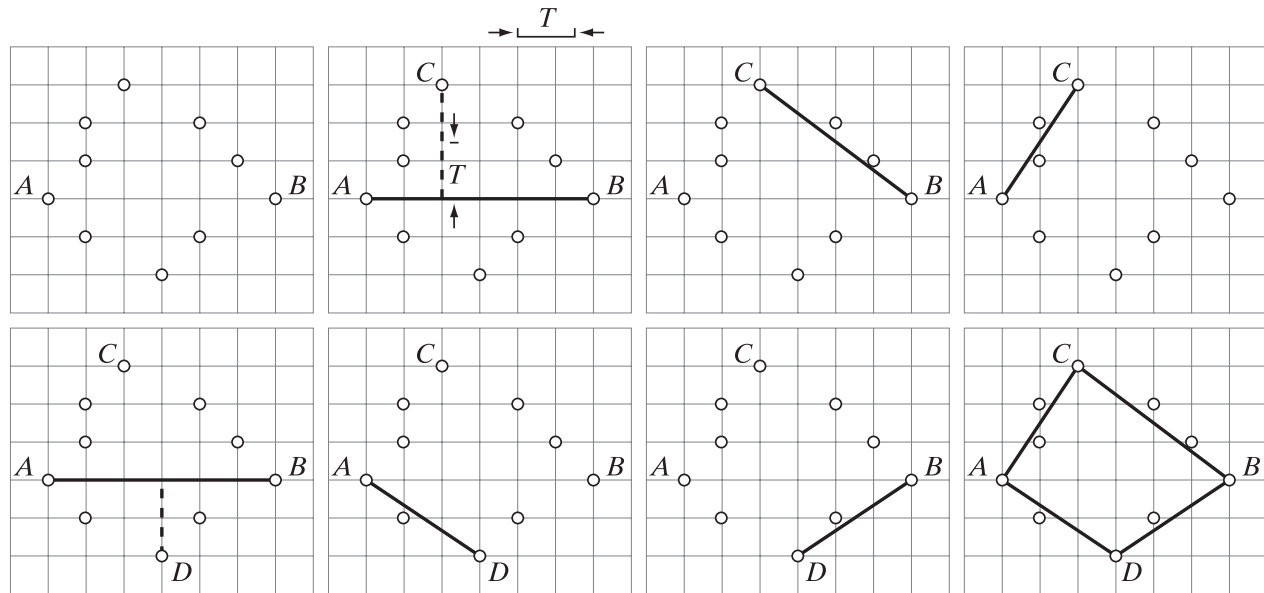


FIGURE 10.29 (a) A set of points in a clockwise path (the points labeled A and B were chosen as the starting vertices). (b) The distance from point C to the line passing through A and B is the largest of all the points between A and B and also passed the threshold test, so C is a new vertex. (d)–(g) Various stages of the algorithm. (h) The final vertices, shown connected with straight lines to form a polygon. Table 10.1 shows step-by-step details.

پیونددهی لبه و آشکارسازی مرز

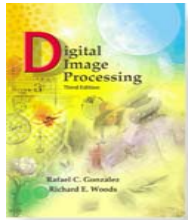
پردازش ناحیه‌ای: الگوریتم پیونددهی لبه با استفاده از یک تقریب چندضلعی: مثال (۱ از ۲)

EDGE LINKING USING A POLYGONAL APPROXIMATION



a	b	c	d
e	f	g	h

(a) A set of points in a clockwise path (the points labeled A and B were chosen as the starting vertices). (b) The distance from point C to the line passing through A and B is the largest of all the points between A and B and also passed the threshold test, so C is a new vertex. (d)–(g) Various stages of the algorithm. (h) The final vertices, shown connected with straight lines to form a polygon.



Digital Image Processing, 3rd ed.

Gonzalez & Woods

www.ImageProcessingPlace.com

Chapter 10

Image Segmentation

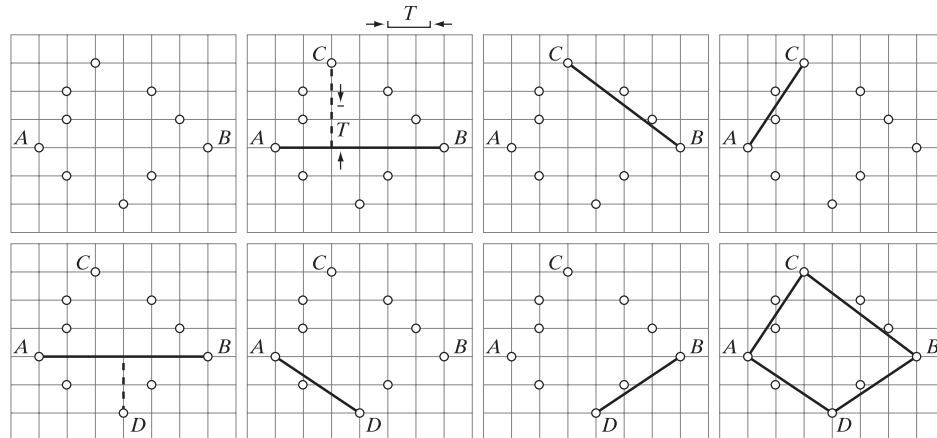
CLOSED	OPEN	Curve segment processed	Vertex generated
B	B, A	—	A, B
B	B, A	(BA)	C
B	B, A, C	(BC)	—
B, C	B, A	(CA)	—
B, C, A	B	(AB)	D
B, C, A	B, D	(AD)	—
B, C, A, D	B	(DB)	—
B, C, A, D, B	Empty	—	—

TABLE 10.1
Step-by-step details of the mechanics in Example 10.11.

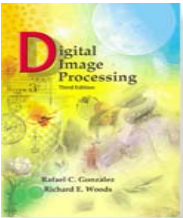
پیونددهی لبه و آشکارسازی مرز

پردازش ناحیه‌ای: الگوریتم پیونددهی لبه با استفاده از یک تقریب چندضلعی: مثال (۲ از ۲)

EDGE LINKING USING A POLYGONAL APPROXIMATION



CLOSED	OPEN	Curve segment processed	Vertex generated
B	B, A	—	A, B
B	B, A	(BA)	C
B	B, A, C	(BC)	—
B, C	B, A	(CA)	—
B, C, A	B	(AB)	D
B, C, A	B, D	(AD)	—
B, C, A, D	B	(DB)	—
B, C, A, D, B	Empty	—	—



Digital Image Processing, 3rd ed.

Gonzalez & Woods

www.ImageProcessingPlace.com

Chapter 10

Image Segmentation

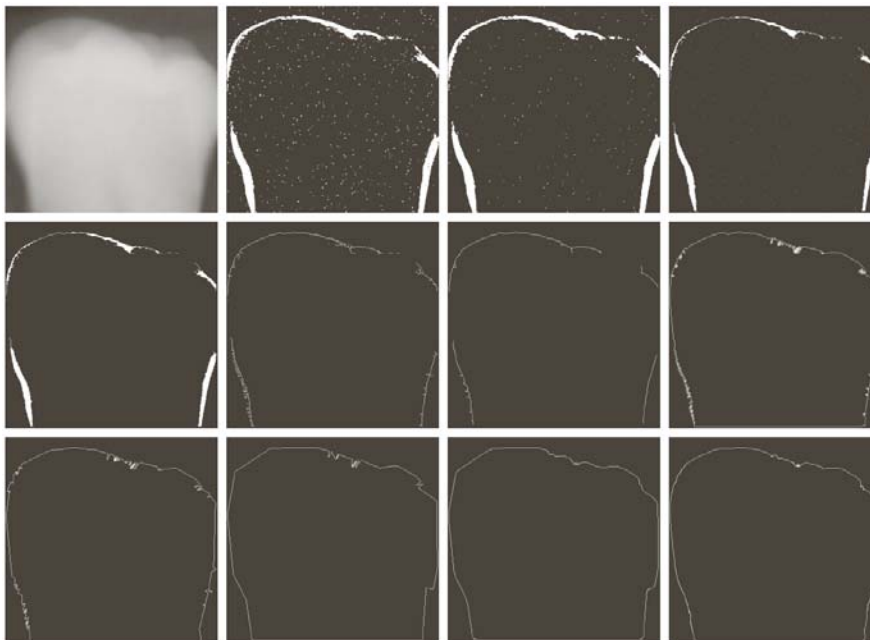
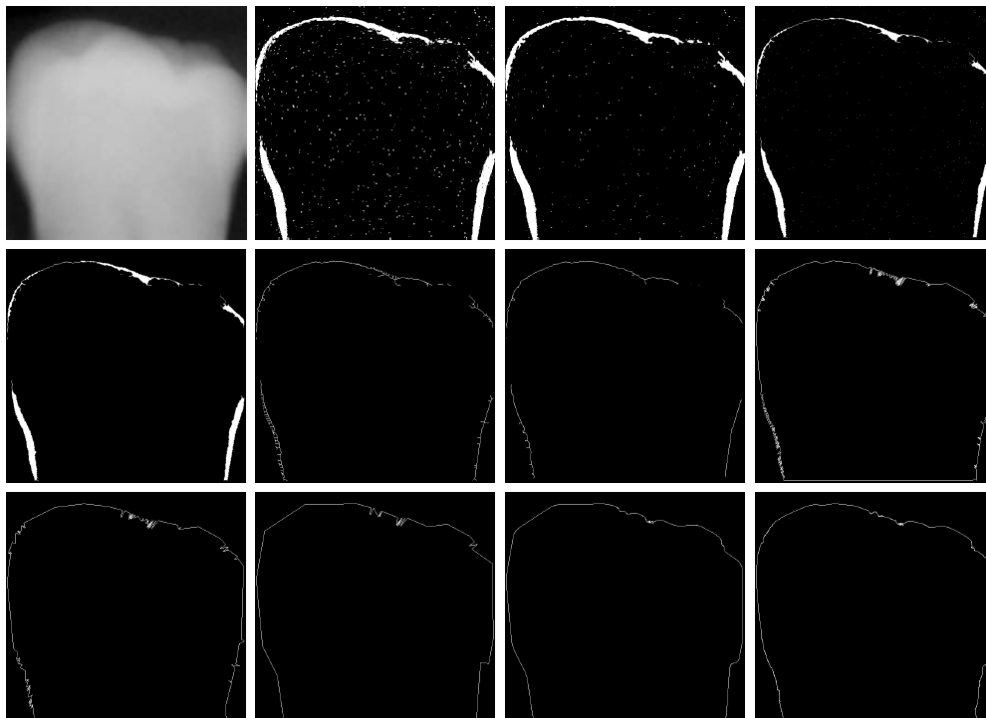


FIGURE 10.30 (a) A 550×566 X-ray image of a human tooth. (b) Gradient image. (c) Result of majority filtering. (d) Result of morphological shrinking. (e) Result of morphological cleaning. (f) Skeleton. (g) Spur reduction. (h)–(j) Polygonal fit using thresholds of approximately 0.5%, 1%, and 2% of image width ($T = 3, 6$, and 12). (k) Boundary in (j) smoothed with a 1-D averaging filter of size 1×31 (approximately 5% of image width). (l) Boundary in (h) smoothed with the same filter.

پیونددهی لبه و آشکارسازی مرز

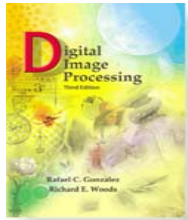
پردازش ناحیه‌ای: الگوریتم پیونددهی لبه با استفاده از یک تقریب چندضلعی: مثال (برازش چندضلعی به مرز یک تصویر)

EDGE LINKING USING A POLYGONAL APPROXIMATION



a	b	c	d
e	f	g	h
i	j	k	l

- (a) A X-ray image of a human tooth.
- (b) Gradient image.
- (c) Result of majority filtering.
- (d) Result of morphological shrinking.
- (e) Result of morphological cleaning.
- (f) Skeleton.
- (g) Spur reduction.
- (h)-(j) Polygonal fit using thresholds of approximately 0.5%, 1%, and 2% of image width ($T = 3, 6, \text{ and } 12$).
- (k) Boundary in (j) smoothed with a 1-D averaging filter of size 1×31 (approximately 5% of image width).
- (l) Boundary in (h) smoothed with the same filter.



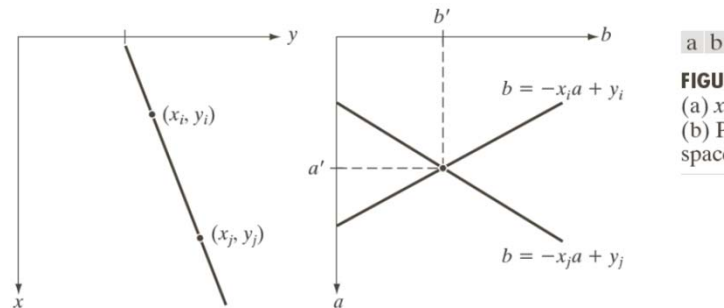
Digital Image Processing, 3rd ed.

Gonzalez & Woods

www.ImageProcessingPlace.com

Chapter 10

Image Segmentation



a | b

FIGURE 10.31

(a) xy -plane.
(b) Parameter space.

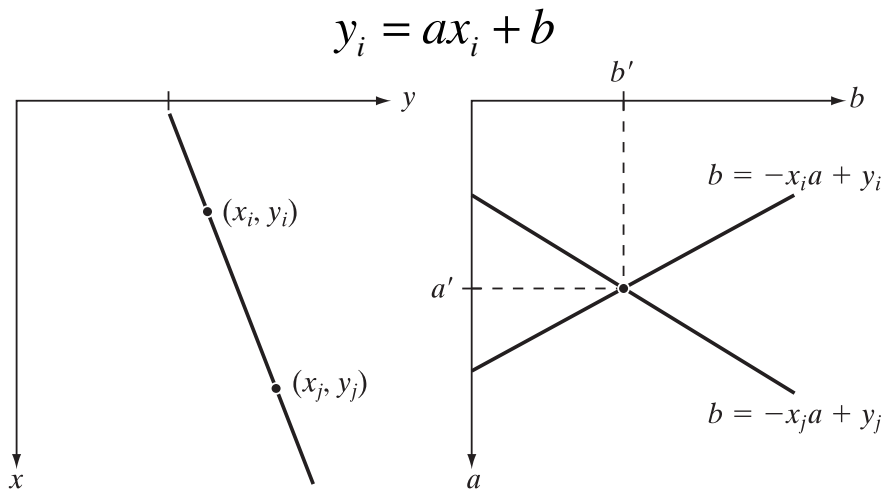
پیونددهی لبه و آشکارسازی مرز

پردازش سراسری با استفاده از تبدیل هاف

EDGE LINKING AND BOUNDARY DETECTION: GLOBAL PROCESSING USING THE HOUGH TRANSFORM

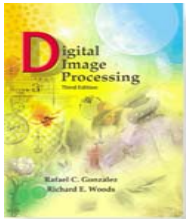
تبدیل هاف، روشی برای یافتن نقاط لبه در یک تصویر که بر روی یک خط راست قرار می‌گیرند.

برای جستجوی خط از فضای پارامتر (a, b) به جای فضای مختصات (x, y) استفاده می‌کنیم:



(a) xy -plane.

(b) Parameter space.



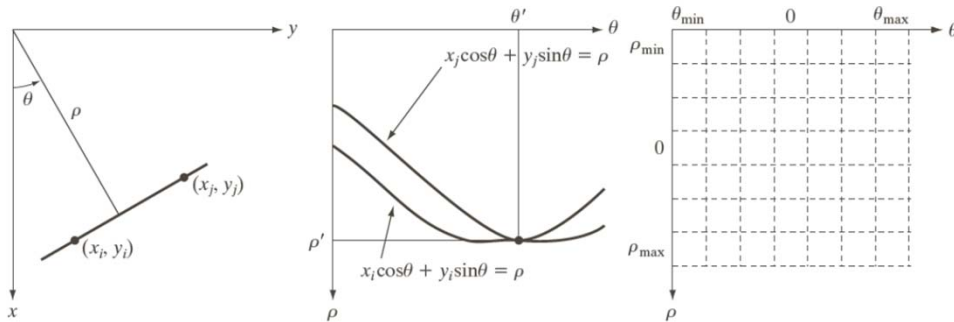
Digital Image Processing, 3rd ed.

Gonzalez & Woods

www.ImageProcessingPlace.com

Chapter 10

Image Segmentation



a b c

FIGURE 10.32 (a) (ρ, θ) parameterization of line in the xy -plane. (b) Sinusoidal curves in the $\rho\theta$ -plane; the point of intersection (ρ', θ') corresponds to the line passing through points (x_i, y_i) and (x_j, y_j) in the xy -plane. (c) Division of the $\rho\theta$ -plane into accumulator cells.

پیونددهی لبه و آشکارسازی مرز

پردازش سراسری با استفاده از تبدیل هاف

EDGE LINKING AND BOUNDARY DETECTION: GLOBAL PROCESSING USING THE HOUGH TRANSFORM

تبدیل هاف، روشی برای یافتن نقاط لبه در یک تصویر که بر روی یک خط راست قرار می‌گیرند.

برای رفع مشکل شیب بی‌نهایت (برای خطهای عمودی)، از بازنمایی نرمال خط استفاده می‌کنیم:

$$x \cos \theta + y \sin \theta = \rho$$

تبدیل هاف، همهٔ جفت‌های (ρ, θ) که معادله‌های گذرنده از (x, y) را ارضاء می‌کنند را می‌یابد.

نتایج در یک هیستوگرام دو بعدی (در قالب یک ماتریس انباره) جمع زده می‌شود.

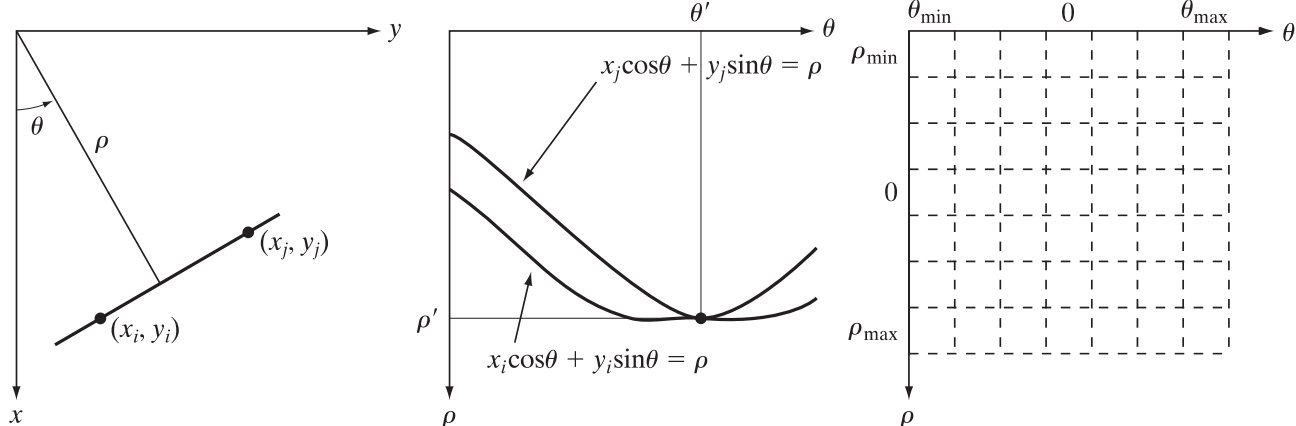
این فرآیند برای همهٔ نقاط (x, y) تکرار می‌شود.

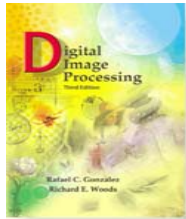
بزرگترین مقادیر در این هیستوگرام، خطهای راست داخل تصویر را نشان می‌دهند.

θ_p, θ_q



$$A(p, q) = A(p, q) + 1$$





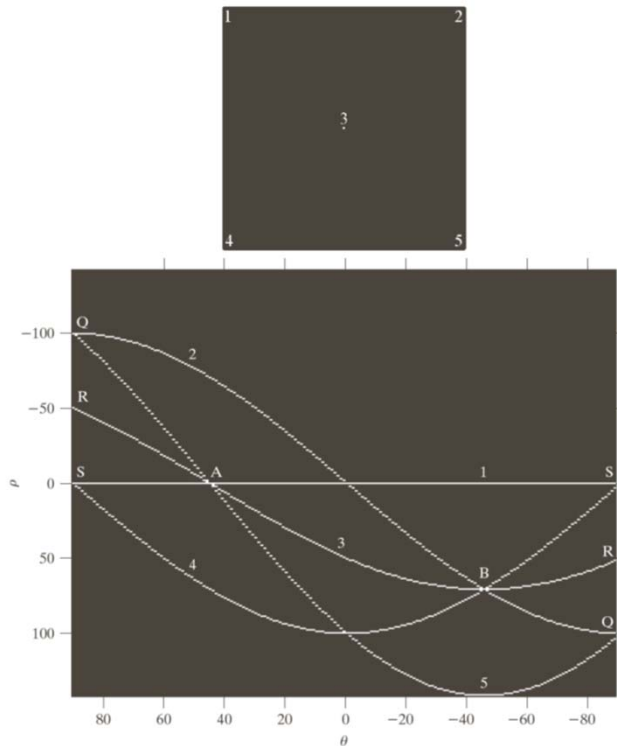
Digital Image Processing, 3rd ed.

Gonzalez & Woods

www.ImageProcessingPlace.com

Chapter 10

Image Segmentation



a
b

FIGURE 10.33

(a) Image of size 101×101 pixels, containing five points.
(b) Corresponding parameter space. (The points in (a) were enlarged to make them easier to see.)

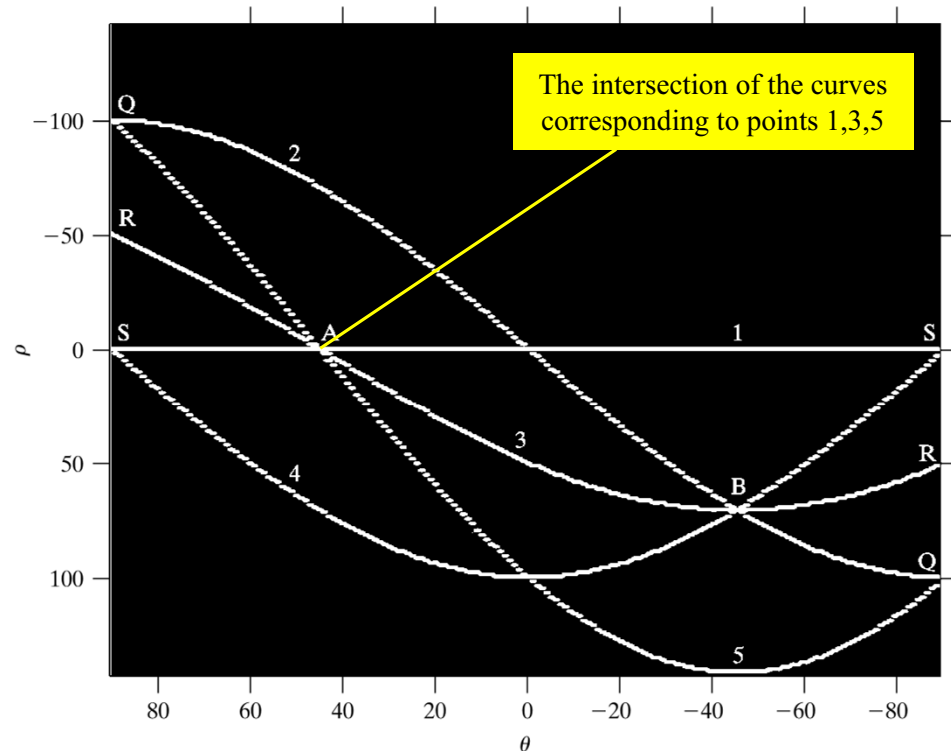
پیونددهی لبه و آشکارسازی مرز

پردازش سراسری با استفاده از تبدیل هاف: مثال

EDGE LINKING AND BOUNDARY DETECTION: GLOBAL PROCESSING USING THE HOUGH TRANSFORM



(a) Image of size 101×101 pixels, containing five points.



(b) Corresponding parameter space.

پیونددهی لبه و آشکارسازی مرز

پردازش سراسری با استفاده از تبدیل هاف: یافتن دایره

EDGE LINKING AND BOUNDARY DETECTION: GLOBAL PROCESSING USING THE HOUGH TRANSFORM

تبدیل هاف را می‌توان برای هر تابعی به فرم $g(v, c) = 0$ به کار برد.
 v بردار مختصات و c بردار ضرایب است.

مثلًا برای یافتن دایره:

$$(x - c_1)^2 + (y - c_2)^2 = c_3^2$$

چون سه پارامتر داریم، باید از یک انباره‌ی سه‌بعدی $A(i, j, k)$ استفاده کنیم.

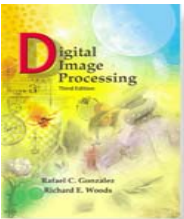
پیونددهی لبه و آشکارسازی مرز

پردازش سراسری با استفاده از تبدیل هاف: پیونددهی لبه

EDGE LINKING AND BOUNDARY DETECTION: GLOBAL PROCESSING USING THE HOUGH TRANSFORM

پیونددهی لبه با استفاده از تبدیل هاف

1. Obtain a *binary* edge image using any of the techniques discussed earlier
2. Specify subdivisions in the $\rho\theta$ -plane.
3. Examine the counts of the accumulator cells for high pixel concentrations.
4. Examine the relationship (principally for continuity) between pixels in a chosen cell.



Digital Image Processing, 3rd ed.

Gonzalez & Woods

www.ImageProcessingPlace.com

Chapter 10

Image Segmentation

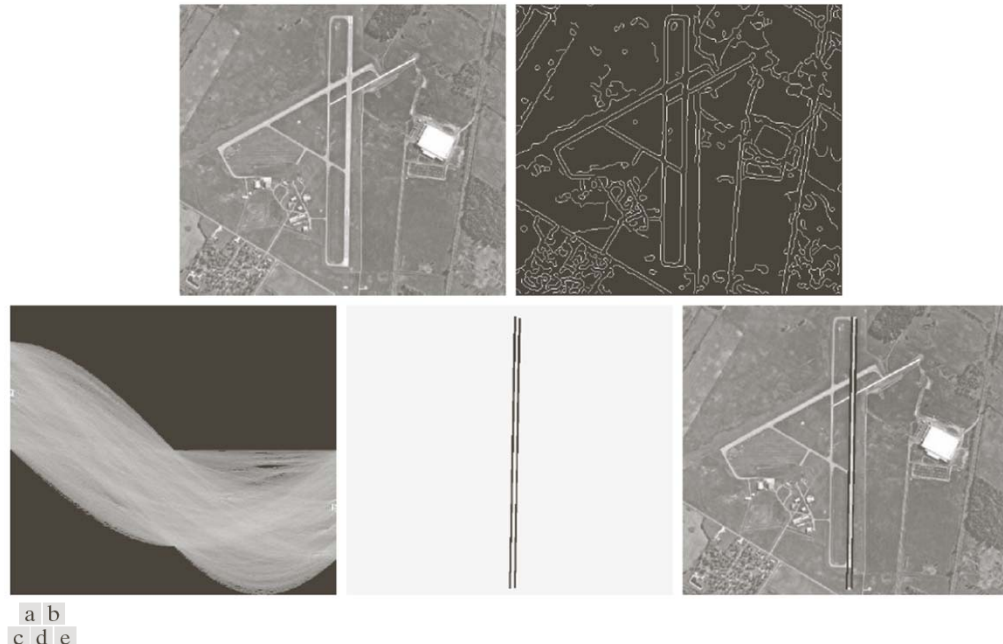


FIGURE 10.34 (a) A 502×564 aerial image of an airport. (b) Edge image obtained using Canny's algorithm. (c) Hough parameter space (the boxes highlight the points associated with long vertical lines). (d) Lines in the image plane corresponding to the points highlighted by the boxes). (e) Lines superimposed on the original image.

پیونددهی لبه و آشکارسازی مرز

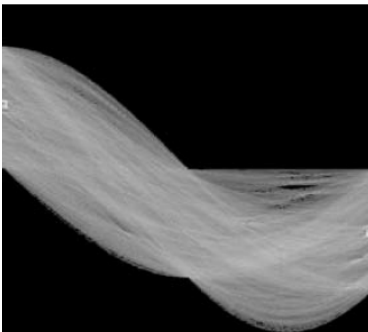
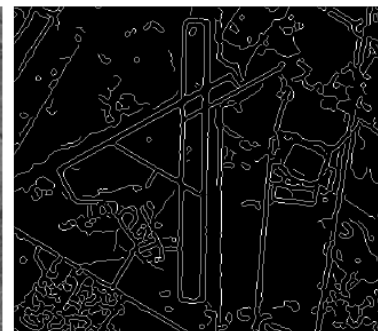
پردازش سراسری با استفاده از تبدیل هاف: پیونددهی لبه: مثال

EDGE LINKING AND BOUNDARY DETECTION: GLOBAL PROCESSING USING THE HOUGH TRANSFORM

(۱)
یک تصویر
هوایی از یک
فرودگاه
با ابعاد
 502×564



(۲)
لبه‌های
تصویر
حاصل از
الگوریتم کنی



(۳)
فضای پارامتر هاف



(۴)
خطوط متناظر با بزرگترین شمارنده



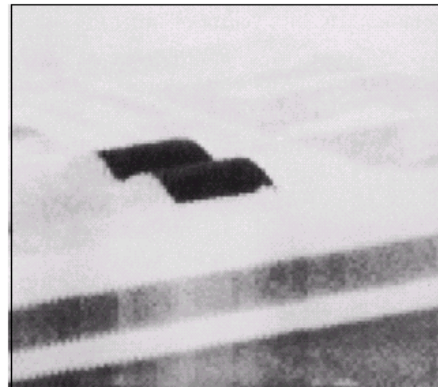
(۵)
رسم خطوط (۴) روی تصویر اصلی

پیونددهی لبه و آشکارسازی مرز

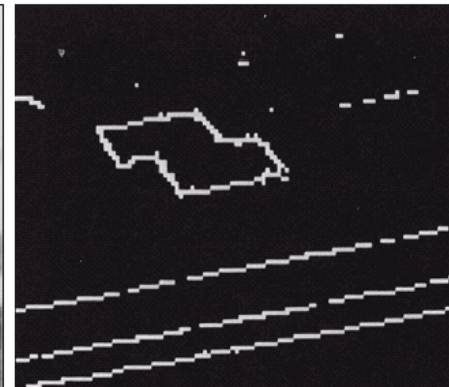
پردازش سراسری با استفاده از تبدیل هاف: پیونددهی لبه: مثال

EDGE LINKING AND BOUNDARY DETECTION: GLOBAL PROCESSING USING THE HOUGH TRANSFORM

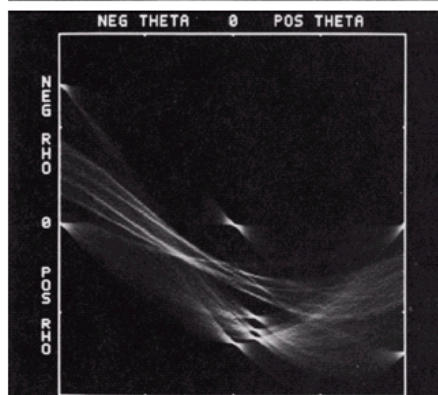
(۱)
یک تصویر
مادون قرمز



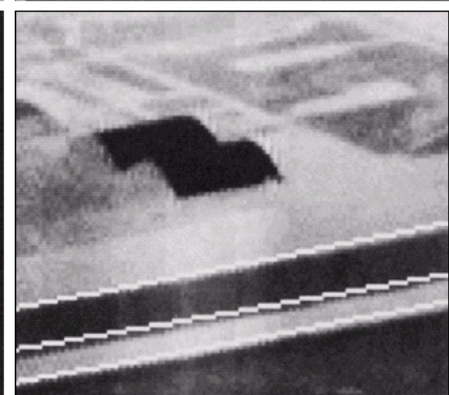
(۲)
تصویر گرادیان
آستانه‌گیری شده



(۳)
تبدیل هاف



(۴)
پیکسل‌های
پیونددهی شده



بخش بندی تصویر

۳

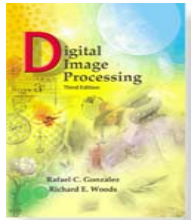
آستانه‌گیری

آستانه‌گیری

THRESHOLDING

آستانه‌گیری در کاربرد بخش‌بندی تصویر بسیار استفاده می‌شود.
(به دلیل ویژگی‌های شهودی، سادگی پیاده‌سازی و سرعت محاسباتی)

هدف: استفاده‌ی مستقیم از مقادیر شدت روشنایی پیکسل‌ها برای بخش‌بندی تصویر



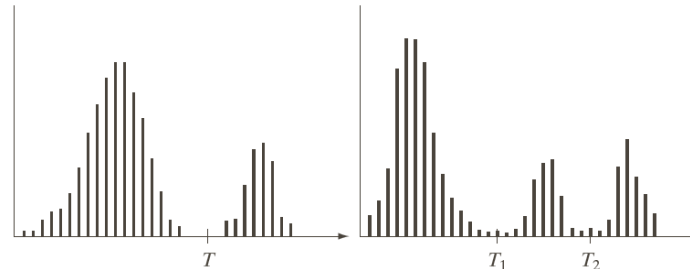
Digital Image Processing, 3rd ed.

Gonzalez & Woods

www.ImageProcessingPlace.com

Chapter 10

Image Segmentation



a b

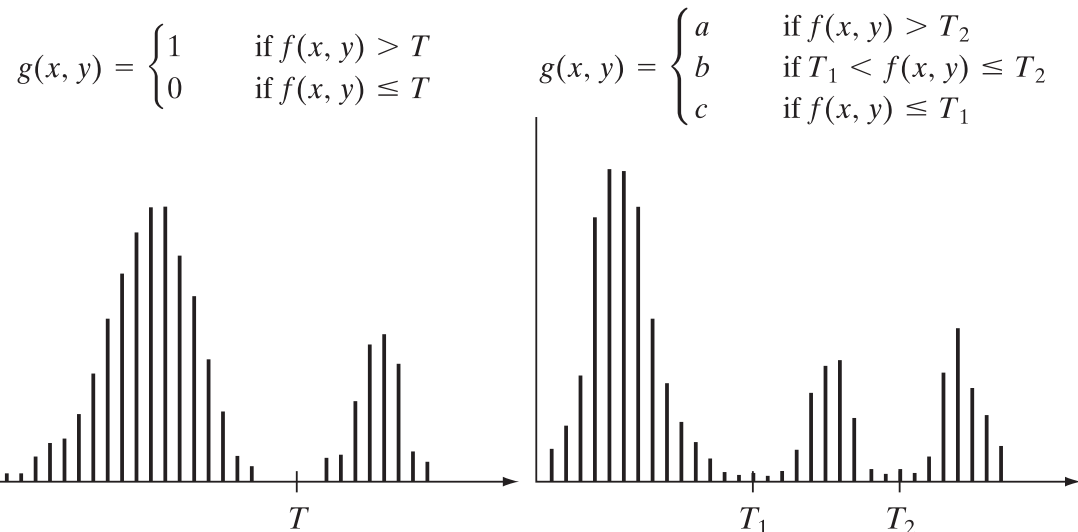
FIGURE 10.35
Intensity histograms that can be partitioned (a) by a single threshold, and (b) by dual thresholds.

آستانه‌گیری

اشیای روشن روی پس‌زمینه‌ی تیره

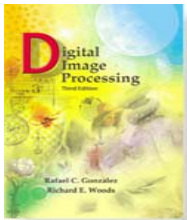
THRESHOLDING

وقتی بازه‌ی مقادیر شدت روشنایی اشیای مورد نظر از پس‌زمینه متفاوت است:



استفاده از یک مقدار آستانه

استفاده از چند مقدار آستانه



Digital Image Processing, 3rd ed.

Gonzalez & Woods

www.ImageProcessingPlace.com

Chapter 10 Image Segmentation

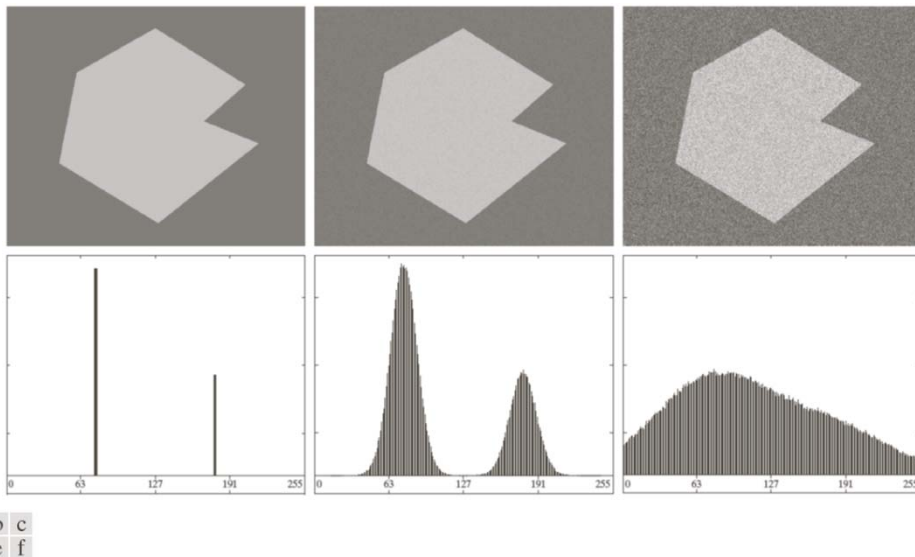


FIGURE 10.36 (a) Noiseless 8-bit image. (b) Image with additive Gaussian noise of mean 0 and standard deviation of 10 intensity levels. (c) Image with additive Gaussian noise of mean 0 and standard deviation of 50 intensity levels. (d)–(f) Corresponding histograms.

آستانه‌گيری

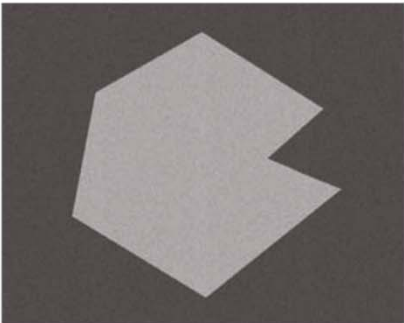
أشياء روشن روی پس زمینه‌ی تیره: مثال (نقش نویز در آستانه‌گیری)

THRESHOLDING

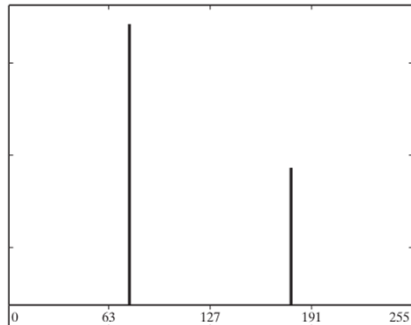
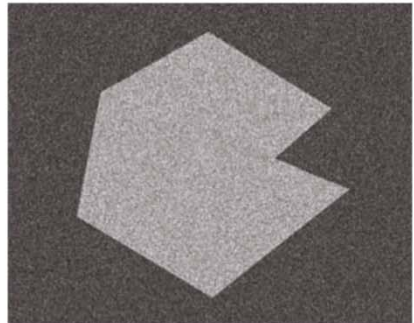
(۱) تصویر اصلی ۸ بیتی بدون نویز



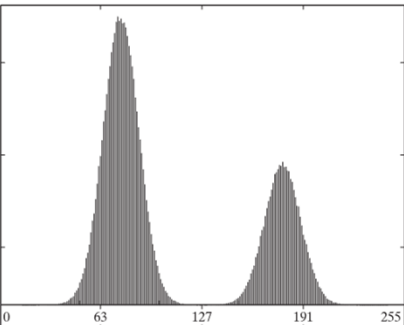
(۲) تخریب تصویر اصلی با نویز گاوسی
با میانگین صفر و انحراف معیار ۱۰



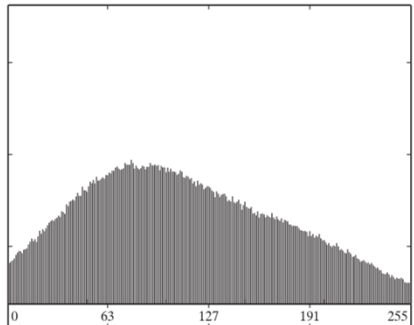
(۳) تخریب تصویر اصلی با نویز گاوسی
با میانگین صفر و انحراف معیار ۵۰



آستانه‌ی مناسب هر جایی مابین دو ضربه

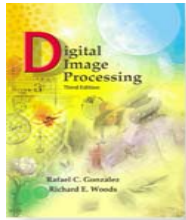


آستانه‌ی مناسب وسط دو قله



آستانه‌ی مناسب به راحتی یافت نمی‌شود.

وقتی نویز زیاد است (انحراف معیار بالا)، آستانه به راحتی پیدا نمی‌شود.



Digital Image Processing, 3rd ed.

Gonzalez & Woods

www.ImageProcessingPlace.com

Chapter 10

Image Segmentation

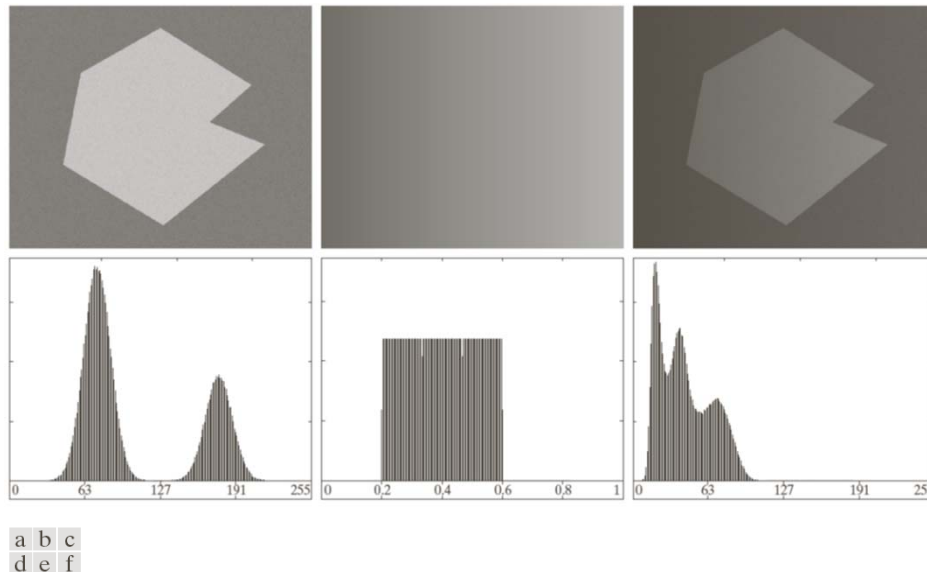


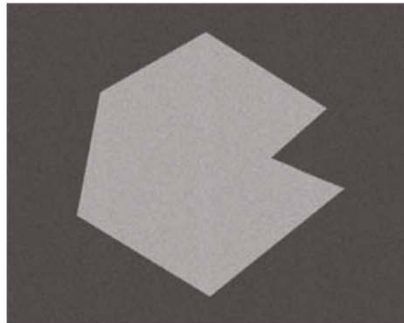
FIGURE 10.37 (a) Noisy image. (b) Intensity ramp in the range [0.2, 0.6]. (c) Product of (a) and (b). (d)–(f) Corresponding histograms.

آستانه‌گيري

اشیای روشن روی پس زمینه‌ی تیره: مثال (نقش شدت روشنایی و بازتابش در آستانه‌گيري)

THRESHOLDING

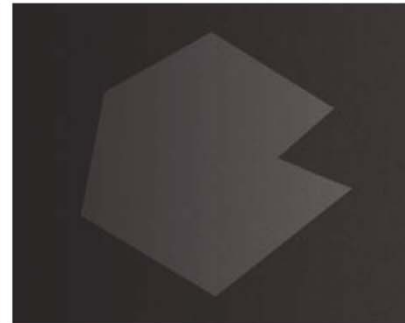
(۱)
تصویر دارای نویز



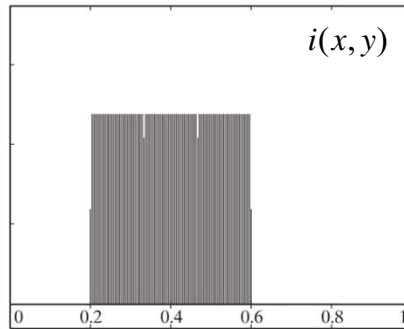
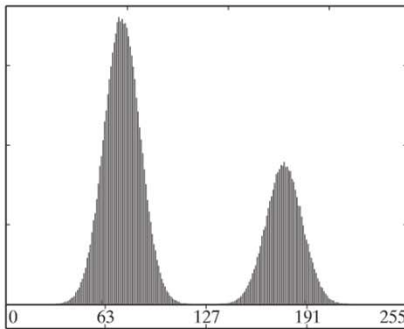
(۲) شدت روشنایی به صورت شب
در بازه‌ی [0.2, 0.6]



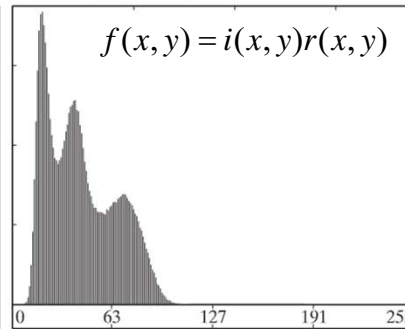
(۳)
حاصلضرب (۱) و (۲)



$i(x, y)$



$f(x, y) = i(x, y)r(x, y)$



آستانه‌ی مناسب وسط دو قله: تقطیع ساده

اثر غیریکنواختی شدت روشنایی

آستانه‌ی مناسب به راحتی یافت نمی‌شود.

برای بازتابش تصویر: به علت تفاوت بازتابش سطح اشیا و پس زمینه کار ساده‌تر است.

آستانه‌گیری

آستانه‌گیری سراسری پایه

BASIC GLOBAL THRESHOLDING

1. Select an initial estimate for the global threshold, T .
2. Segment the image using T in Eq. (10.3-1). This will produce two groups of pixels: G_1 consisting of all pixels with intensity values $> T$, and G_2 consisting of pixels with values $\leq T$.

$$g(x, y) = \begin{cases} 1 & \text{if } f(x, y) > T \\ 0 & \text{if } f(x, y) \leq T \end{cases} \quad (10.3-1)$$

3. Compute the average (mean) intensity values m_1 and m_2 for the pixels in G_1 and G_2 , respectively.
4. Compute a new threshold value:

$$T = \frac{1}{2}(m_1 + m_2)$$

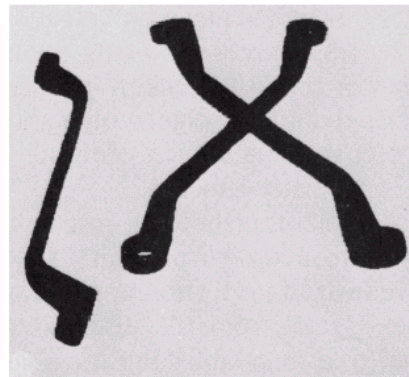
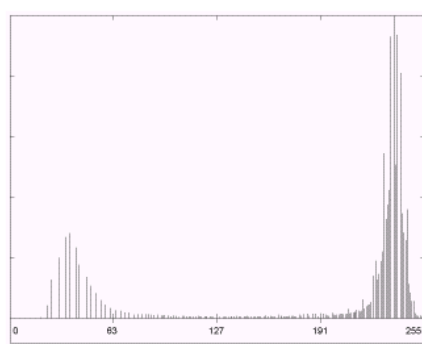
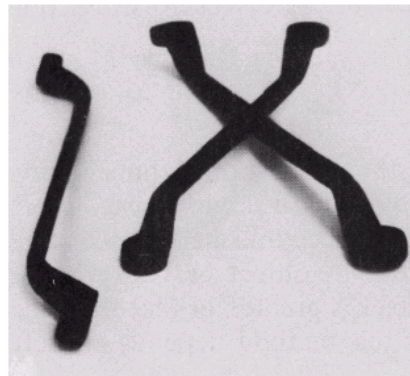
5. Repeat Steps 2 through 4 until the difference between values of T in successive iterations is smaller than a predefined parameter ΔT .



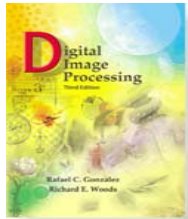
آستانه‌گیری

آستانه‌گیری سراسری پایه: مثال

BASIC GLOBAL THRESHOLDING



آستانه‌ی مناسب وسط دو قله: تقطیع ساده



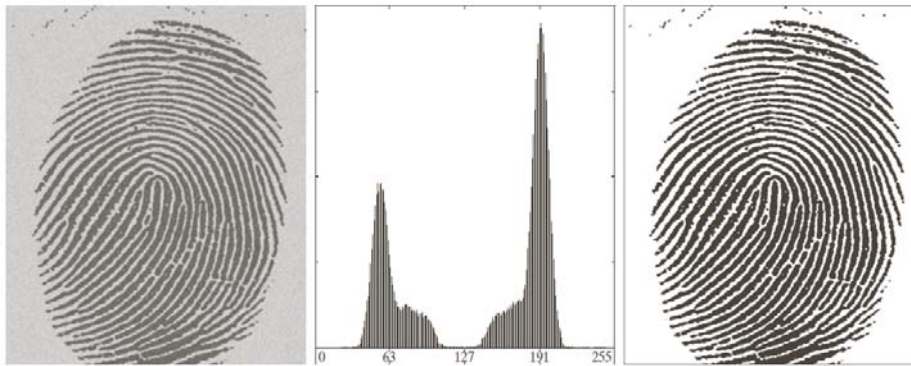
Digital Image Processing, 3rd ed.

Gonzalez & Woods

www.ImageProcessingPlace.com

Chapter 10

Image Segmentation



a b c

FIGURE 10.38 (a) Noisy fingerprint. (b) Histogram. (c) Segmented result using a global threshold (the border was added for clarity). (Original courtesy of the National Institute of Standards and Technology.)

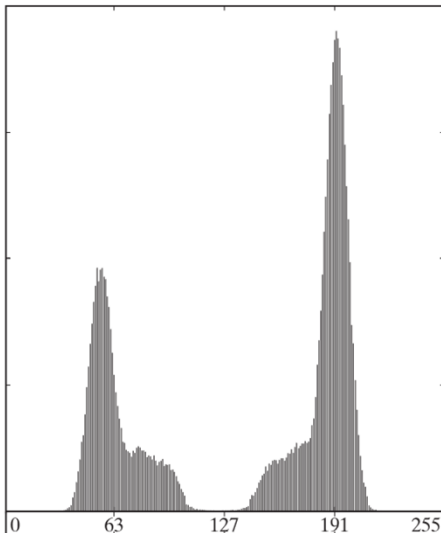
آستانه‌گیری

آستانه‌گیری سراسری پایه: مثال

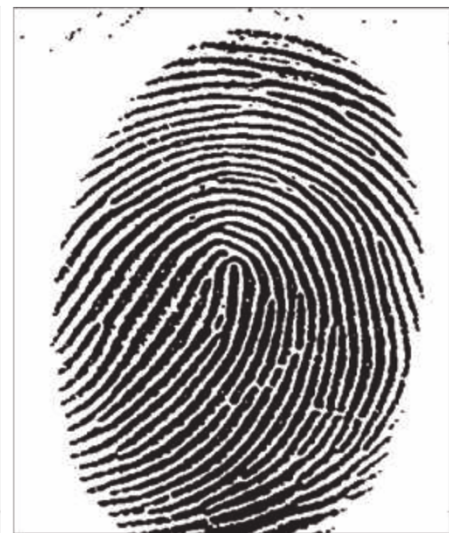
BASIC GLOBAL THRESHOLDING



(۱)
تصویر اثر انگشت دارای نویز



(۲)
هیستوگرام



(۳)
نتیجه‌ی بخش‌بندی با یک آستانه‌ی سراسری

آستانه‌گیری

آستانه‌گیری سراسری بهینه: با روش اوتسو

OPTIMAL GLOBAL THRESHOLDING USING OTSU'S METHOD

1. Compute the normalized histogram of the input image. Denote the components of the histogram by $p_i, i = 0, 1, 2, \dots, L - 1$.
2. Compute the cumulative sums, $P_1(k)$, for $k = 0, 1, 2, \dots, L - 1$, using Eq. (10.3-4).
3. Compute the cumulative means, $m(k)$, for $k = 0, 1, 2, \dots, L - 1$, using Eq. (10.3-8).
4. Compute the global intensity mean, m_G , using (10.3-9).
5. Compute the between-class variance, $\sigma_B^2(k)$, for $k = 0, 1, 2, \dots, L - 1$, using Eq. (10.3-17).
6. Obtain the Otsu threshold, k^* , as the value of k for which $\sigma_B^2(k)$ is maximum. If the maximum is not unique, obtain k^* by averaging the values of k corresponding to the various maxima detected.
7. Obtain the separability measure, η^* , by evaluating Eq. (10.3-16) at $k = k^*$.

$$P_1(k) = \sum_{i=0}^k p_i \quad (10.3-4)$$

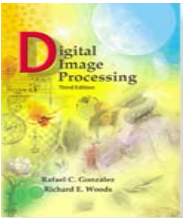
$$m(k) = \sum_{i=0}^k i p_i \quad (10.3-8)$$

$$m_G = \sum_{i=0}^{L-1} i p_i \quad (10.3-9)$$

$$\eta(k) = \frac{\sigma_B^2(k)}{\sigma_G^2} \quad (10.3-16)$$

$$\sigma_B^2(k) = \frac{[m_G P_1(k) - m(k)]^2}{P_1(k)[1 - P_1(k)]} \quad (10.3-17)$$





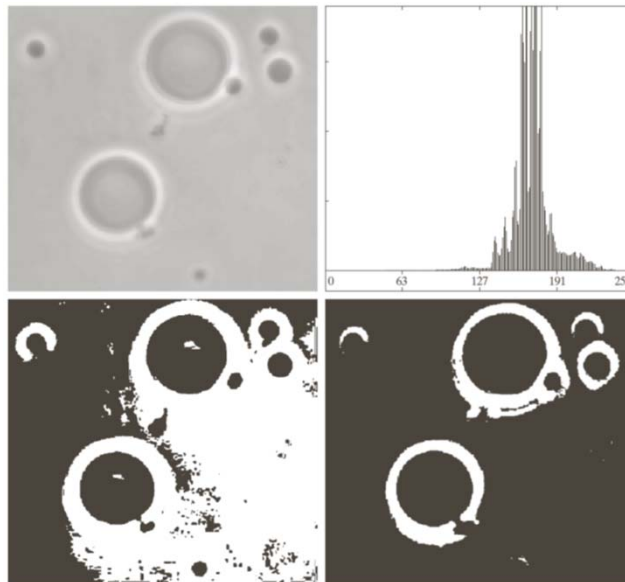
Digital Image Processing, 3rd ed.

Gonzalez & Woods

www.ImageProcessingPlace.com

Chapter 10

Image Segmentation



a b
c d

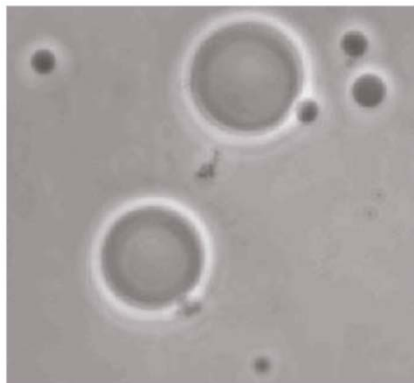
FIGURE 10.39
(a) Original image.
(b) Histogram (high peaks were clipped to highlight details in the lower values).
(c) Segmentation result using the basic global algorithm from Section 10.3.2.
(d) Result obtained using Otsu's method.
(Original image courtesy of Professor Daniel A. Hammer, the University of Pennsylvania.)

آستانه‌گیری

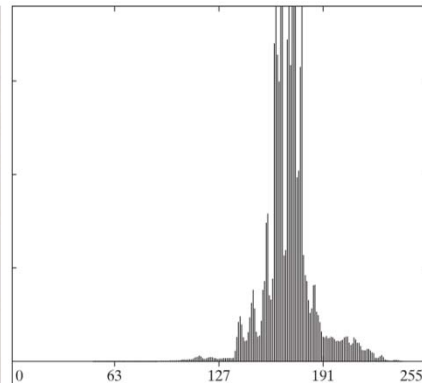
آستانه‌گیری سراسری بهینه: با روش اوتسو: مثال

OPTIMAL GLOBAL THRESHOLDING USING OTSU'S METHOD

(۱)
تصویر اصلی



(۲)
هیستوگرام
(قله‌های با مقادیر بالا برش
داده شده‌اند تا جزئیات
مقادیر کوچکتر بهتر دیده
شوند.)

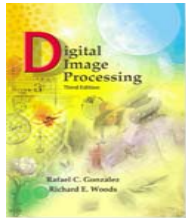


(۳)
بخشندی با الگوریتم
آستانه‌گیری سراسری پایه



(۴)
بخشندی با الگوریتم
آستانه‌گیری سراسری بهینه
اوتسو





Digital Image Processing, 3rd ed.

Gonzalez & Woods

www.ImageProcessingPlace.com

Chapter 10

Image Segmentation

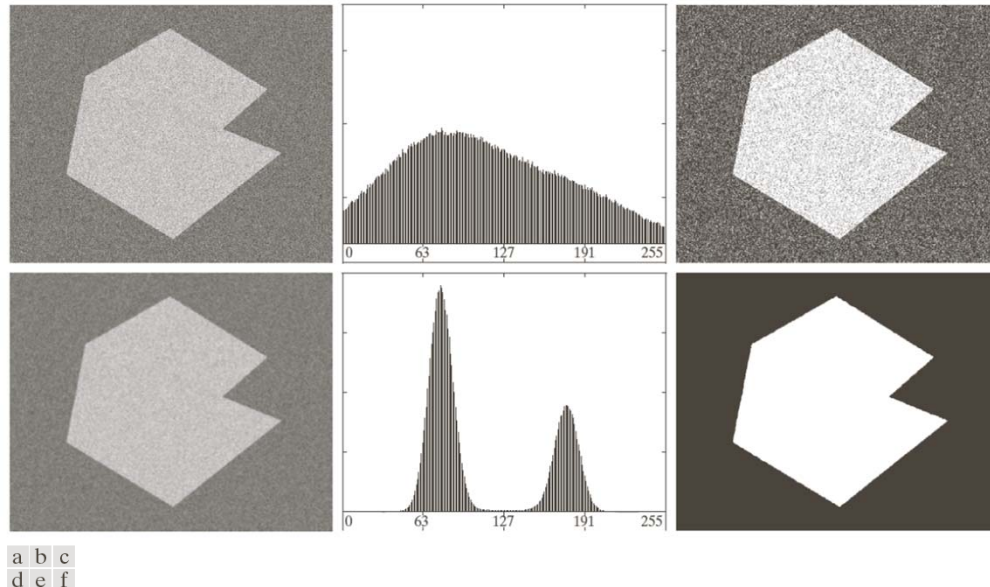
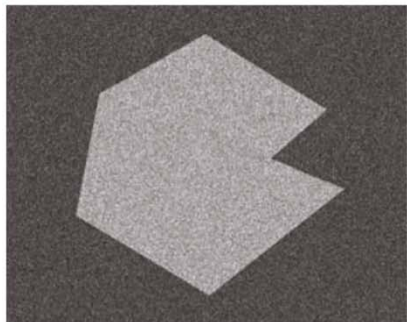


FIGURE 10.40 (a) Noisy image from Fig. 10.36 and (b) its histogram. (c) Result obtained using Otsu's method. (d) Noisy image smoothed using a 5×5 averaging mask and (e) its histogram. (f) Result of thresholding using Otsu's method.

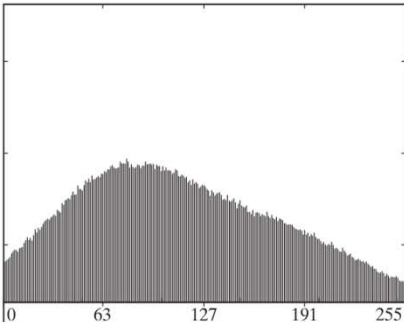
آستانه‌گيري

استفاده از هموارسازی تصویر برای بهبود آستانه‌گيري سراسری: مثال

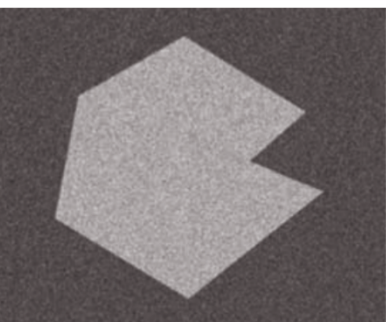
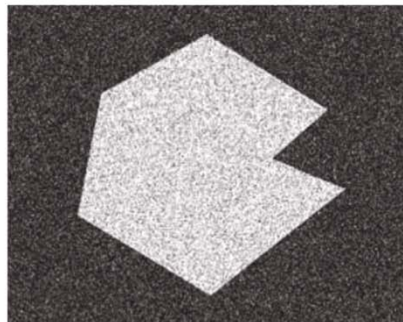
(۱)
تصویر دارای نویز



(۲)
هیستوگرام تصویر (۱)

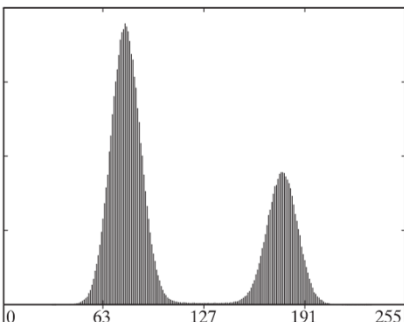


(۳)
نتیجه‌ی حاصل از روش اوتسو

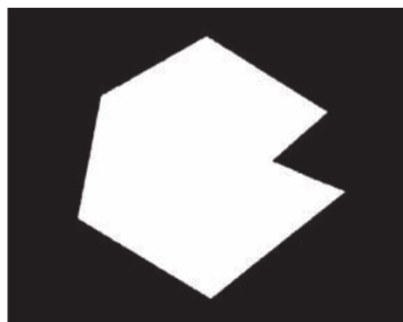


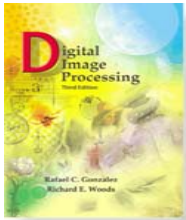
(۴)
تصویر نویزی فیلتر شده با یک ماسک
متوسطگيري ۵ در ۵

(۵)
هیستوگرام تصویر (۴)



(۶)
نتیجه‌ی حاصل از آستانه‌گيري
با روش اوتسو





Digital Image Processing, 3rd ed.

Gonzalez & Woods

www.ImageProcessingPlace.com

Chapter 10

Image Segmentation

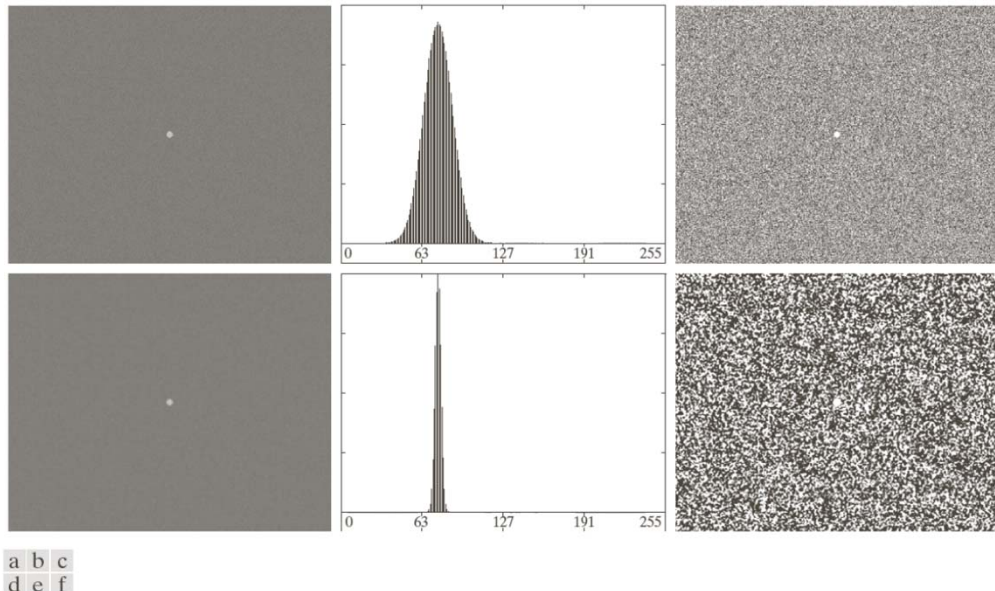


FIGURE 10.41 (a) Noisy image and (b) its histogram. (c) Result obtained using Otsu's method. (d) Noisy image smoothed using a 5×5 averaging mask and (e) its histogram. (f) Result of thresholding using Otsu's method. Thresholding failed in both cases.

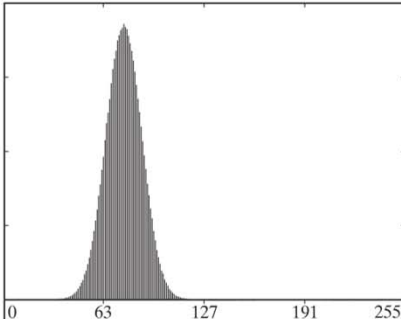
آستانه‌گيري

استفاده از هموارسازی تصویر برای بهبود آستانه‌گيري سراسری: مثال

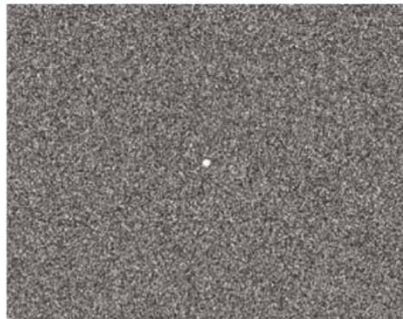
(۱) تصویر دارای نویز
(ناحیه کوچک نسبت به پس زمینه)



(۲)
هیستوگرام تصویر (۱) [دره ندارد]

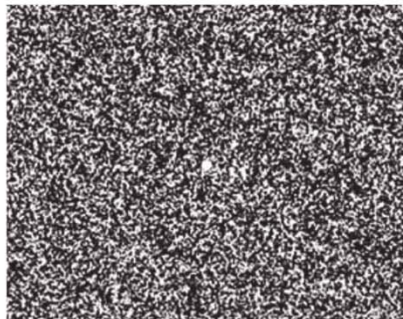
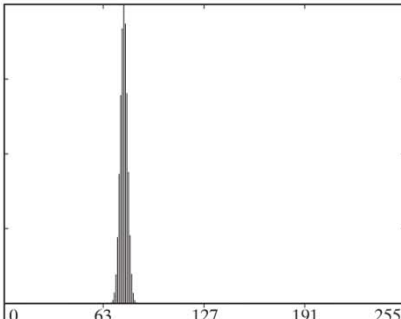


(۳)
نتیجه‌ی حاصل از روش اوتسو



(۴)
تصویر نویزی فیلتر شده با یک ماسک
متوسط گيري ۵ در ۵

(۵)
هیستوگرام تصویر (۴)

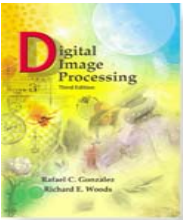


(۶)
نتیجه‌ی حاصل از آستانه‌گيري با روش اوتسو
آستانه‌گيري در هر دو مورد ناموفق است.

آستانه‌گیری

استفاده از لبه‌ها برای بهبود آستانه‌گیری سراسری

1. Compute an edge image as either the magnitude of the gradient, or absolute value of the Laplacian, of $f(x, y)$ using any of the methods discussed in Section 10.2.
2. Specify a threshold value, T .
3. Threshold the image from Step 1 using the threshold from Step 2 to produce a binary image, $g_T(x, y)$. This image is used as a *mask image* in the following step to select pixels from $f(x, y)$ corresponding to “strong” edge pixels.
4. Compute a histogram using only the pixels in $f(x, y)$ that correspond to the locations of the 1-valued pixels in $g_T(x, y)$.
5. Use the histogram from Step 4 to segment $f(x, y)$ globally using, for example, Otsu’s method.



Digital Image Processing, 3rd ed.

Gonzalez & Woods

www.ImageProcessingPlace.com

Chapter 10

Image Segmentation

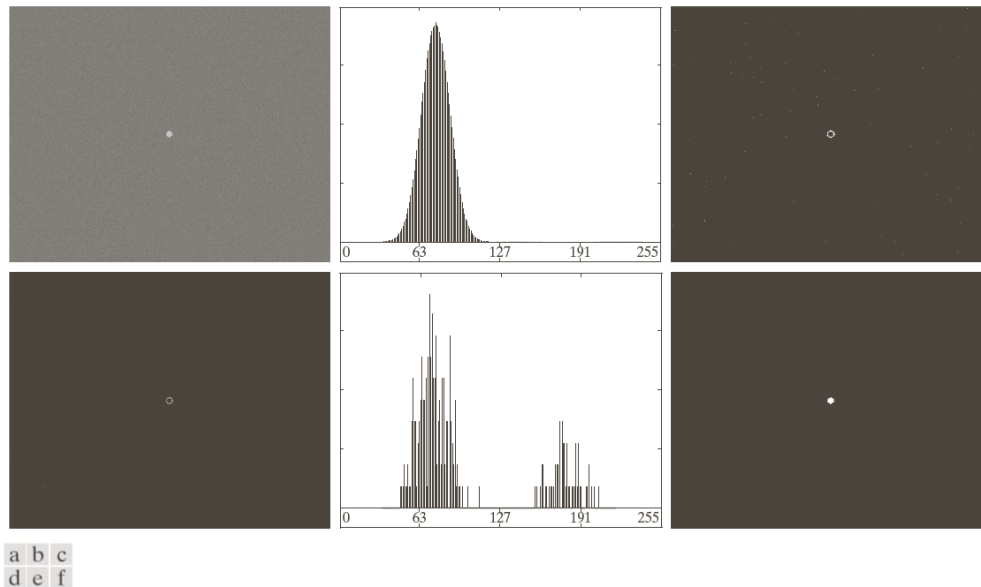


FIGURE 10.42 (a) Noisy image from Fig. 10.41(a) and (b) its histogram. (c) Gradient magnitude image thresholded at the 99.7 percentile. (d) Image formed as the product of (a) and (c). (e) Histogram of the nonzero pixels in the image in (d). (f) Result of segmenting image (a) with the Otsu threshold based on the histogram in (e). The threshold was 134, which is approximately midway between the peaks in this histogram.

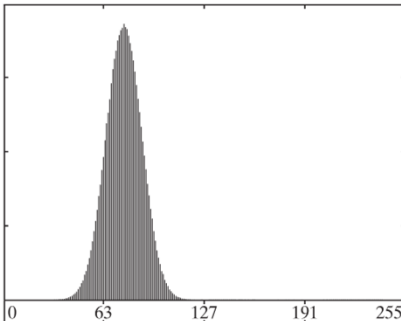
آستانه‌گيري

استفاده از لبه‌ها برای بهبود آستانه‌گيري سراسری: مثال (لبه بر مبنای گراديان)

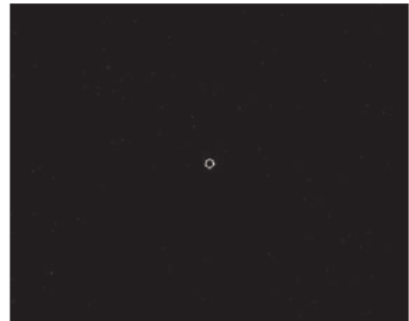
(۱) تصویر دارای نویز
(ناحیه کوچک نسبت به پس زمینه)



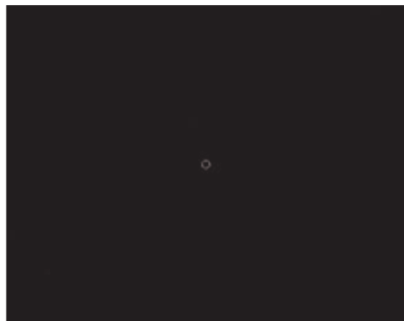
(۲)
هیستوگرام تصویر (۱) [درجه ندارد]



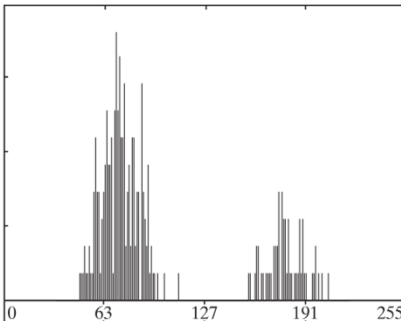
(۳)
تصویر اندازه‌گران با آستانه‌ی 99.7%



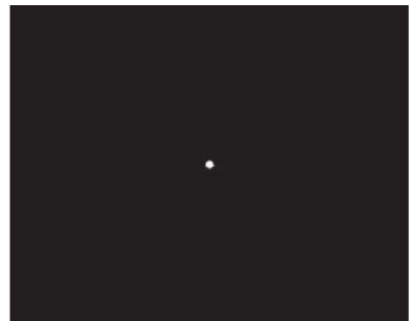
(۴)
تصویر حاصل از ضرب (۱) و (۳)

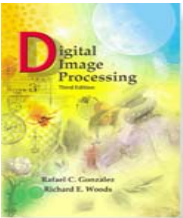


(۵)
هیستوگرام پیکسل‌های غیرصفر
تصویر (۴)



(۶)
نتیجه‌ی حاصل از آستانه‌گيري با روش اوتسو
آستانه ۱۳۴ است تقریباً وسط دو قله





Digital Image Processing, 3rd ed.

Gonzalez & Woods

www.ImageProcessingPlace.com

Chapter 10

Image Segmentation

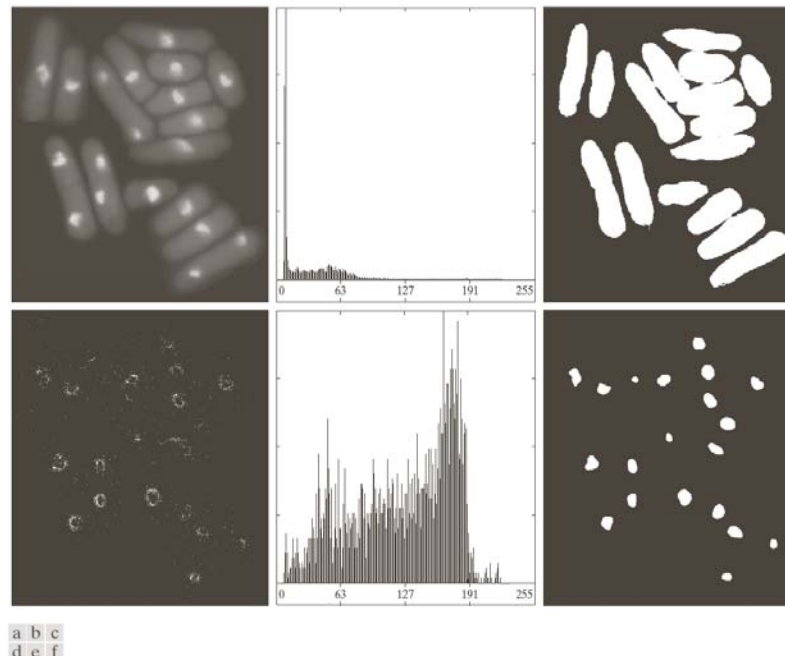


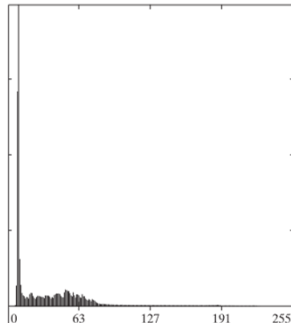
FIGURE 10.43 (a) Image of yeast cells. (b) Histogram of (a). (c) Segmentation of (a) with Otsu's method using the histogram in (b). (d) Thresholded absolute Laplacian. (e) Histogram of the nonzero pixels in the product of (a) and (d). (f) Original image thresholded using Otsu's method based on the histogram in (e). (Original image courtesy of Professor Susan L. Forsburg, University of Southern California.)

آستانه‌گیری

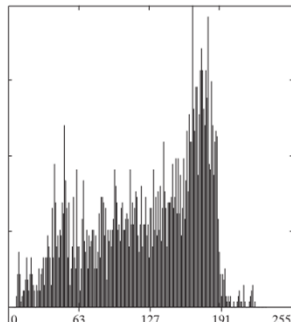
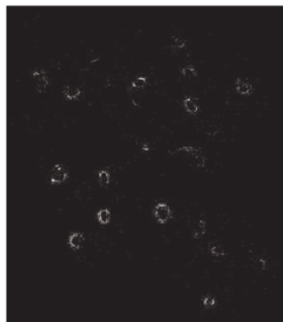
استفاده از لبه‌ها برای بهبود آستانه‌گیری سراسری: مثال (لبه بر مبنای لاپلاسین)

(۱) هیستوگرام تصویر
(۲) بخش‌بندی (۱) با
استفاده از هیستوگرام
(۲) در روش اوتسو

(۱)
تصویر
سلول‌های مخمر

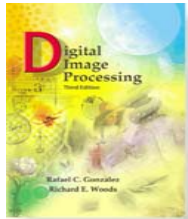


(۴)
تصویر قدر مطلق
لاپلاسین آستانه‌گیری
شده



(۶)
تصویر اصلی
پس از آستانه‌گیری با
روش اوتسو با
استفاده از هیستوگرام
(۵)
آستانه‌ی قدر مطلق
لاپلاسین: ۱۱۵

هیستوگرام پیکسل‌های غیرصفرا
حاصل ضرب (۱) و (۴)



Digital Image Processing, 3rd ed.

Gonzalez & Woods

www.ImageProcessingPlace.com

Chapter 10

Image Segmentation



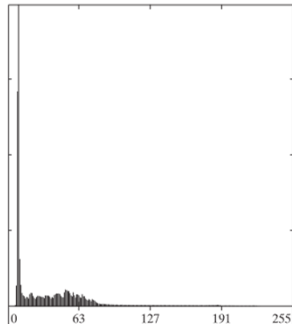
FIGURE 10.44
Image in
Fig. 10.43(a)
segmented using
the same
procedure as
explained in
Figs. 10.43(d)–(f),
but using a lower
value to threshold
the absolute
Laplacian image.

آستانه‌گیری

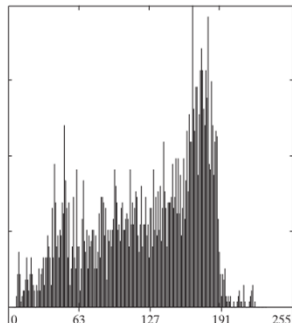
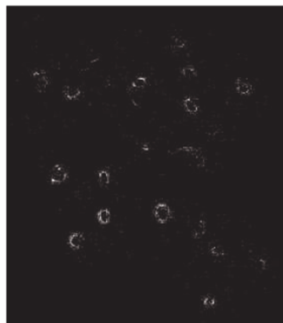
استفاده از لبه‌ها برای بهبود آستانه‌گیری سراسری: مثال (لبه بر مبنای لاپلاسین)

(۱) هیستوگرام تصویر
(۲) بخش‌بندی (۱) با استفاده از هیستوگرام در روش اوتسو

(۱) تصویر سلول‌های مخمر



(۴) تصویر قدر مطلق لاپلاسین آستانه‌گیری شده



(۶) تصویر اصلی پس از آستانه‌گیری با روش اوتسو با استفاده از هیستوگرام (۵) آستانه‌ی قدر مطلق لاپلاسین: ۵۵

آستانه‌گيري

آستانه‌های چندگانه

MULTIPLE THRESHOLDS

$$\sigma_B^2 = \sum_{k=1}^K P_k (m_k - m_G)^2$$

$$P_k = \sum_{i \in C_k} p_i$$

$$m_k = \frac{1}{P_k} \sum_{i \in C_k} i p_i$$

$$\sigma_B^2(k_1^*, k_2^*, \dots, k_{K-1}^*) = \max_{0 < k_1 < k_2 < \dots < k_{n-1} < L-1} \sigma_B^2(k_1, k_2, \dots, k_{K-1})$$

تعميم روش اوتسو

آستانه‌گیری

آستانه‌های چندگانه: حالت ۲ آستانه

MULTIPLE THRESHOLDS

$$\sigma_B^2 = P_1(m_1 - m_G)^2 + P_2(m_2 - m_G)^2 + P_3(m_3 - m_G)^2$$

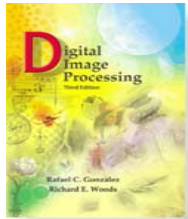
$$\begin{aligned}
 P_1 &= \sum_{i=0}^{k_1} p_i & m_1 &= \frac{1}{P_1} \sum_{i=0}^{k_1} i p_i & P_1 m_1 + P_2 m_2 + P_3 m_3 &= m_G \\
 P_2 &= \sum_{i=k_1+1}^{k_2} p_i & m_2 &= \frac{1}{P_2} \sum_{i=k_1+1}^{k_2} i p_i & P_1 + P_2 + P_3 &= 1 \\
 P_3 &= \sum_{i=k_2+1}^{L-1} p_i & m_3 &= \frac{1}{P_3} \sum_{i=k_2+1}^{L-1} i p_i
 \end{aligned}$$

$$\sigma_B^2(k_1^*, k_2^*) = \max_{0 < k_1 < k_2 < L-1} \sigma_B^2(k_1, k_2)$$

$$g(x, y) = \begin{cases} a & \text{if } f(x, y) \leq k_1^* \\ b & \text{if } k_1^* < f(x, y) \leq k_2^* \\ c & \text{if } f(x, y) > k_2^* \end{cases}$$

$$\eta(k_1^*, k_2^*) = \frac{\sigma_B^2(k_1^*, k_2^*)}{\sigma_G^2}$$

معیار جداسازی



Digital Image Processing, 3rd ed.

Gonzalez & Woods

www.ImageProcessingPlace.com

Chapter 10

Image Segmentation

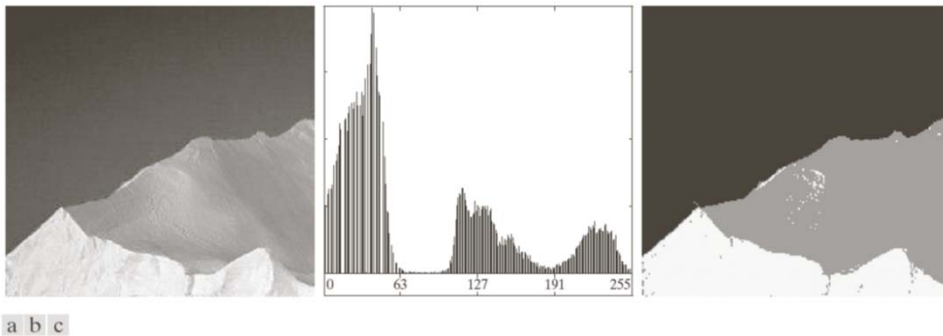


FIGURE 10.45 (a) Image of iceberg. (b) Histogram. (c) Image segmented into three regions using dual Otsu thresholds. (Original image courtesy of NOAA.)

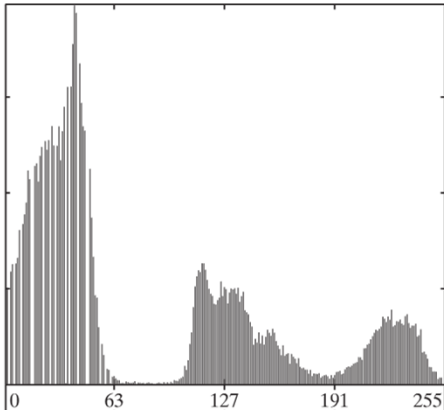
آستانه‌گيري

آستانه‌های چندگانه: مثال

MULTIPLE THRESHOLDS



(۱)
تصویر کوه یخی



(۲)
هیستوگرام تصویر (۱)



(۳)
تصویر تقطیع شده به سه ناحیه با استفاده از
ناحیه‌های دوگانه (تممیم روش اوتسو)

آستانه‌گیری

آستانه‌گیری متغیر

VARIABLE THRESHOLDING

آستانه‌گیری متغیر تکنیک پیچیده‌تری است که هرگاه پیش‌پردازش‌های قبلی ممکن نباشد، استفاده می‌شود.

روش‌های آستانه‌گیری متغیر

افراز تصویر

Image Partitioning

استفاده از خصوصیات محلی تصویر

Using Local Image Properties

استفاده از میانگین‌های متحرک

Using Moving Averages

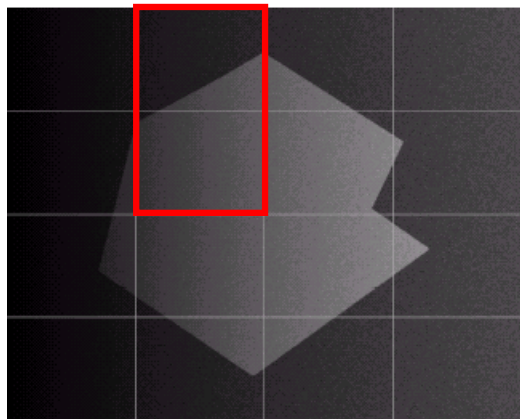
آستانه‌گیری

آستانه‌گیری متغیر: افزار تصویر

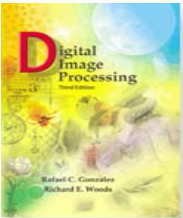
VARIABLE THRESHOLDING: IMAGE PARTITIONING

افزار تصویر: تقسیم تصویر به مستطیل‌های ناهمپوشان:
با هدف جبران‌سازی غیریکنواختی شدن روشنایی / بارتاب تصویر

(مستطیل‌ها آن قدر کوچک انتخاب می‌شوند که شدت روشنایی در هر مستطیل تقریباً یکنواخت باشد.)



این روش زمانی خوب کار می‌کند که اندازه‌ی اشیا و پس‌زمینه قابل توجه باشد.



Chapter 10

Image Segmentation

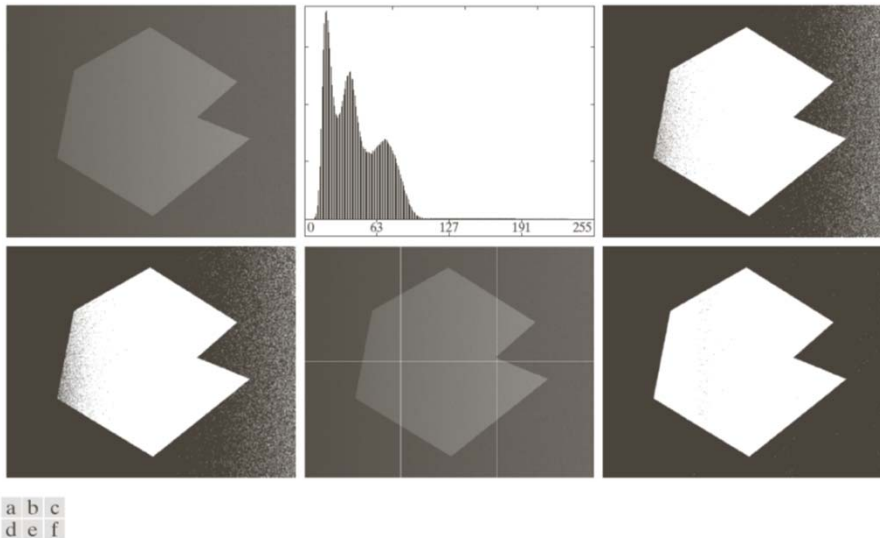


FIGURE 10.46 (a) Noisy, shaded image and (b) its histogram. (c) Segmentation of (a) using the iterative global algorithm from Section 10.3.2. (d) Result obtained using Otsu's method. (e) Image subdivided into six subimages. (f) Result of applying Otsu's method to each subimage individually.

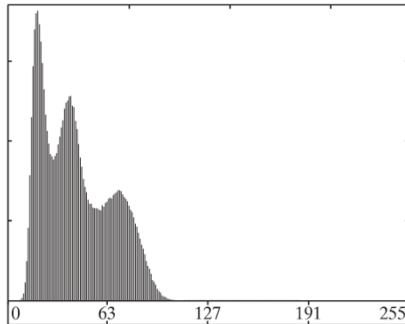
آستانه‌گیری

آستانه‌گیری متغیر: افزار تصویر: مثال

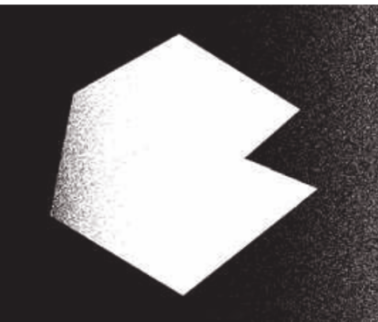
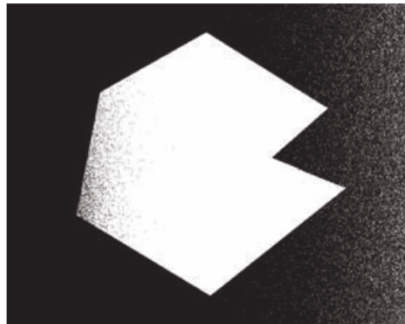
(۱) تصویر سایه‌دار نویزی



(۲) هیستوگرام تصویر (۱)



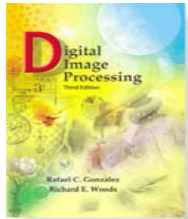
(۳) بخش‌بندی با استفاده از الگوریتم سراسری پایه



(۴) بخش‌بندی با استفاده از الگوریتم بهینه‌ی اوتسو

(۵) افزار تصویر با تقسیم‌بندی آن به ۶ زیرتصویر

(۶) نتیجه‌ی اعمال روش اوتسو به هر یک از زیرتصویرها به صورت جداگانه



Digital Image Processing, 3rd ed.

Gonzalez & Woods

www.ImageProcessingPlace.com

Chapter 10

Image Segmentation

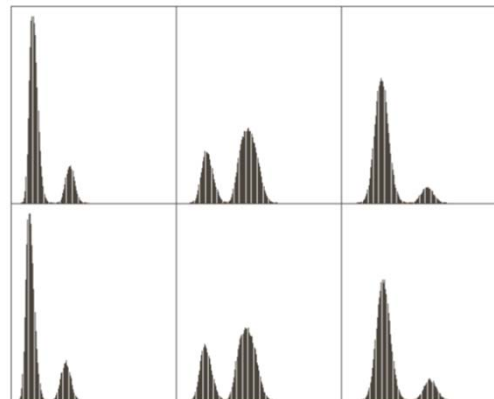
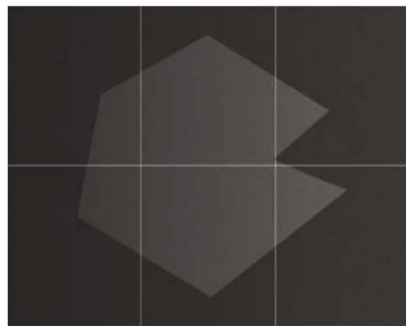


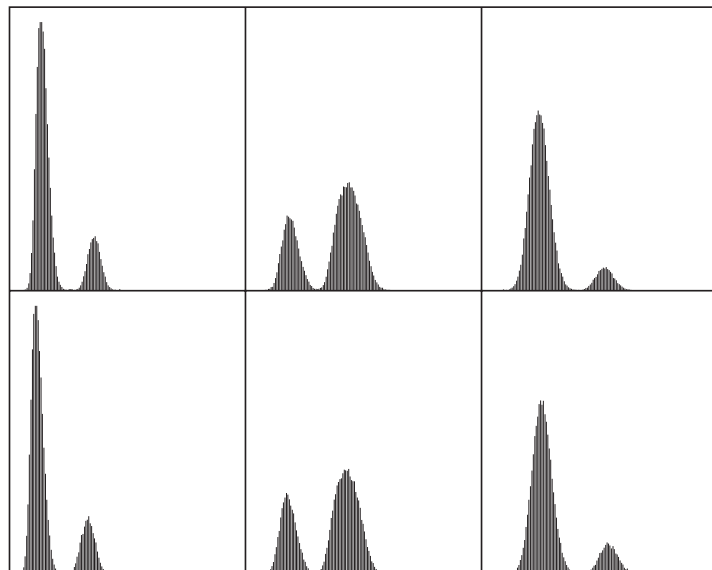
FIGURE 10.47
Histograms of the
six subimages in
Fig. 10.46(e).

آستانه‌گيري

آستانه‌گيري متغير: افزار تصویر: مثال



افزار تصویر با تقسیم‌بندی آن به
زیرتصویر



هیستوگرام‌های زیرتصویرها

آستانه‌گیری

آستانه‌گیری متغیر: استفاده از خصوصیات محلی تصویر

VARIABLE THRESHOLDING: USING LOCAL IMAGE PROPERTIES

در هر نقطه‌ی تصویر (x,y) یک آستانه‌ی متفاوت محاسبه می‌کنیم:
بر اساس یک یا چند ویژگی خاص که در همسایگی آن نقطه محاسبه می‌شود.

بر اساس انحراف معیار محلی و میانگین محلی

$$T_{xy} = a\sigma_{xy} + bm_{xy}$$

بر اساس انحراف معیار محلی و میانگین سراسری

$$T_{xy} = a\sigma_{xy} + bm_G$$

تصویر بخش‌بندی شده به صورت زیر محاسبه می‌شود:

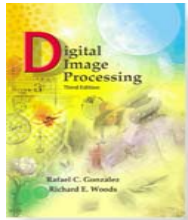
$$g(x, y) = \begin{cases} 1 & \text{if } f(x, y) > T_{xy} \\ 0 & \text{if } f(x, y) \leq T_{xy} \end{cases}$$

حالت کلی‌تر با استفاده از محمول Q

$$g(x, y) = \begin{cases} 1 & \text{if } Q(\text{local parameters}) \text{ is true} \\ 0 & \text{if } Q(\text{local parameters}) \text{ is false} \end{cases}$$

برای مثال:

$$Q(\sigma_{xy}, m_{xy}) = \begin{cases} \text{true} & \text{if } f(x, y) > a\sigma_{xy} \text{ AND } f(x, y) > bm_{xy} \\ \text{false} & \text{otherwise} \end{cases}$$



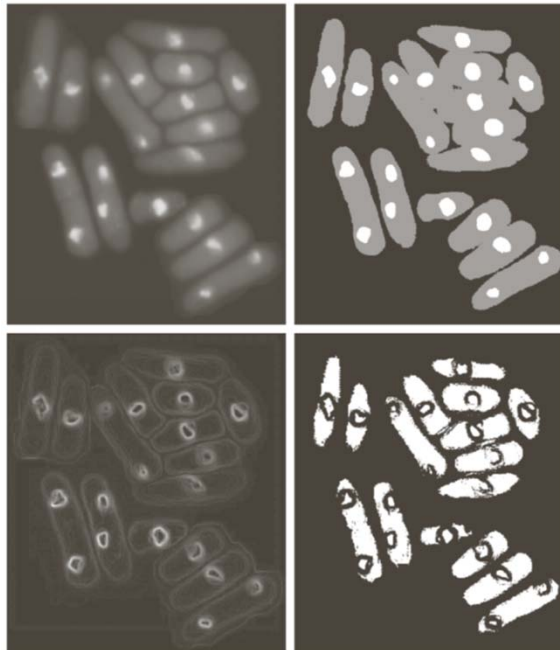
Digital Image Processing, 3rd ed.

Gonzalez & Woods

www.ImageProcessingPlace.com

Chapter 10

Image Segmentation



a b
c d

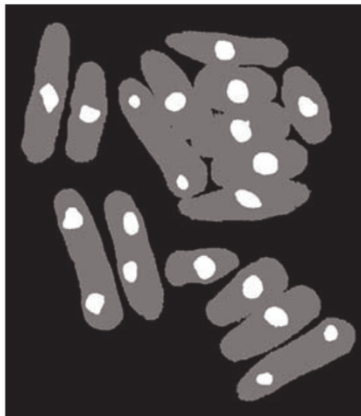
FIGURE 10.48
(a) Image from Fig. 10.43.
(b) Image segmented using the dual thresholding approach discussed in Section 10.3.6.
(c) Image of local standard deviations.
(d) Result obtained using local thresholding.

آستانه‌گيري

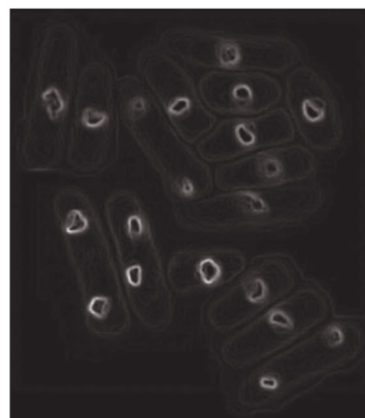
آستانه‌گيري متغير: استفاده از خصوصيات محلی تصویر: مثال



(۱)
تصویر
سلول‌های مخمر



(۲)
بخشندی (۱) با استفاده از
روش دوآستانه‌ای



(۳)
تصویر
انحراف‌معیارهای محلی
در همسایگی ۳ در ۳

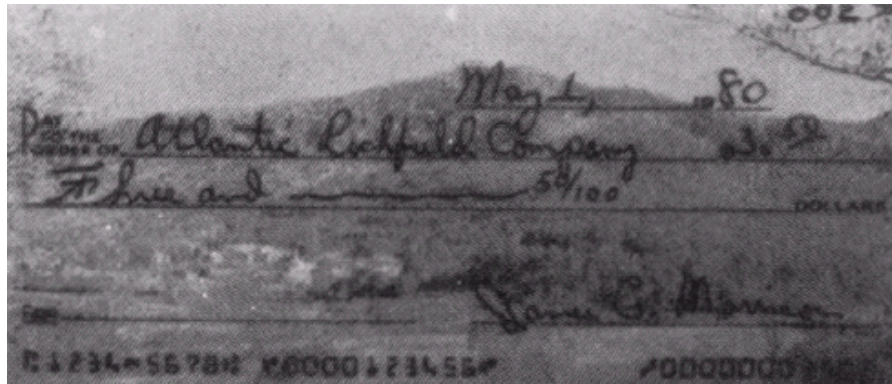


(۴)
نتیجه‌ی حاصل از
آستانه‌گيري محلی

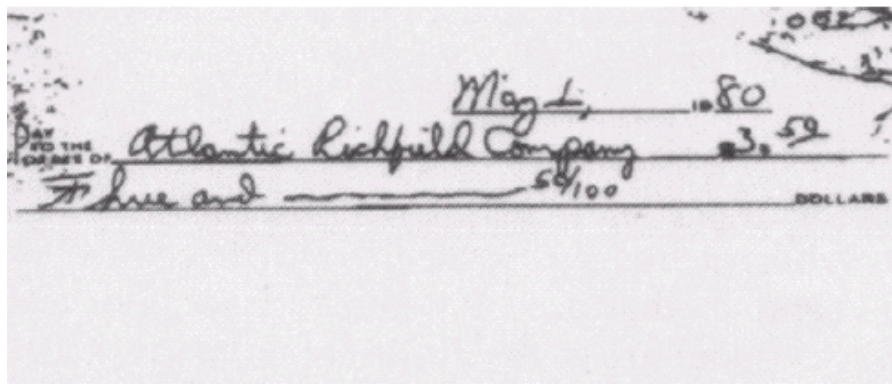
آستانه‌گیری

آستانه‌گیری متغیر: استفاده از خصوصیات محلی تصویر: مثال

(۱)
تصویر برگ چک



(۲)
بخش‌بندی
با آستانه‌گیری
محلي



آستانه‌گیری

آستانه‌گیری متغیر: استفاده از میانگین‌های متحرک

VARIABLE THRESHOLDING: USING MOVING AVERAGES

یک حالت خاص روش آستانه‌گیری محلی،
بر اساس محاسبه‌ی میانگین‌های متحرک در طول خطوط اسکن (scan-lines) تصویر است.

معمولًاً اسکن تصویر به صورت خط به خط و زیگزاگ انجام می‌شود،
در نتیجه با ایاس شدت روشنایی کاهش می‌یابد.

اگر Z_{k+1} شدت روشنایی نقطه‌ای باشد که اسکن در گام $k + 1$ با آن برخورد می‌کند،
میانگین شدت روشنایی در آن نقطه می‌شود (n تعداد نقاط مورد استفاده در میانگین است):

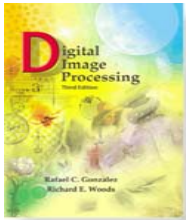
$$m(k + 1) = \frac{1}{n} \sum_{i=k+2-n}^{k+1} z_i = m(k) + \frac{1}{n}(z_{k+1} - z_{k-n})$$

$$m(1) = z_1/n$$

بخش‌بندی با استفاده از معادله‌ی زیر با $T_{xy} = bm_{xy} = m$ انجام می‌شود که در آن b عدد ثابت و m_{xy} است:

$$g(x, y) = \begin{cases} 1 & \text{if } f(x, y) > T_{xy} \\ 0 & \text{if } f(x, y) \leq T_{xy} \end{cases}$$

این روش مناسب پردازش تصویر متن است: (اهمیت سرعت بالا)



Digital Image Processing, 3rd ed.

Gonzalez & Woods

www.ImageProcessingPlace.com

Chapter 10

Image Segmentation

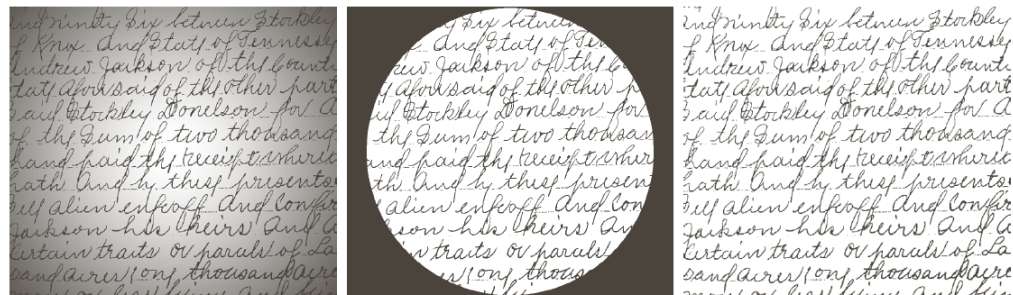
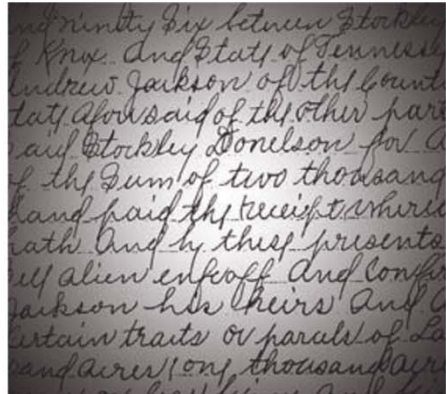


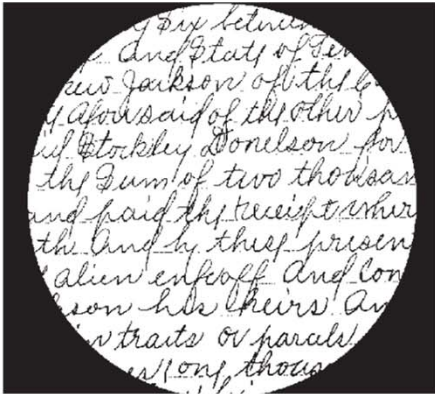
FIGURE 10.49 (a) Text image corrupted by spot shading. (b) Result of global thresholding using Otsu's method. (c) Result of local thresholding using moving averages.

آستانه‌گیری

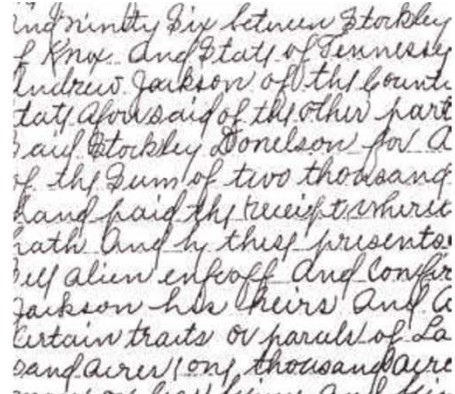
آستانه‌گیری متغیر: استفاده از میانگین‌های متحرک: مثال (آستانه‌گیری برای سند با استفاده از میانگین‌های متحرک)



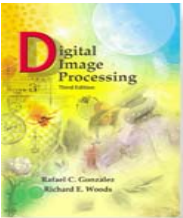
(۱)
تصویر متن تخریب شده
با سایه‌گذاری نقطه‌ای



(۲)
نتیجه‌ی آستانه‌گذاری سراسری
با استفاده از روش اوتسو



(۳)
نتیجه‌ی آستانه‌گذاری محلی
با استفاده از میانگین‌های متحرک



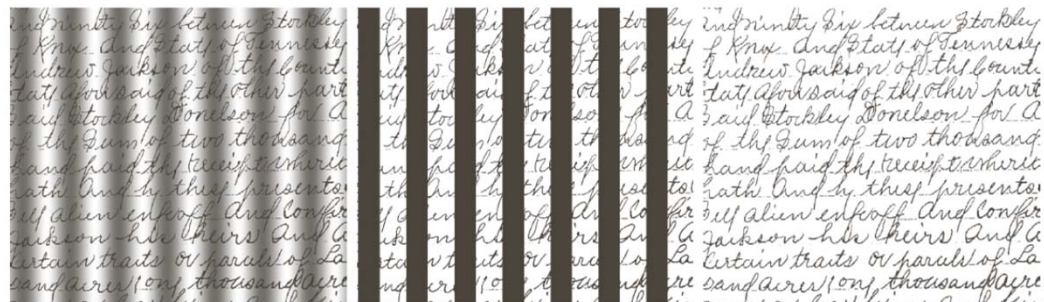
Digital Image Processing, 3rd ed.

Gonzalez & Woods

www.ImageProcessingPlace.com

Chapter 10

Image Segmentation



a b c

FIGURE 10.50 (a) Text image corrupted by sinusoidal shading. (b) Result of global thresholding using Otsu's method. (c) Result of local thresholding using moving averages.

آستانه‌گیری

آستانه‌گیری متغیر: استفاده از میانگین‌های متحرک: مثال (آستانه‌گیری برای سند با استفاده از میانگین‌های متحرک)

Indivinty Six between Stockley
of Knox. And State of Tennessee
Andrew Jackson off. th. County
but above said of the other part
and Stockley Donelson for A
of the sum of two thousand
and paid the receipt where
rath and by these presents
by alien enkoff and confir
Jackson his heirs and a
certain traits or parall of La
sand acver long thousand acre

Indivinty Six between Stockley
of Knox. And State of Tennessee
Andrew Jackson off. th. County
but above said of the other part
and Stockley Donelson for A
of the sum of two thousand
and paid the receipt where
rath and by these presents
by alien enkoff and confir
Jackson his heirs and a
certain traits or parall of La
sand acver long thousand acre

Indivinty Six between Stockley
of Knox. And State of Tennessee
Andrew Jackson off. th. County
but above said of the other part
and Stockley Donelson for A
of the sum of two thousand
and paid the receipt where
rath and by these presents
by alien enkoff and confir
Jackson his heirs and a
certain traits or parall of La
sand acver long thousand acre

(۱)
تصویر متن تخریب شده
با سایه‌گذاری سینوسی

(۲)
نتیجه‌ی آستانه‌گذاری سراسری
با استفاده از روش اوتسو

(۳)
نتیجه‌ی آستانه‌گذاری محلی
با استفاده از میانگین‌های متحرک

آستانه‌گيري

آستانه‌گيري و فقى سراسری بهينه

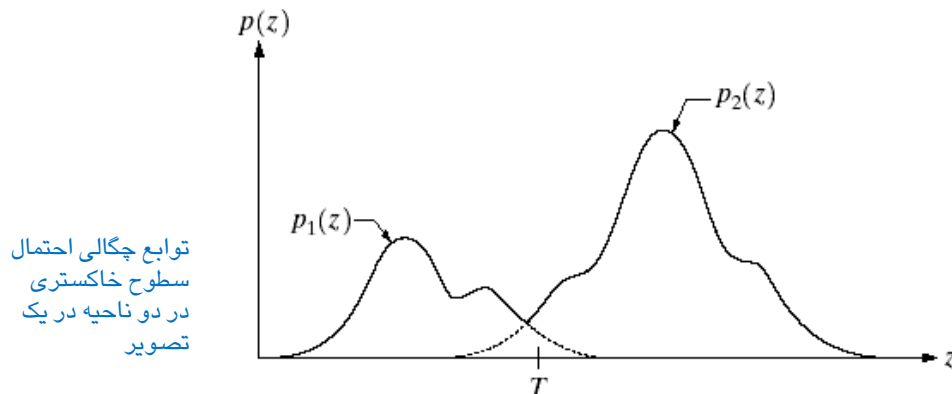
THRESHOLDING: OPTIMAL GLOBAL AND ADAPTIVE THRESHOLDING

در آستانه‌گيري و فقى، با مقادير پيكسل‌ها به عنوان **توابع توزيع احتمال** برخورد می‌شود.

هدف: **می‌نیمسازی احتمال پيكسل‌های به اشتباه طبقه‌بندی شده** (شیء یا پس‌زمینه) است.

دو نوع خطا:

- (۱) برچسبزنی اشتباه به پيكسل شیء به عنوان پس‌زمینه
- (۲) برچسبزنی اشتباه به پيكسل پس‌زمینه به عنوان شیء



آستانه‌گيري

آستانه‌گيري چندمتغيره

MULTIVARIABLE THRESHOLDING

آستانه‌گيري چندمتغيره زمانی استفاده می‌شود که تصویر چند کانال دارد (مانند تصویر رنگی)

هر نقطه‌ی تصویر به صورت یک بردار k عضوی نمایش داده می‌شود.

برای مثال:

$$g = \begin{cases} 1 & \text{if } D(\mathbf{z}, \mathbf{a}) < T \\ 0 & \text{otherwise} \end{cases}$$

$$D(\mathbf{z}, \mathbf{a}) = \|\mathbf{z} - \mathbf{a}\| = \left[(\mathbf{z} - \mathbf{a})^T (\mathbf{z} - \mathbf{a}) \right]^{\frac{1}{2}}$$

$$D(\mathbf{z}, \mathbf{a}) = \left[(\mathbf{z} - \mathbf{a})^T \mathbf{C}^{-1} (\mathbf{z} - \mathbf{a}) \right]^{\frac{1}{2}}$$

آستانه‌گيري

آستانه‌گيري چندمتغيره: مثال (بخش‌بندی تصویر رنگی)

MULTIVARIABLE THRESHOLDING



(۱)
تصویر چهره‌ی رنگی
که به صورت سیاه و سفید
نشان داده شده است.



(۲)
بخش‌بندی بر اساس
پیکسل‌های با رنگ
نزدیک به رنگ چهره



(۳)
بخش‌بندی مؤلفه‌های قرمز

بخش بندی تصویر

۴

بخش بندی مبتنی بر ناحیه

بخش‌بندی مبتنی بر ناحیه

REGION-BASED SEGMENTATION

لبه‌ها و آستانه‌ها همیشه نتایج مناسبی برای بخش‌بندی تولید نمی‌کنند.

بخش‌بندی مبتنی بر ناحیه، بر اساس **اتصال پیکسل‌های مشابه در یک ناحیه** کار می‌کند.

- هر ناحیه باید یکنواخت باشد.
- اتصال پیکسل‌های داخل ناحیه بسیار مهم است.

دو رویکرد اصلی برای بخش‌بندی مبتنی بر ناحیه

شکافت ناحیه

Region Splitting

نمو ناحیه

Region Growing

بخش‌بندی مبتنی بر ناحیه

فرمول‌بندی پایه

REGION-BASED SEGMENTATION

فرض کنید R کل ناحیه‌ی مکانی اشغال شده توسط یک تصویر را نشان دهد.
بخش‌بندی تصویر، فرآیندی است که R را به n زیرناحیه‌ی

$$R_1, R_2, \dots, R_n,$$

افراز می‌کند، به‌طوری که:

- (a) $\bigcup_{i=1}^n R_i = R$.
- (b) R_i is a connected set, $i = 1, 2, \dots, n$.
- (c) $R_i \cap R_j = \emptyset$ for all i and j , $i \neq j$.
- (d) $Q(R_i) = \text{TRUE}$ for $i = 1, 2, \dots, n$.
- (e) $Q(R_i \cup R_j) = \text{FALSE}$ for any adjacent regions R_i and R_j .

$Q(R_k)$ is a logical predicate defined over the points in set R_k

برای مثال: اگر همه‌ی پیکسل‌های داخل R_k سطح خاکستری مشابه داشته باشد.

بخش‌بندی مبتنی بر ناحیه

نحو ناحیه

REGION GROWING

نحو ناحیه

Region Growing

پیکسل‌های گروه‌بندی شده یا زیرناحیه‌ها را
بر مبنای معیارهای از پیش تعریف شده برای نمو
به نواحی بزرگ‌تری گروه‌بندی می‌کند.

از مجموعه‌ای از نقاط با عنوان «دانه» (seed) شروع می‌کنیم
و آن را نمو می‌دهیم:
پیکسل‌هایی که ویژگی‌های مشابه معین با آن دانه دارند،
را به آن دانه الحاق می‌کنیم.

بخش‌بندی مبتنی بر ناحیه

نحو ناحیه

REGION GROWING

الگوریتم پایه‌ی نحو ناحیه: مبتنی بر همبندی-۸

آرایه‌ی تصویر ورودی

 $f(x, y)$

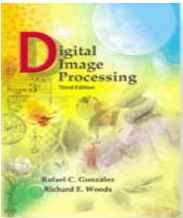
آرایه‌ی دانه (seed): در محل نقاط دانه ۱ و در بقیه‌ی جاها ۰ است (هم اندازه با f).

 $S(x, y)$

یک محمول که بر هر مکان (x, y) اعمال می‌شود (شرط منطقی).

 Q

1. Find all connected components in $S(x, y)$ and erode each connected component to one pixel; label all such pixels found as 1. All other pixels in S are labeled 0.
2. Form an image f_Q such that, at a pair of coordinates (x, y) , let $f_Q(x, y) = 1$ if the input image satisfies the given predicate, Q , at those coordinates; otherwise, let $f_Q(x, y) = 0$.
3. Let g be an image formed by appending to each seed point in S all the 1-valued points in f_Q that are 8-connected to that seed point.
4. Label each connected component in g with a different region label (e.g., 1, 2, 3, ...). This is the segmented image obtained by region growing.



Digital Image Processing, 3rd ed.

Gonzalez & Woods

www.ImageProcessingPlace.com

Chapter 10

Image Segmentation

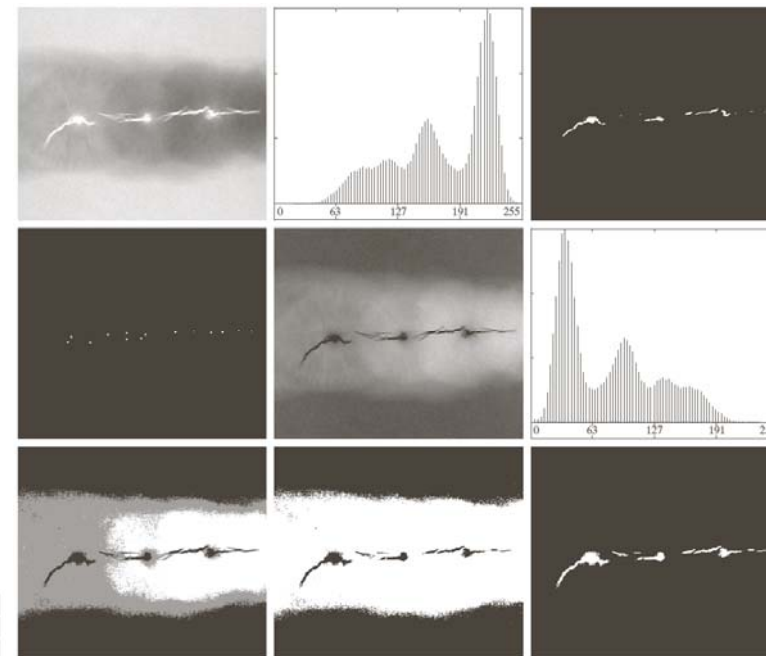


FIGURE 10.51 (a) X-ray image of a defective weld. (b) Histogram. (c) Initial seed image. (d) Final seed image (the points were enlarged for clarity). (e) Absolute value of the difference between (a) and (c). (f) Histogram of (e). (g) Difference image thresholded using dual thresholds. (h) Difference image thresholded with the smallest of the dual thresholds. (i) Segmentation result obtained by region growing. (Original image courtesy of X-TEK Systems, Ltd.)

بخش‌بندی مبتنی بر ناحیه

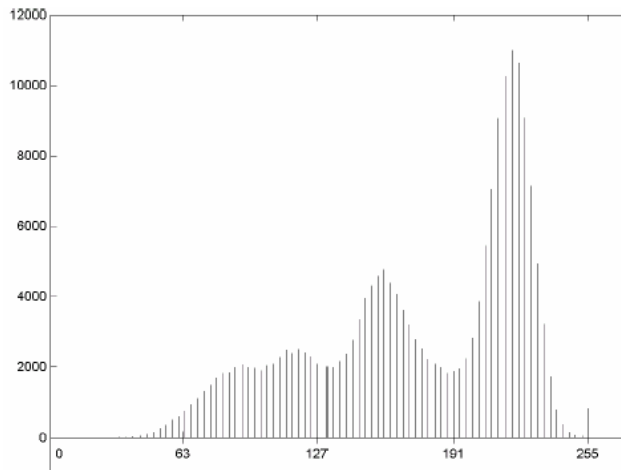
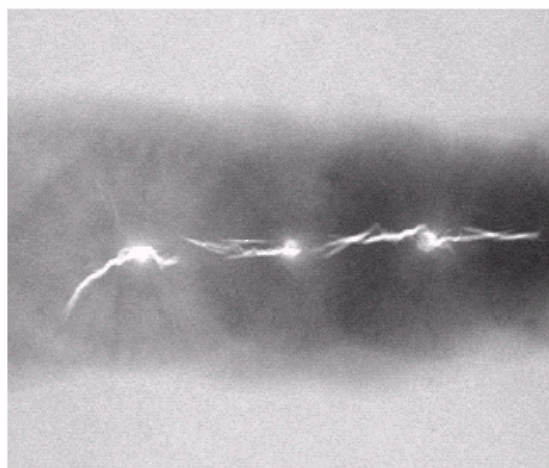
نمو ناحیه: مثال

REGION GROWING

همان طور که هیستوگرام تصویر نشان می‌دهد
بخش‌بندی عیب با روش‌های آستانه‌گیری دشوار است.



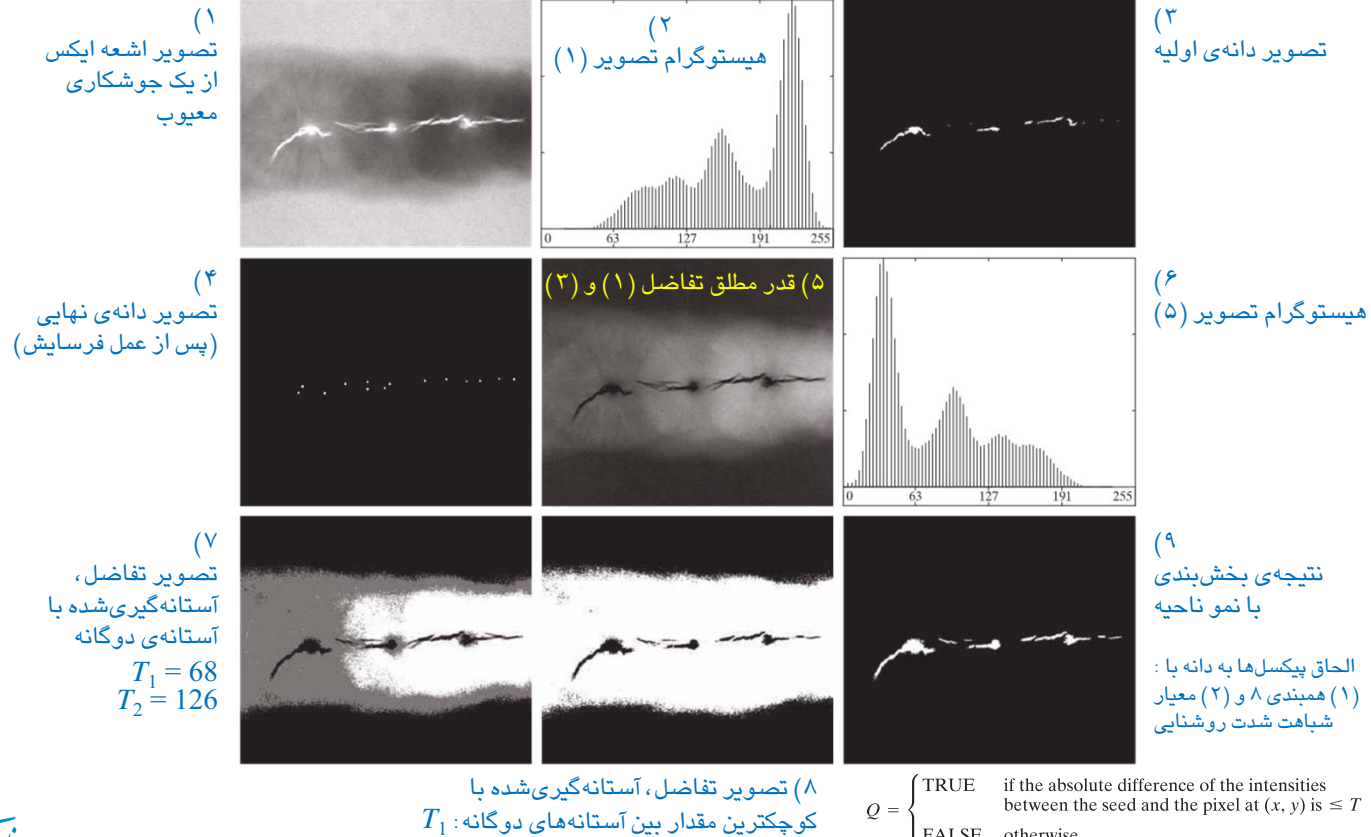
باید از روش‌های مبتنی بر ناحیه استفاده کنیم
(مثلًاً نمو ناحیه)



بخش‌بندی مبتنی بر ناحیه

نحو ناحیه: مثال

REGION GROWING



بخش‌بندی مبتنی بر ناحیه

شکافت ناحیه

REGION SPLITTING

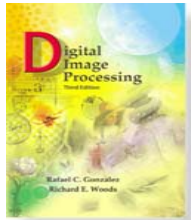
شکافت ناحیه

Region Splitting

شکافت ناحیه، برخلاف نمو ناحیه است:

- * در ابتدا یک ناحیه‌ی بزرگ داریم.
- * از یک محمول (معیار) برای تعیین یکنواختی آن ناحیه استفاده می‌کنیم.
- * اگر ناحیه یکنواخت نبود، از روش شکافت برای تقسیم آن ناحیه به چند زیرناحیه استفاده می‌کنیم.
- * هر یک از این زیرناحیه‌ها به طور مستقل با آن محمول (معیار) آزمایش می‌شوند.
- * این فرآیند به صورت بازگشتی تکرار می‌شود تا وقتی که همه‌ی ناحیه‌های حاصل یکنواخت شوند.

مسئله‌ی اصلی در شکافت ناحیه، تعیین وضعیتی است که یک ناحیه باید تقسیم شود:
یک روش برای تقسیم ناحیه استفاده از ساختار درخت چهارتایی است.



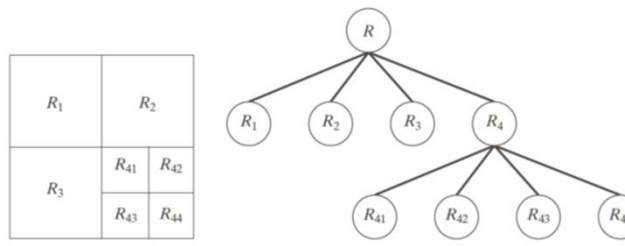
Digital Image Processing, 3rd ed.

Gonzalez & Woods

www.ImageProcessingPlace.com

Chapter 10

Image Segmentation



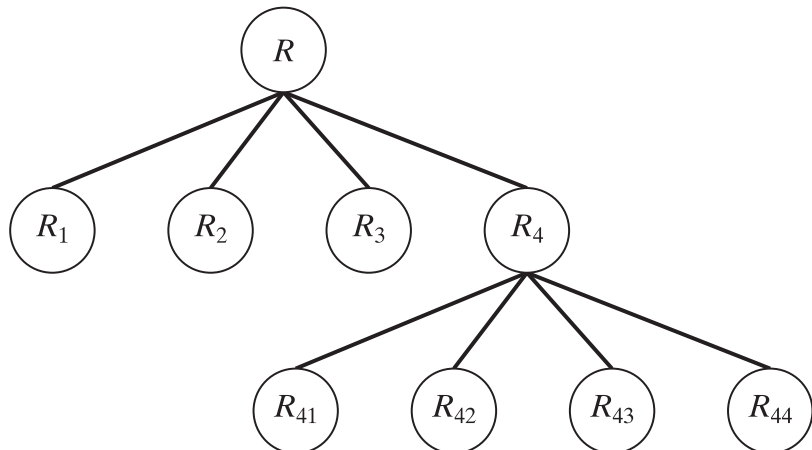
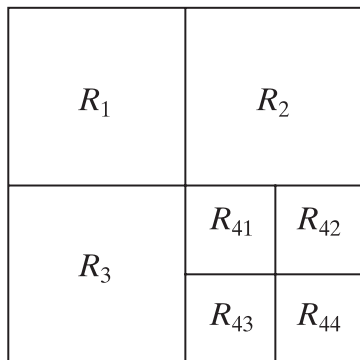
a b

FIGURE 10.52
(a) Partitioned
image.
(b)
Corresponding
quadtree. R
represents the
entire image
region.

بخش‌بندی مبتنی بر ناحیه

شکافت ناحیه

REGION SPLITTING



درختی که در آن هر گرهی داخلی دقیقاً چهار فرزند دارد.

درخت چهارتایی
Quadtree

بخش بندی مبتنی بر ناحیه

شکافت و ادغام ناحیه

REGION SPLITTING AND MERGING

شکافت و ادغام ناحیه

Region Splitting and Merging

- * در ابتدا ناحیه‌ی اصلی به چهار ناحیه‌ی رباعی شکافت می‌شود که معیار Q روی تک تک آنها نادرست است.
- * هر دو ناحیه‌ی مجاوری که معیار Q روی اجتماع آنها درست باشد، با هم ادغام می‌شوند.
- (ساختار درخت چهارتایی ممکن است حفظ نشود.)
- * هر گاه شکافت یا ادغام بیشتری ممکن نباشد، توقف می‌کنیم.

1. Split into four disjoint quadrants any region R_i for which $Q(R_i) = \text{FALSE}$.
2. When no further splitting is possible, merge any adjacent regions R_j and R_k for which $Q(R_j \cup R_k) = \text{TRUE}$.
3. Stop when no further merging is possible.

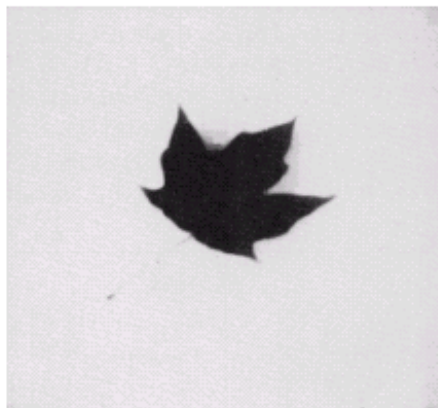
بخش‌بندی مبتنی بر ناحیه

شکافت و ادغام ناحیه: مثال

REGION SPLITTING AND MERGING



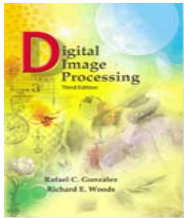
(۱) تصویر اصلی از یک برگ درخت چنار



(۲) نتیجه‌ی روال شکافت و ادغام ناحیه



(۳) نتیجه‌ی آستانه‌گیری



Digital Image Processing, 3rd ed.

Gonzalez & Woods

www.ImageProcessingPlace.com

Chapter 10

Image Segmentation

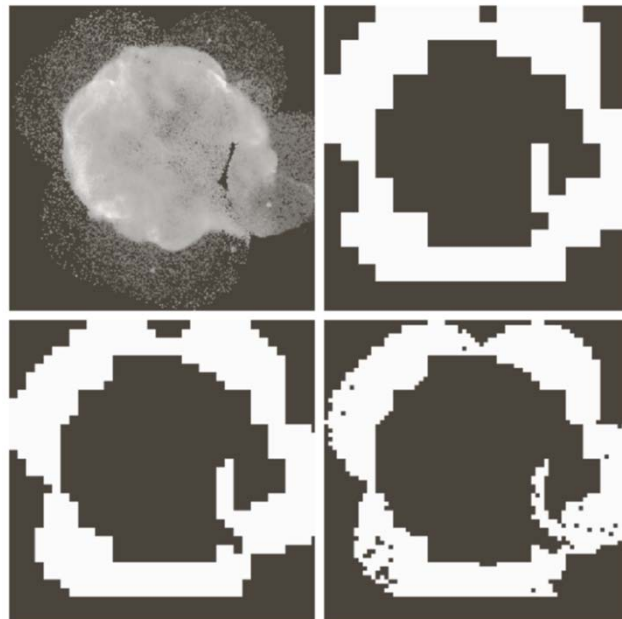
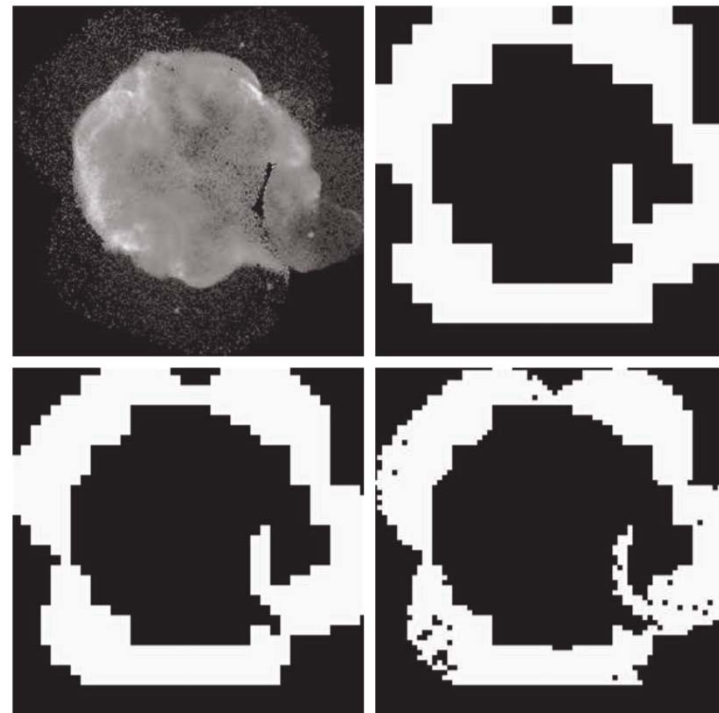


FIGURE 10.53
(a) Image of the Cygnus Loop supernova, taken in the X-ray band by NASA's Hubble Telescope. (b)–(d) Results of limiting the smallest allowed quadregion to sizes of 32×32 , 16×16 , and 8×8 pixels, respectively. (Original image courtesy of NASA.)

بخش‌بندی مبتنی بر ناحیه

شکافت و ادغام ناحیه: مثال

REGION SPLITTING AND MERGING



(۱) تصویر از یک سحابی
گرفته شده با باند اشعه ایکس
توسط تلسکوپ هابل ناسا

(۲) نتیجه‌ی بخش‌بندی با شکافت و
ادغام ناحیه:
کوچکترین ناحیه‌ی رباعی
مجاز: ۲۲ در ۲۲

(۳) نتیجه‌ی بخش‌بندی با شکافت و
ادغام ناحیه:
کوچکترین ناحیه‌ی رباعی
مجاز: ۱۶ در ۱۶

(۴) نتیجه‌ی بخش‌بندی با شکافت و
ادغام ناحیه:
کوچکترین ناحیه‌ی رباعی
مجاز: ۸ در ۸

$$Q = \begin{cases} \text{TRUE} & \text{if } \sigma > a \text{ AND } 0 < m < b \\ \text{FALSE} & \text{otherwise} \end{cases}$$

در یک ناحیه‌ی رباعی، اگر شرط Q درست
بود، کل ناحیه به رنگ سفید در می‌آید:

بخش‌بندی تصویر

۵

بخش‌بندی
با استفاده
از
آب‌پخش‌های
مورفولوژیکی

بخش‌بندی با استفاده از آب‌پخش‌های مورفولوژیکی

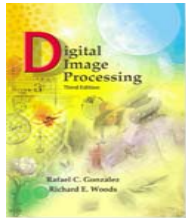
SEGMENTATION USING MORPHOLOGICAL WATERSHEDS

مفهوم آب‌پخش، مبتنی بر بصری‌سازی یک تصویر در سه بعد می‌باشد: دو مختصات مکانی در برابر مقدار سطح خاکستری.

با این تعبیر توپوگرافیک، سه نوع نقطه را در نظر می‌گیریم:

- ۱) نقاط متعلق به یک می‌نیم ناحیه‌ای
- ۲) نقاطی که قطره‌ی آب قرارداده شده در آنها قطعاً به یک می‌نیم واحد می‌افتد.
- ۳) نقاطی که قطره‌ی آب قرارداده شده در آنها با احتمال برابر به بیش از یک می‌نیم می‌افتد.

هدف اصلی الگوریتم بخش‌بندی بر اساس این مفاهیم، یافتن خطوط آب‌پخشان است.



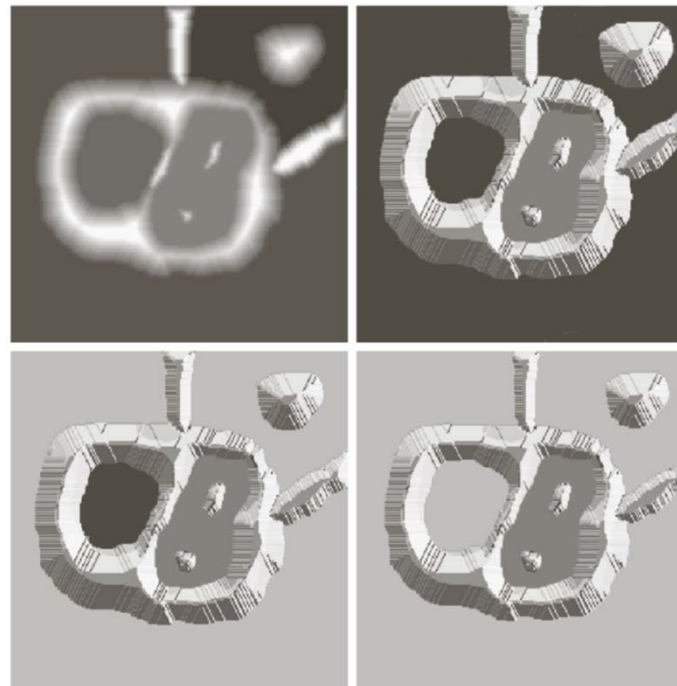
Digital Image Processing, 3rd ed.

Gonzalez & Woods

www.ImageProcessingPlace.com

Chapter 10

Image Segmentation



a b
c d

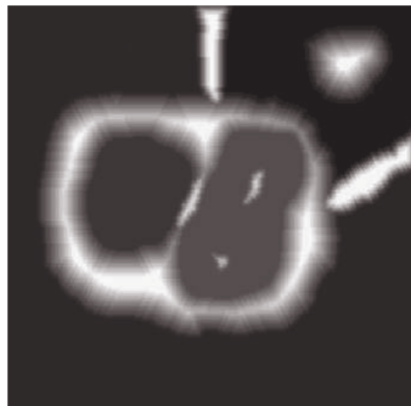
FIGURE 10.54

(a) Original image.
(b) Topographic view.
(c)–(d) Two stages of flooding.

بخش‌بندی با استفاده از آب‌پخش‌های مورفولوژیکی

مثال (۱ از ۲)

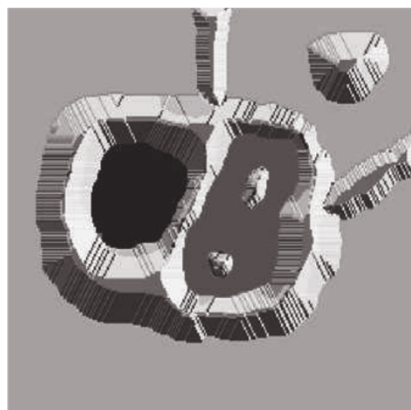
(۱) تصویر اصلی



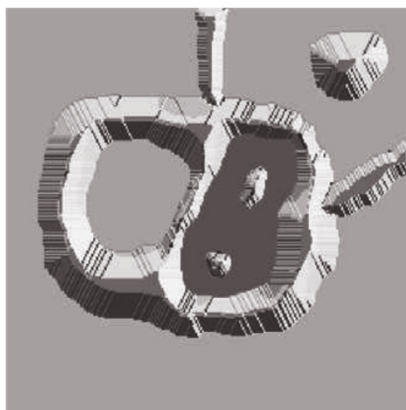
(۲) نمای توپوگرافیکی

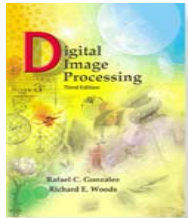


(۳) یک مرحله از flooding



(۴) یک مرحله‌ی دیگر از flooding





Digital Image Processing, 3rd ed.

Gonzalez & Woods

www.ImageProcessingPlace.com

Chapter 10

Image Segmentation



FIGURE 10.54

(Continued)

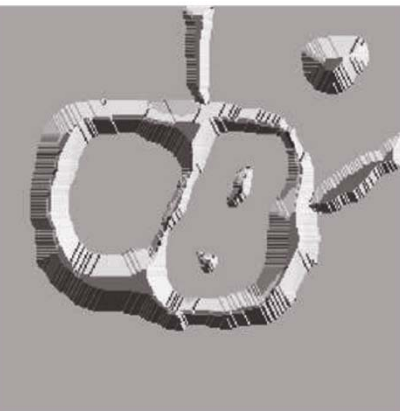
(e) Result of further flooding.
(f) Beginning of merging of water from two catchment basins (a short dam was built between them). (g) Longer dams. (h) Final watershed (segmentation) lines.

(Courtesy of Dr. S. Beucher,
CMM/Ecole des Mines de Paris.)

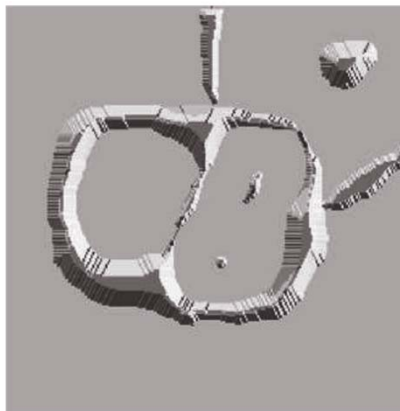
بخش‌بندی با استفاده از آب‌پخش‌های مورفولوژیکی

مثال (۲ از ۲)

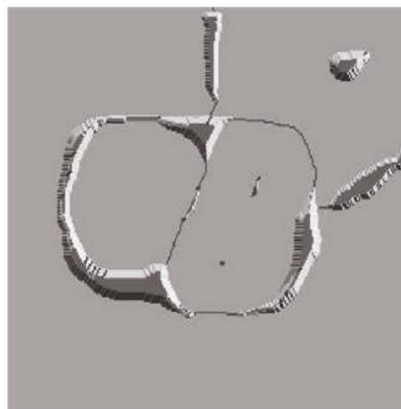
(۵)
نتیجه‌ی
flooding
بیشتر



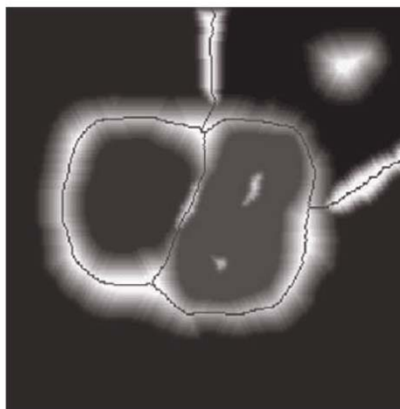
(۶)
آغاز ادغام آب‌ها از
دو حوزه‌ی آنگیر
(یک سد کوتاه بین
آنها ساخته شده
است).

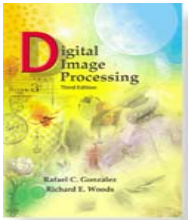


(۷)
سدهای طولانی‌تر



(۸)
خطوط نهایی
آب‌پخش‌ها
(بخش‌بندی)





Digital Image Processing, 3rd ed.

Gonzalez & Woods

www.ImageProcessingPlace.com

Chapter 10

Image Segmentation

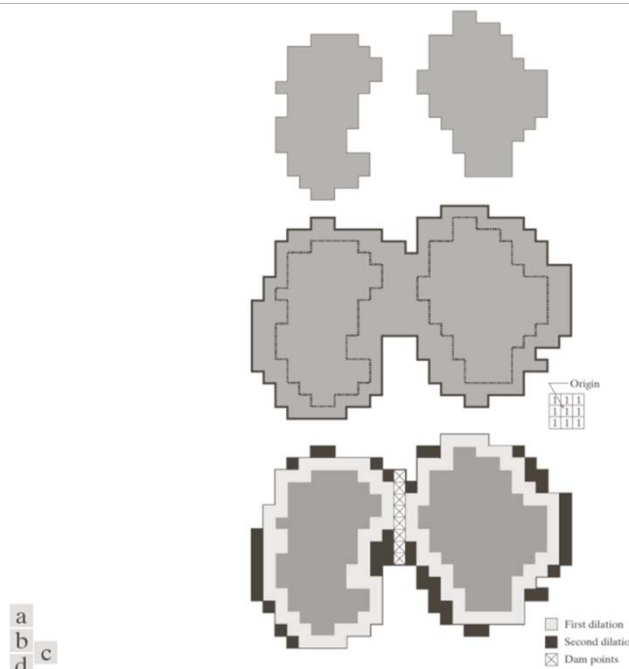
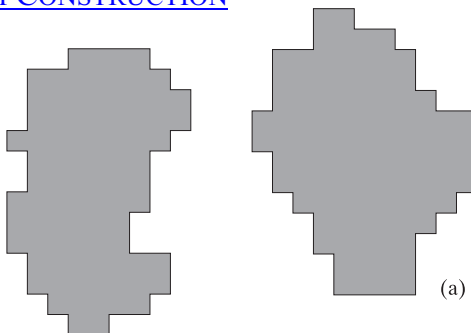


FIGURE 10.55 (a) Two partially flooded catchment basins at stage $n - 1$ of flooding.
(b) Flooding at stage n , showing that water has spilled between basins. (c) Structuring element used for dilation. (d) Result of dilation and dam construction.

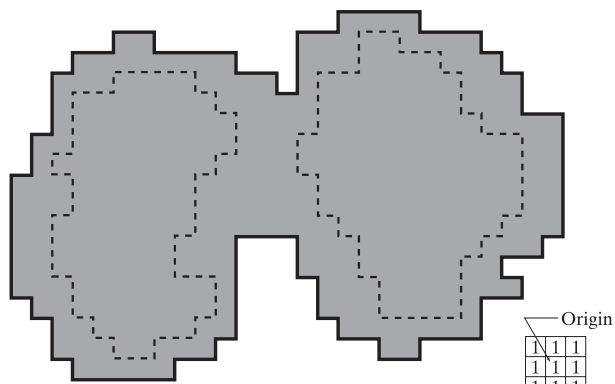
بخش‌بندی با استفاده از آب‌پخش‌های مورفولوژیکی

ساخت سد: مثال

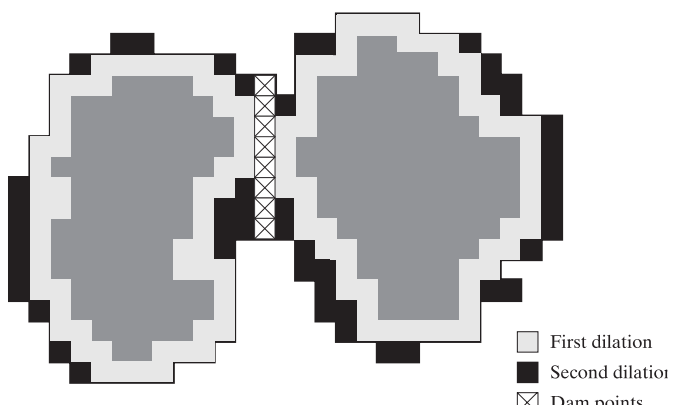
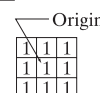
DAM CONSTRUCTION



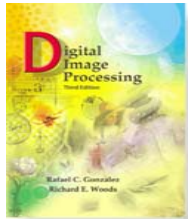
(a) Two partially flooded catchment basins at stage $n - 1$ of flooding.



(b) Flooding at stage n , showing that water has spilled between basins.



(d) Result of dilation and dam construction.



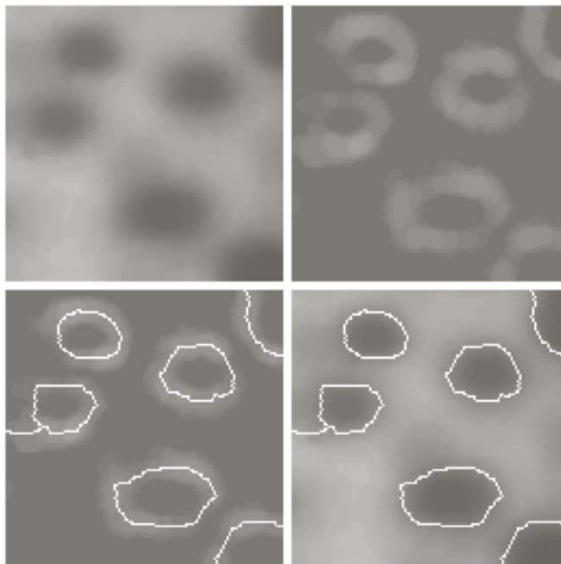
Digital Image Processing, 3rd ed.

Gonzalez & Woods

www.ImageProcessingPlace.com

Chapter 10

Image Segmentation



a b
c d

FIGURE 10.56

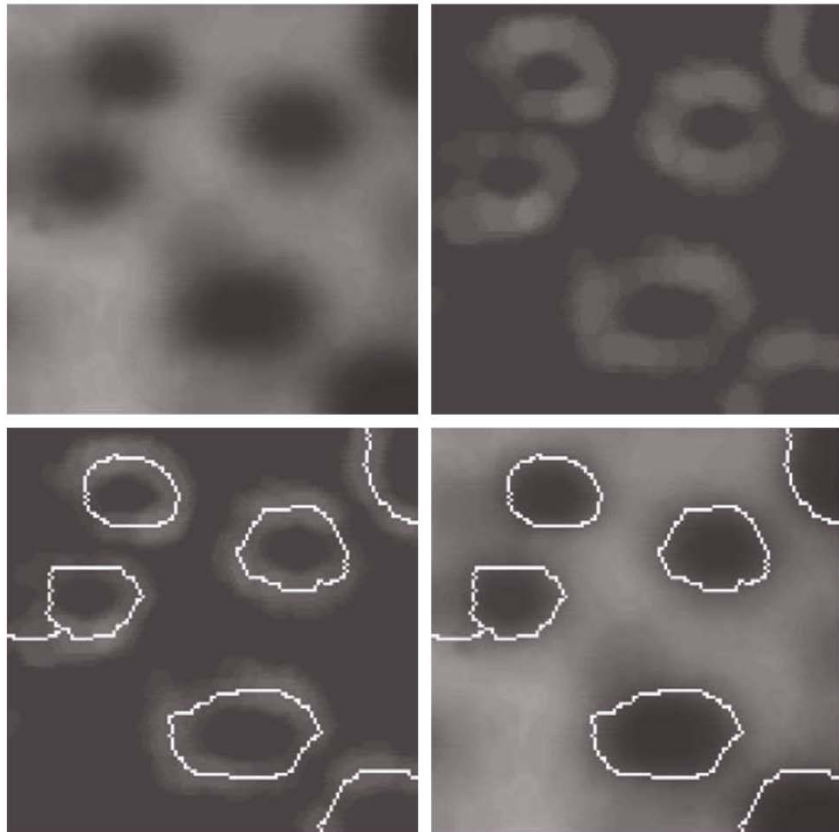
- (a) Image of blobs.
 - (b) Image gradient.
 - (c) Watershed lines.
 - (d) Watershed lines superimposed on original image.
- (Courtesy of Dr. S. Beucher,
CMM/Ecole des Mines de Paris.)

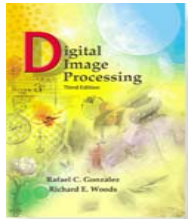
بخش‌بندی با استفاده از آب‌پخش‌های مور‌فولوژیکی

الگوریتم بخش‌بندی آب‌پخشن: مثال

a	b
c	d

- (a) Image of blobs.
- (b) Image gradient.
- (c) Watershed lines.
- (d) Watershed lines superimposed on original image.





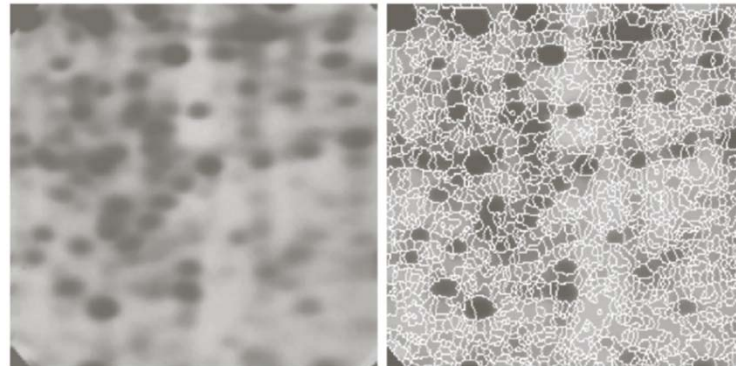
Digital Image Processing, 3rd ed.

Gonzalez & Woods

www.ImageProcessingPlace.com

Chapter 10

Image Segmentation

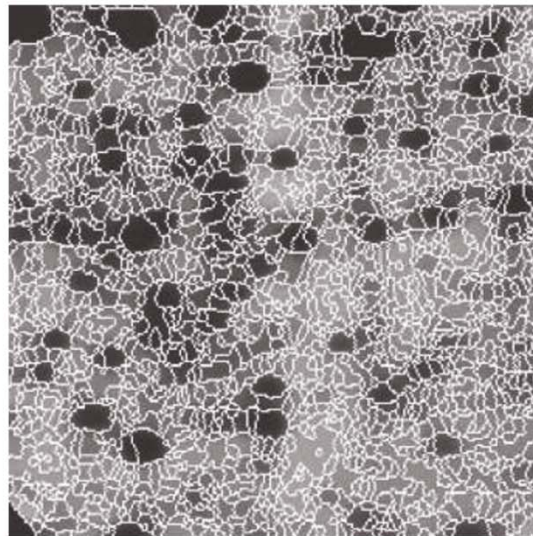
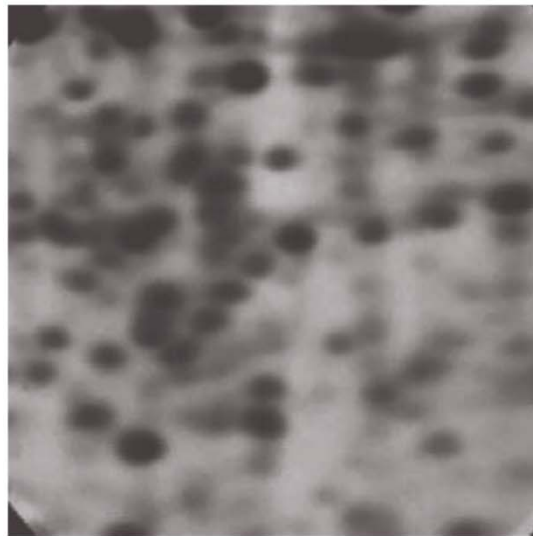


a b

FIGURE 10.57
(a) Electrophoresis image. (b) Result of applying the watershed segmentation algorithm to the gradient image. Oversegmentation is evident.
(Courtesy of Dr. S. Beucher, CMM/Ecole des Mines de Paris.)

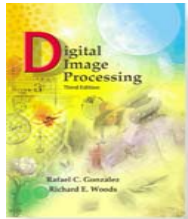
بخش‌بندی با استفاده از آب‌پخش‌های مورفولوژیکی

الگوریتم بخش‌بندی آب‌پخشان: مثال



a b

(a) Electrophoresis image. (b) Result of applying the watershed segmentation algorithm to the gradient image. Oversegmentation is evident.



Digital Image Processing, 3rd ed.

Gonzalez & Woods

www.ImageProcessingPlace.com

Chapter 10

Image Segmentation

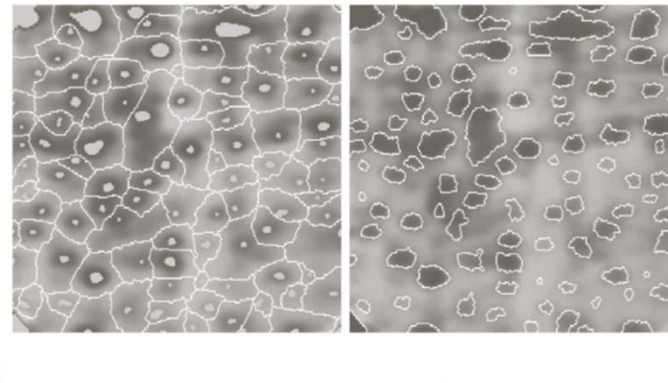
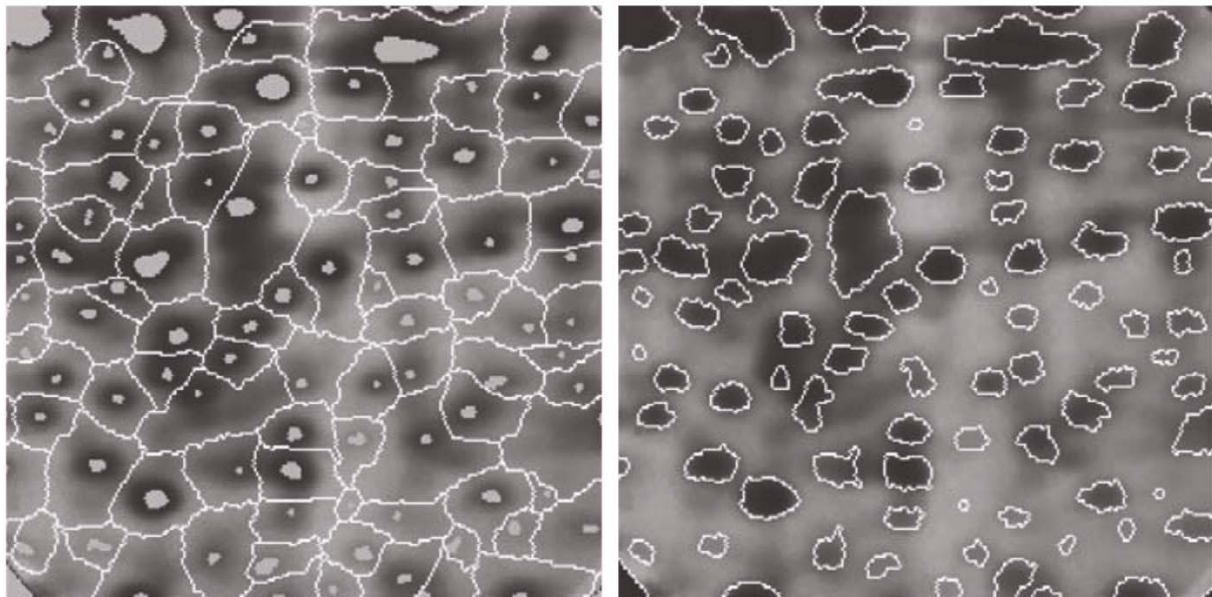


FIGURE 10.58 (a) Image showing internal markers (light gray regions) and external markers (watershed lines). (b) Result of segmentation. Note the improvement over Fig. 10.47(b). (Courtesy of Dr. S. Beucher, CMM/Ecole des Mines de Paris.)

بخش‌بندی با استفاده از آب‌پخش‌های مورفولوژیکی

الگوریتم بخش‌بندی آب‌پخشان: استفاده از علامت‌گذارهای داخلی و خارجی: مثال



a b

(a) Image showing internal markers (light gray regions) and external markers (watershed lines). (b) Result of segmentation.

بخش‌بندی تصویر

۶

استفاده از حرکت در بخش‌بندی

استفاده از حرکت در بخش‌بندی

THE USE OF MOTION IN SEGMENTATION

حرکت یک راهنمای قدرتمند برای تشخیص اشیا و نواحی مورد نظر است.

تکنیک‌های استفاده از حرکت در بخش‌بندی

تکنیک‌های حوزه‌ی فرکانس

Frequency Domain Techniques

تکنیک‌های حوزه‌ی مکان

Spatial Techniques

استفاده از حرکت در بخش‌بندی

تکنیک‌های حوزه‌ی مکان

Spatial Techniques

frames $f(x, y, t_i)$ and $f(x, y, t_j)$ taken at times t_i and t_j , respectively,

مقایسه‌ی دو فریم از طریق تفاضل:

$$d_{ij}(x, y) = \begin{cases} 1 & \text{if } |f(x, y, t_i) - f(x, y, t_j)| > T \\ 0 & \text{otherwise} \end{cases}$$

استفاده از حرکت در بخش‌بندی

تکنیک‌های حوزه‌ی مکان: تفاضل‌های انباشت

ACCUMULATIVE DIFFERENCES

Consider a sequence of image frames $f(x, y, t_1), f(x, y, t_2), \dots, f(x, y, t_n)$ and let $f(x, y, t_1)$ be the *reference image*. An *accumulative difference image* (ADI) is formed by comparing this reference image with every subsequent image in the sequence.

$$A_k(x, y) = \begin{cases} A_{k-1}(x, y) + 1 & \text{if } |R(x, y) - f(x, y, k)| > T \\ A_{k-1}(x, y) & \text{otherwise} \end{cases}$$

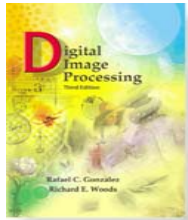
$$P_k(x, y) = \begin{cases} P_{k-1}(x, y) + 1 & \text{if } [R(x, y) - f(x, y, k)] > T \\ P_{k-1}(x, y) & \text{otherwise} \end{cases}$$

$$N_k(x, y) = \begin{cases} N_{k-1}(x, y) + 1 & \text{if } [R(x, y) - f(x, y, k)] < -T \\ N_{k-1}(x, y) & \text{otherwise} \end{cases}$$

$R(x, y)$ denote the reference image

where $A_k(x, t)$, $P_k(x, y)$, and $N_k(x, y)$ are the absolute, positive, and negative ADIs, respectively, after the k th image in the sequence is encountered.





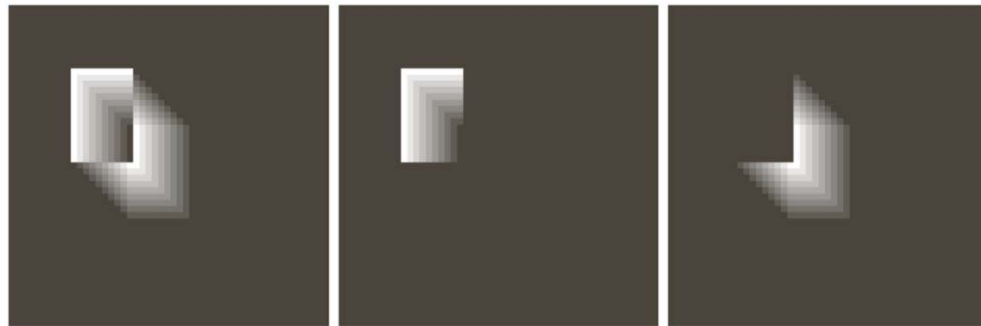
Digital Image Processing, 3rd ed.

Gonzalez & Woods

www.ImageProcessingPlace.com

Chapter 10

Image Segmentation



a b c

FIGURE 10.59 ADIs of a rectangular object moving in a southeasterly direction. (a) Absolute ADI. (b) Positive ADI. (c) Negative ADI.

استفاده از حرکت در بخش‌بندی

تکنیک‌های حوزه‌ی مکان: تفاضل‌های انباشت: مثال

ACCUMULATIVE DIFFERENCES

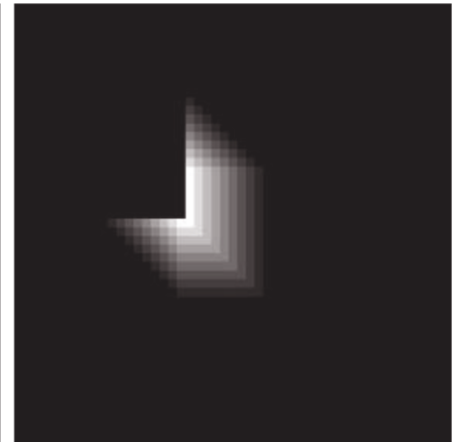
ADIs of a rectangular object moving in a southeasterly direction.



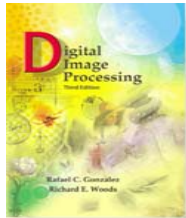
(a) Absolute ADI



(b) Positive ADI



(b) Negative ADI



Digital Image Processing, 3rd ed.

Gonzalez & Woods

www.ImageProcessingPlace.com

Chapter 10

Image Segmentation



a b c

FIGURE 10.60 Building a static reference image. (a) and (b) Two frames in a sequence. (c) Eastbound automobile subtracted from (a) and the background restored from the corresponding area in (b). (Jain and Jain.)

استفاده از حرکت در بخش‌بندی

تکنیک‌های حوزه‌ی مکان: ایجاد یک تصویر مرجع: مثال

ESTABLISHING A REFERENCE IMAGE



a b c

Building a static reference image. (a) and (b) Two frames in a sequence.
(c) Eastbound automobile subtracted from (a) and the background restored from the corresponding area in (b).

استفاده از حرکت در بخش بندی

تکنیک‌های حوزه‌ی فرکانس

FREQUENCY DOMAIN TECHNIQUES

These concepts may be summarized as follows. For a sequence of K digital images of size $M \times N$, the sum of the weighted projections onto the x axis at any integer instant of time is

$$g_x(t, a_1) = \sum_{x=0}^{M-1} \sum_{y=0}^{N-1} f(x, y, t) e^{j2\pi a_1 x \Delta t} \quad t = 0, 1, \dots, K - 1$$

Similarly, the sum of the projections onto the y -axis is

$$g_y(t, a_2) = \sum_{y=0}^{N-1} \sum_{x=0}^{M-1} f(x, y, t) e^{j2\pi a_2 y \Delta t} \quad t = 0, 1, \dots, K - 1$$

where, as noted already, a_1 and a_2 are positive integers.

The 1-D Fourier transforms of Eqs. (10.6-6) and (10.6-7), respectively, are

$$G_x(u_1, a_1) = \sum_{t=0}^{K-1} g_x(t, a_1) e^{-j2\pi u_1 t / K} \quad u_1 = 0, 1, \dots, K - 1$$

and

$$G_y(u_2, a_2) = \sum_{t=0}^{K-1} g_y(t, a_2) e^{-j2\pi u_2 t / K} \quad u_2 = 0, 1, \dots, K - 1$$



استفاده از حرکت در بخش‌بندی

تکنیک‌های حوزه‌ی فرکانس

FREQUENCY DOMAIN TECHNIQUES

The frequency-velocity relationship is

$$u_1 = a_1 V_1$$

and

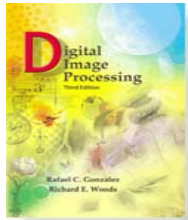
$$u_2 = a_2 V_2$$

The sign of the x -component of the velocity is obtained by computing

$$S_{1x} = \left. \frac{d^2 \operatorname{Re}[g_x(t, a_1)]}{dt^2} \right|_{t=n}$$

and

$$S_{2x} = \left. \frac{d^2 \operatorname{Im}[g_x(t, a_1)]}{dt^2} \right|_{t=n}$$



Digital Image Processing, 3rd ed.

Gonzalez & Woods

www.ImageProcessingPlace.com

Chapter 10

Image Segmentation

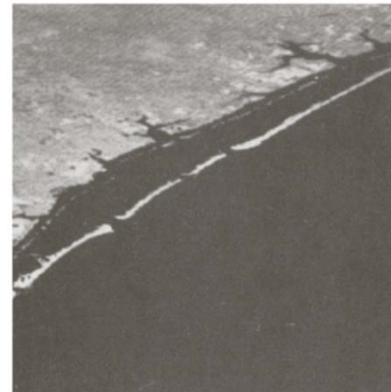
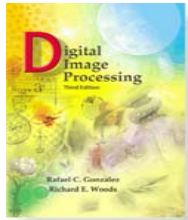


FIGURE 10.61
LANDSAT frame.
(Cowart, Snyder,
and Ruedger.)



Digital Image Processing, 3rd ed.

Gonzalez & Woods

www.ImageProcessingPlace.com

Chapter 10

Image Segmentation

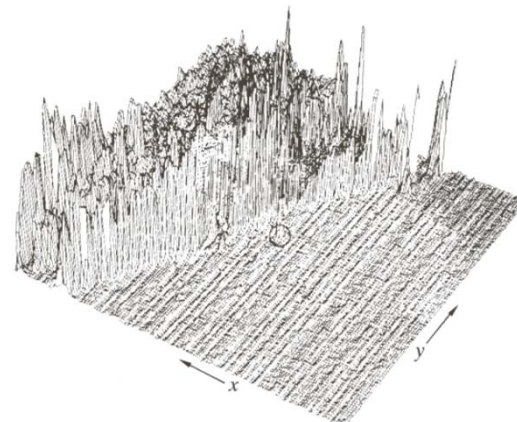
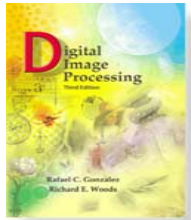


FIGURE 10.62

Intensity plot of the image in Fig. 10.61, with the target circled.
(Rajala, Riddle,
and Snyder.)



Digital Image Processing, 3rd ed.

Gonzalez & Woods

www.ImageProcessingPlace.com

Chapter 10

Image Segmentation

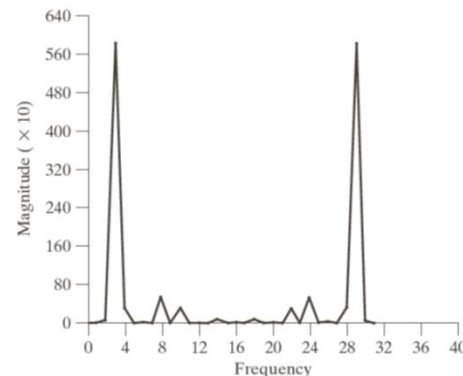
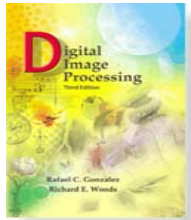


FIGURE 10.63
Spectrum of Eq.
(10.6-8) showing a
peak at $u_1 = 3$.
(Rajala, Riddle,
and Snyder.)



Digital Image Processing, 3rd ed.

Gonzalez & Woods

www.ImageProcessingPlace.com

Chapter 10

Image Segmentation

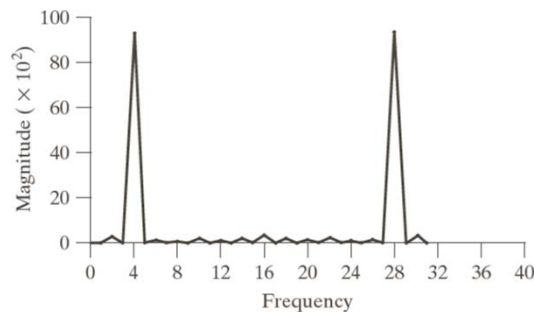


FIGURE 10.64
Spectrum of Eq.
(10.6-9) showing a
peak at $u_2 = 4$.
(Rajala, Riddle,
and Snyder.)

استفاده از حرکت در بخش‌بندی

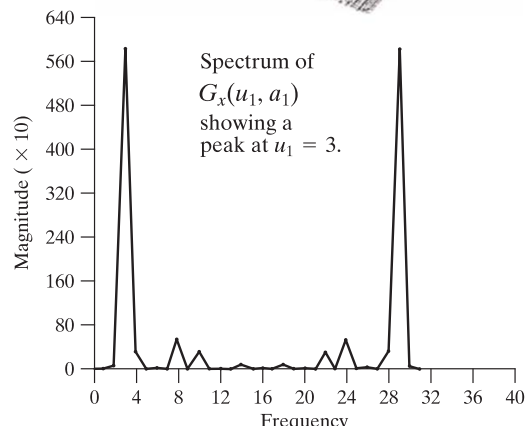
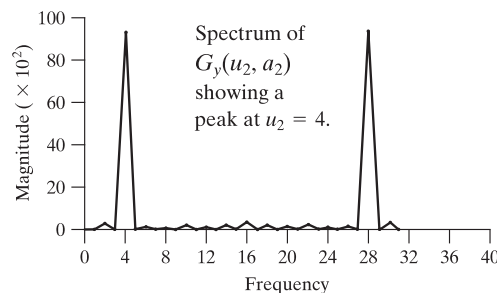
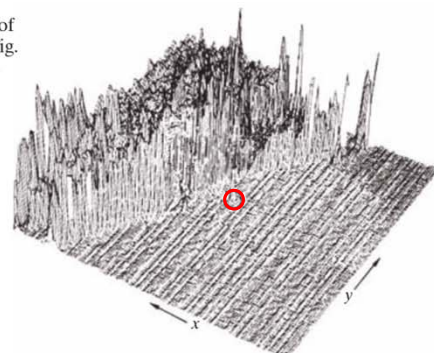
تکنیک‌های حوزه‌ی فرکانس: مثال (تشخیص شیء متحرک کوچک از طریق حوزه‌ی فرکانس)

FREQUENCY DOMAIN TECHNIQUES

FIGURE 10.61
LANDSAT frame.



Intensity plot of the image in Fig. 10.61, with the target circled.

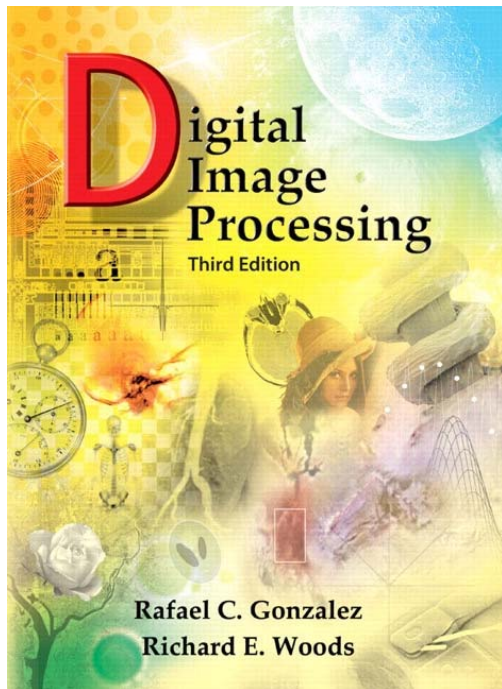


بخش بندی تصویر

۷

منابع

منبع اصلی



Rafael C. Gonzalez, Richard E. Woods,
Digital Image Processing,
Third Edition, Pearson Prentice Hall, 2008.
Chapter 10